東海第二発電所 設計及び工事計画に係る説明資料 (防潮堤(鋼製防護壁)の構造変更) 【補足説明資料】

> 2025年9月25日 日本原子力発電株式会社

> > 本資料中の は、商業秘密又は防護上の観点で公開できません。



目 次

1.	防潮堤(鋼製防護壁)の構造概要に係る補足説明	
	(1)前回会合(第1329回)からの変更箇所について ・・・・・・・・・・・・・・・・・・・・・・・・・・4	
	(2)橋梁用高性能構造用鋼材SBHS500の適用性について ・・・・・・・・・・・・・・・・・・・・・・5	
	(3) 高強度鉄筋 (SD685) の使用について ・・・・・・・・・・・・・・・・・・・・・・・・・・・・7	
	(4) 北基礎の中実鉄筋コンクリートの根入れの考え方 ・・・・・・・・・・・・・・・・・・・・・・・・・・・・・・・・・・・・	3
	(5)中実鉄筋コンクリートにおける機械式継手について ・・・・・・・・・・・・・・・・・・・・・・14	4
	(6)鋼管杭の先端根固め方法について ・・・・・・・・・・・・・・・・・・・・・・・・・・・・・・・・・・・・	ó
	(6)鋼管杭の先端根固め方法について ・・・・・・・・・・・・・・・・・・・・・・・・・・・・・・・・・・・・	7
	(8)巻立て鉄筋コンクリート間の目地材について・・・・・・・・・・・・・・・・・・・・・・・・・・・・・・・・・・・・	9
	(9)防潮堤(鋼製防護壁)の構造詳細図 ・・・・・・・・・・・・・・・・・・・・・・・・・・・・・・20	
2.	耐津波・耐震設計方針に係る補足説明	
	(1)耐津波設計方針に係る補足説明 ・・・・・・・・・・・・・・・・・・・・・・・・・・・・・・2	3
	(2)耐震設計方針に係る補足説明・・・・・・・・・・・・・・・・・・・・・・・・・・・・・・・・・・・3	9
	(3)解析用物性値に係る補足説明 ・・・・・・・・・・・・・・・・・・・・・・・・・・・・・・・・4	6
	(4) 応力照査に係る補足説明 ・・・・・・・・・・・・・・・・・・・・・・・・・・・・・・・・・・・5	
3.	耐津波・耐震設計の評価結果に係る補足説明	
	耐津波・耐震設計の評価結果に係る補足説明 (1) 耐津波設計結果に係る補足説明 ・・・・・・・・・・・・・・・・・・・・・・・・・・・・・・・・・・・・	3
	(2) 耐震設計結果に係る補足説明 ・・・・・・・・・・・・・・・・・・・・・・・・・・・・・・・・・・・・	4
	(3)構造変更による裕度向上効果について ・・・・・・・・・・・・・・・・・・・・・・・・・・・・・・・・・・・・	2
4.	地中連続壁部の残置影響評価方針に係る補足説明	
	(1)地中連続壁部の不具合事象に係る補足 ・・・・・・・・・・・・・・・・・・・・・・・・・・・・・・・・・・・・	4
	(2)残置される地中連続壁部についての補足 ・・・・・・・・・・・・・・・・・・・・・・・・・・・・・・・・・・・・	
5.	地中連続壁部の残置影響評価結果に係る補足説明	
	(1)残置影響評価結果に係る補足説明 ・・・・・・・・・・・・・・・・・・・・・・・・・・・・・・・・・・・・	9

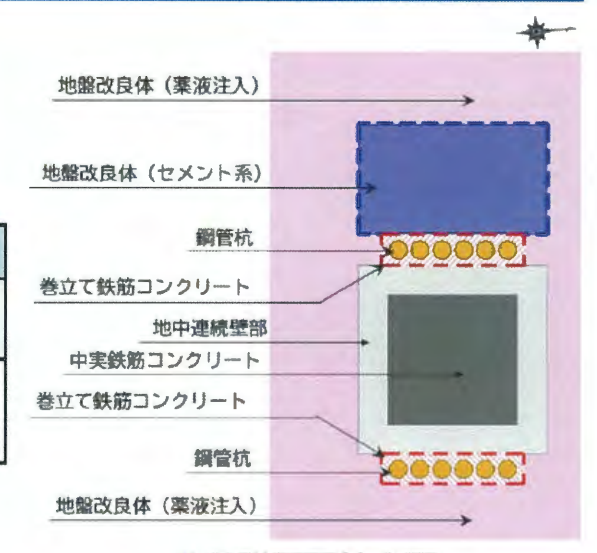




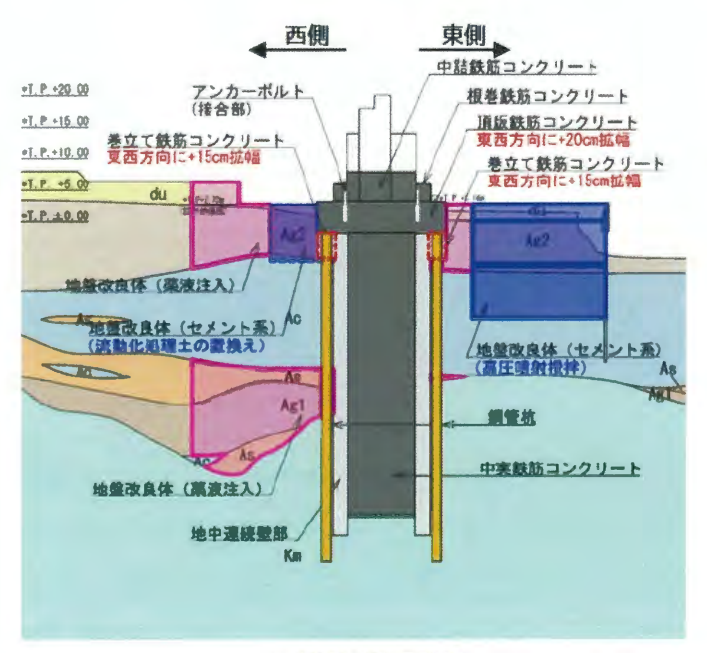
(1)前回会合(第1329回)からの変更箇所について

代表的な応力(断面力最大ケース)を用いた構造成立性評価結果を踏まえ、審査 会合(第1329回)で説明した構造形状から以下の点について変更を行った。

形状の変更箇所	変更点	目的
巻立て鉄筋コンクリート拡幅	東西方向に+15cmずつ拡幅(南・北基礎)	曲げ圧縮力への対策
頂版鉄筋コンクリート拡幅	東西方向に+35cmずつ拡幅(北基礎) 東西方向に+20cmずつ拡幅(南基礎)	巻立て鉄筋コンクリートから連続 する鉛直鉄筋との干渉対策



北基礎平面拡大図 (追加基礎+地盤改良)



+T P +20 00 アンカーボルト 根巻鉄筋コンクリート +T.P. +15.00 頂版鉄筋コンクリート 東西方向に+35cm払幅 oT.P. +10.00 巻立て鉄筋コンクリート 巻立て鉄筋コンクリート 東西方向に+15cm拡幅 * PR +5 00 東西方向に+15cm拡幅 +T.P. ±0.00 Ag2 隐翰改良体 (藤液注入) 地盤改良体(セメント系 (流動化処理土の置換え) /地盤改良体(セメント系) (高圧曠射機拌) 中実鉄筋コンクリート Agl 地盤改良体 (薬液注入) 地盤改良体 (薬液注入) 地中連續壁

東側

中詰鉄筋コンクリート

西側

凡 例

既実施地盤改良体(セメント系)

地盤改良体(セメント系)

既実施地盤改良体(薬液注入)

地盤改良体(薬液注入)

り 鋼管抗

一 巻立て鉄筋コンクリート

南基礎断面図

北基礎断面図

(2) 橋梁用高性能構造用鋼材SBHS500の適用性について(1/2)

- > SBHS500鋼材の鋼管杭への適用及び許容応力度の特性値
- ・防潮堤(鋼製防護壁)基礎の鋼管杭は、JIS G 3140(橋梁用高降伏点鋼板)のSBHS500の鋼材を使用して製造する。
- ・道路橋示方書・同解説 (I共通編 IV下部構造編,平成24年3月,社団法人 日本道路協会)では,JIS A 5525(鋼管ぐい)の規格の鋼材SKK400及びSKK490から製造される鋼管杭を標準とし,それ以外の鋼管杭については所要の試験等を実施して当規定に定められた鋼管杭と同等以上の性能を有することを確認する場合は用いても良いとしている。
- ・所要試験は、杭の製造方法、化学成分、機械的性質(母材及び溶接部)、工場用円周溶接(溶接及び品質)、形状・寸法であり、各々の 管理値は各規定に定まる値とする。
- ・東海第二発電所では,既工認において「緊急時対策所用発電機燃料貯蔵タンク基礎」及び「構内排水路逆流防止設備」でSBHS鋼管杭を適 用している。
- ・設計においては,土木学会の「新しい高性能鋼材の利用技術調査研究報告書~SBHS500(W)*1), SBHS700(W)*1)の設計・制作ガイドライン (案)(平成21年11月5日)」のSBHS鋼材の許容応力度設計法での各特性値を適用している。表1にSBHS鋼材の許容応力度の特性値を示す。
- ・施工においては、SBHS500鋼材の鋼管杭製作において製管時に所要試験を実施することにより、JIS A 5525規格の同等以上の性能を有していることを確認している。

東海第二発電所のSBHS500鋼材の鋼管杭を適用した既工認審査実績を以下に示す。また、所要試験の実施項目を表2に示す。

【東海第二発電所におけるSBHS500鋼管に関する工認審査実績】

V-2-2-12 緊急時対策所用発電機燃料貯蔵タンク基礎の地震応答計算書

V-2-2-13 緊急時対策所用発電機燃料貯蔵タンク基礎の耐震性についての計算書

V-2-10-2-4 構内排水路逆流防止設備の耐震性についての計算書

V-3-別添3-2-3 構内排水路逆流防止設備の強度計算書

補足-60-1 5.19 耐震及び耐津波設計における許容限界について



- ・SBHS500鋼材を用いた鋼管杭は,所要試験の実施によりJIS A 5525規格と同等以上の性能を有していることを確認し,防潮堤(鋼製防護壁)基礎への適用・施工を行う。
- ・設計においては,土木学会の「新しい高性能鋼材の利用技術調査研究報告書〜SBHS500(W)^{※1)},SBHS700(W)^{※1)}の設計・制作ガイド ライン(案)(平成21年11月5日)」のSBHS鋼材の許容応力度の各特性値を適用する。

注記:※1) Wを付したものは対候性を示す。



(2)橋梁用高性能構造用鋼材SBHS500の適用性について(2/2)

表1 SBHS鋼材の特性値及び許容応力度※2)

種類の記号	降伏点又は耐力	引張強さ	許容軸方向引張応力度 許容曲げ引張応力度	許容せん断応力度
SBHS500	500 (N/mm²) 以上	520~720 (N/mm²)	295 (N/mm²)	170 (N/mm²)
SBHS700	700 (N/mm²) 以上	780~930 (N/mm²)	410 (N/mm²)	235 (N/mm²)

注記:※2)土木学会の「新しい高性能鋼材の利用技術調査研究報告書~SBHS500(W^{)※1)},SBHS700(W)^{※1)}の設計・制作ガイドライン(案)(平成21年11月5日)」より引用。

表2 所要試験実施項目及び規格値※3)

確認項目	試験項目	適用規格・基準類	規格値	備考
	化学成分	JIS G 3140 橋梁用高降伏点鋼板 JIS G 0320 鋼材の溶鋼分析方法	JIS G 3140 成分値参照	規格値以内
鋼管杭 (母材)	引張試験	JIS G 3140 橋梁用高降伏点鋼板 JIS Z 2241 金属材料引張試験方法	570~720 (N/mm²)	規格値以内
	衝撃試験 (シャルピー吸収エネルギー)	JIS G 3140 橋梁用高降伏点鋼板 JIS Z 2242 金属材料引張試験方法	試験温度-5℃, 150(J)以上	鋼管内側半径が板厚7倍以上の冷 間曲げ加工
鋼管杭 (製管)	形状・外観 (外径,厚さ,長さ,横曲がり)	JIS A 5525 鋼管ぐい	JIS A 5525 基準値適用	寸法計測
₩	引張試験 (溶接部)	JIS G 3140 橋梁用高降伏点鋼板 JIS Z 3121 溶接継手の引張試験	570~720 (N/mm²)	規格値以内
鋼管杭 (製管), 現場溶接 (完全溶け込み 開先溶接)	非破壊試験 (溶接部)	JIS Z 3060 溶接継手の超音波深傷試験 道路橋示方書・同解説 Ⅱ鋼橋・鋼部材 編	・内部きず寸法は ①円周方向:t/6 (mm) 以下 ②縦方向 :t/3 (mm) 以下 tは板厚 ・表面に開口した割れ等の面状き ずはあってはならない。	規格値以内

注記)※3) 「防潮堤(鋼管杭区間)設置工事 排水路工 検査・試験計画―覧表」(2023年4月)より引用



3. 防潮堤(鋼製防護壁) 構造の概要

(3) 高強度鉄筋(SD685)の使用について(1/6)

学 鉄筋コンクリート部材での高強度鉄筋SD685の適用 防潮堤(鋼製防護壁)の頂版鉄筋コンクリート及び巻立て鉄筋コンクリートにおいては、設計基準強度(f'_{ck})50(N/mm²)のコンクリート及び引張降伏強度(σ_{v})685(N/mm²)の鉄筋SD685を適用している。

当該設計で適用しているコンクリート及び鉄筋の特性値に関する規格基準類等の記載内容について以下に示す。

【コンクリート標準示方書(設計編,2022年,土木学会)】

- 圧縮強度の特性値が80 (N/mm²) までのコンクリート、引張降伏強度の特性値が685 (N/mm²) までの鉄筋を適用範囲とし、鉄筋径はJIS G 3112のD51 (公称直径50.8mm) までとする。
- 鉄筋の強度を十分に発揮させるために、鉄筋端部がコンクリートから抜け出さないよう、コンクリート中に確実に定着しなければならない。鉄筋コンクリートにおいては、外力に対して鉄筋とコンクリートが一体となって働く必要があり、外力が作用した時の鉄筋端部の定着はきわめて重要なために、完全に行わなければならない。
- 鉄筋端部の定着が十分なされている場合には、局部付着の影響は無視することができる。

コンクリート強度による使用可能な鉄筋の強度の限界について:田中※1)の研究報告より

- 鉄筋コンクリート梁部材の所要の断面条件でのコンクリート強度と引張鉄筋の降伏後の曲げ靭性によって制約される鉄筋の強度の限界について理論的考察により,<u>コンクリート強度40(N/mm²)では鉄筋の限界は610~970(N/mm²)</u>である。
- 本検討は引張鉄筋が有効であるための部材端での定着が確保されている条件のもとでの検討である。

注記)※1)田中 礼治:鉄筋コンクリートに利用し得る鉄筋の高強度の限界に関する研究(その1-はりの曲げによる制約),日本建築学会論文集,第184号,pp.51-61,1971年6月 _______



・コンクリート設計基準強度(f_{ck}')50(N/mm²)と引張降伏強度(σ_y)685(N/mm²)の鉄筋SD685の適用は,鉄筋の定着が十分確保されていれば,鉄筋コンクリートとして問題ない。

引張側の鉄筋が有効であるための部材端での定着長について, SD685を適用範囲としているコンクリート標準示方書, 鉄道構造物等設計標準・同解説の算定方法にて評価を行うとともに, 更に道路橋示方書・同解説による定着長の算定結果を比較し, より保守的な定着が確保できるよう検討する。



3. 防潮堤(鋼製防護壁)構造の概要

(3) 高強度鉄筋(SD685)の使用について(2/6)

- > 設計基準・指針類の材料特性値範囲及び定着の設計法
 - ①コンクリート標準示方書(社団法人 土木学会, 2022年)

コンクリートの圧縮強度特性値が80(N/mm²)以下,鉄筋の引張強度の特性値が685(N/mm²)までを適用範囲としている。鉄筋の定着長は下記の式で算定される。

(1) 鉄筋の基本定着及 l_a は、式 (2.5.1) による算定値を、次の (i) \sim (iii) に従って補正した値とする。ただし、この補正した値 l_a は 20 ϕ 以上とする。また、鉄筋の降伏強度の特性値が 390N/mm² を超える場合は、降伏強度の影響を適切に考慮しなければならない。

$$l_d = \alpha \frac{f_{yd}}{4f_{hod}} \phi \tag{2.5.1}$$

ここに、 ø: 鉄筋の直径

fid:鉄筋の設計引張降伏強度

 f_{bod} : コンクリートの設計付着強度で、 γ_c は1.3 として、「設計編:本編」式 (解 5 3 2)

の fbok より求めてよい、ただし、fbod≤3.2 N/mm²

 $\alpha = 1.0$ ($k_c \le 1.0$ の場合)

= 0.9 (1.0<kc≤1.5 の場合)

= 0.8 (1.5<kc≤2.0 の場合)

= 0.7 (2.0<k<2.5 の場合)

= 0.6 (2.5<k。 の場合)

$$\sum \sum k^{2}$$
, $k_{c} = \frac{c}{\phi} + \frac{15 A_{t}}{s \phi}$

c:鉄筋の下側のかぶりの値と定着する鉄筋のあきの半分の値のうちの小さい方

A, : 仮定される割裂破壊断面に垂直な横方向鉄筋の断面積

s : 横方向鉄筋の中心間隔

- (i) 引張欽筋の基本定着長 l_a は、式 (2.5.1) による算定値とする。ただし、標準フックを設ける場合には、この算定値から $10\,\phi$ だけ減じることができる。
- (ii) 圧縮鉄筋の基本定着長 l_a は、式 (2.5.1) による算定値の 0.8 倍とする。ただし、標準フックを設ける場合でも、これ以上減じてはならない。
- (iii) 定着を行う鉄筋が、コンクリートの打込みの際に、打込み終了面から 300 mm の深さより上 方の位置で、鉄筋の下側におけるコンクリートの打込み高さが 300mm 以上ある場合、かつ水平か ら 45° 以内の角度で配置されている場合は、引張鉄筋または圧縮鉄筋の基本定着長は、(i) または

(ii) で算定される値の 1.3 倍とする.

【解説】 (一部抜粋)

SD490 や SD685 等の鉄筋の降伏強度の特性値が 390N/mm² を超える JIS 規格による鉄筋の定着長は、実験 等により検討することが望ましい。

「コンクリート標準示方書(設計編、社団法人 土木学会、2022年)」より抜粋



3. 防潮堤(鋼製防護壁) 構造の概要

(3) 高強度鉄筋(SD685)の使用について(3/6)

- ▶ 設計基準・指針類の材料特性値範囲及び定着の設計法
 - ②鉄道構造物等設計標準・同解説(コンクリート構造物)第Ⅲ編 コンクリート構造(国土交通省鉄道局 監修・鉄道総合技術研究所 令和5年1月)

コンクリートは圧縮強度特性値が18~80(N/mm²)の普通骨材コンクリート,18~40(N/mm²)の軽量コンクリートとしている。鉄筋においては,軸方向鉄筋はSD295,SD345,SD490,SD685(A, B) ,横方向鉄筋はSR235,SR295,SD295,SD345,SD390,SD490,SD685(A, B, R) ,SD785Rとし,鉄筋の径は4mm~51mmを適用範囲としている。また,これによらない場合は,継手,疲労,部材のひび割れ,部材の変形特性等に対して十分に検討を行ううえで使用するものとしている。鉄筋の規格のSDは異形棒鋼,SRは丸棒鋼を示す。

鉄筋の定着長は下記の式で算定される。

「鉄道構造物等設計標準・同観説(コンクリート機造物)第Ⅲ編 コンクリート機造(令和5年1月)」より抜粋

(b) マッシブなコンクリートとみなせないコンクリートに埋め込む鉄筋の基本定着長は、式(2.3.3)による算定値を、(i)~(iii)に従って補正した値とするが、鉄筋の直径の20倍以上を確保するものとする。また、鉄筋の降伏強度の特性値が390 N/mm²を超える場合は、降伏強度の影響を適切に設定するものとする。

$$l_{d02} = \alpha_b \cdot \frac{f_{\text{ford}}}{4f_{\text{bod}}} \cdot \phi \tag{2.3.3}$$

ここに、looz:マッシブなコンクリートとみなせないコンクリートに埋め込む鉄筋 の基本定着長

ford:鉄筋の設計引張降伏強度

find: コンクリートの設計付着強度 (式 4.2.2)

ø: 定着する鉄筋の直径

 $\alpha_{\rm b} = (0.75/K_{\rm c}) + 0.2$

ただし、0.5≦αb≦1.0

 $K_c = (c_0/\phi) + \{15A_0/(s \cdot \phi)\}$

a: 定着する鉄筋のかぶりと定着する鉄筋のあきの 1/2 のうち、小さい 方の値

A:仮定される割裂破壊断面に垂直な横方向鉄筋の断面積

s: 横方向鉄筋の中心間隔

- (i) 引張鉄筋の基本定着長は、式 (2.3.3) による算定値とする。ただし、標準フックを設ける場合には式 (2.3.3) による算定値から鉄筋の直径の 10 倍減じることができる。
- (ii) 圧縮鉄筋の基本定着長は、式 (2.3.3) による算定値の 0.8 倍としてよい、ただし、標準フックを設ける場合でも、これ以上減じてはならない。
- (iii) 水平から 45°以内の角度に配置する鉄筋がコンクリートの打込み終了面から 300 mm の深さよりも上方に位置し、かつ鉄筋の下側におけるコンクリートの打込み高さが 300 mm 以上ある場合、引張鉄筋または圧縮鉄筋の基本定着長は、(2)(b)(i)(ii)で算定される値の 1.3 倍とする。

【解説】(一部抜粋)

(2) (b) について

SD490 や SD685A, SD685B の鉄筋の基本定看長 4cg は、実験等により模討するのか選ましい。特別な 検討を行わない場合には、式 (解 2.3.4) により算定してもよい。

$$l_{dG2} = \alpha_b \cdot \alpha_t \cdot \frac{f_{eyd}}{4f_{bod}} \cdot \phi \qquad (\mathbb{R} \ 2.3.4)$$

$$\alpha_t = (f_{evd}/345)^{1/3}$$

(2)(b)(iii)について

定着を行う鉄筋の配筋角度や下側のコンクリートの打込み高さに関して、鉄筋の付着強度がブリーディング等の影響により低下することを考慮して、定着長の延伸を定めた、解説図 2.3.18 に示したような位置にあり、水平から 45° 以内の角度に配置する鉄筋が該当する。ただし、ブリーディングを生じないコンクリートを用いる場合は、コンクリートの打込み高さに関する基本定着長の補正は行わなくよい。



(3) 高強度鉄筋SD685の適用性について(4/6)

> 設計基準・指針類の材料特性値範囲及び定着の設計法

③定着長の算定結果

コンクリート標準示方書(設計編,2022年,土木学会)と鉄道構造物等設計標準・同解説(コンクリート構造物)第皿編 コンクリート構造(国土交通省鉄道局 監修・鉄道総合技術研究所 令和5年1月)の定着長算定式による算定結果を以下に示す。

なお,道路橋示方書・同解説(I共通編 IV下部構造編)による定着長の算定結果を評価した結果,定着長が最も長く保守側の設定になることを確認した。

型計甘淮	世外新フ	S O	定着長算定結果
改引 本午	1日亚1大县 し	V	是有 皮异化 和末

設計基準・指針	コンクリート標準示方書	鉄道構造物等設計 標準・同解説	道路橋示方書
鉄筋の基準値: f yd	685N/mm ²	$685N/mm^2$	400N/mm ² **1)
コンクリート設計基準強度:fck'	50N/mm ²	$50N/mm^2$	50N/mm ²
付着力補正係数7c	1.3	_	_
コンクリートの付着強度: f bod	3. 19N/mm ²	3.80N/mm ²	2.00N/mm ² **2)
係数αb算定のための パラメータ: Kc	1.62	1. 62	_
鉄筋のかぶり・あき,横方向鉄筋量による補正係 数:αb	0.80	0.663	_
鉄筋種別による補正係数:αt	_	1. 257	_
定着長: α b· α t·fyd/(4·fbod)× ϕ	42.9 <i>\phi</i>	37.6 <i>φ</i>	50 \phi **3)

注記)※1)鉄筋の基準値は鉄筋のSD685の許容応力度(σ_{sa})を使用。



定着長の設計においては、道路橋示方書・同解説による算定結果が最も保守側な設定となることから、これを採用することとした。

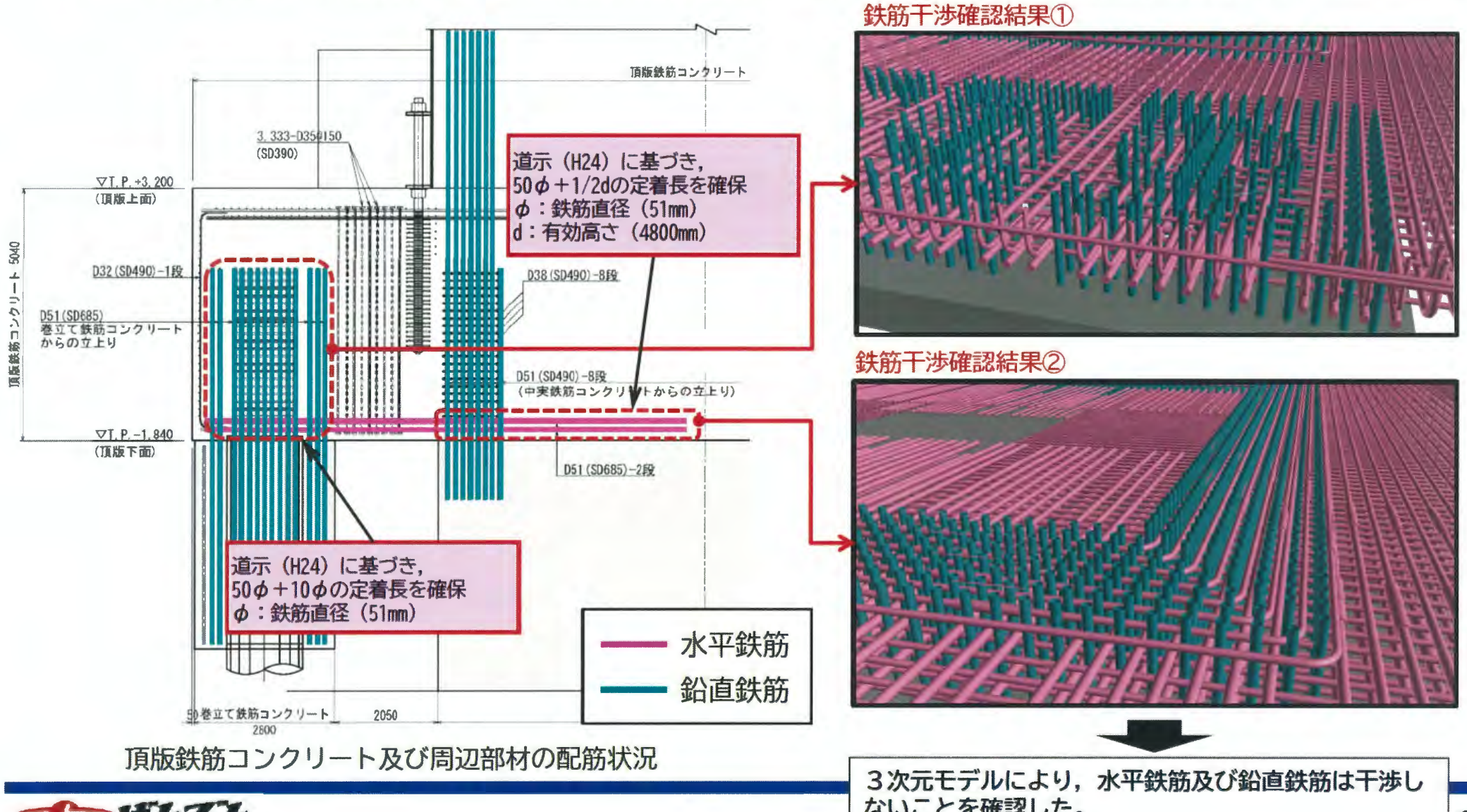


 $^{(\}tau_{sa})$ ※2)コンクリート付着強度はコンクリートの許容付着応力度 (τ_{sa}) を使用。

^{※3)}定着長の算定は $l_a = \sigma_{sa} \cdot \phi/4\tau_{sa}$ で算定。

(3) 高強度鉄筋SD685の適用性について(5/6)

頂版鉄筋コンクリートは自身の構造鉄筋に加え、鋼管杭(巻立て鉄筋コンクリート)等からの定着鉄筋などが複雑に交錯する配筋状況 を呈している。本項では、頂版鉄筋コンクリートにおける主要な定着の考え方と、鉄筋同士の干渉確認結果を掲載する。



ないことを確認した。

(3) 高強度鉄筋SD685の適用性について (6/6)

施工実績(土木工事)

全景写真	名称 (所在)	施主	コンクリート設計基準強度	鉄筋種別	採用箇所	全体図(側面図)
	鷲見橋 (岐阜県)	NEXCO	50N/mm2	SD685	橋脚	PRC 4 存間連続ラーメン箱析権(技形鋼板ウェブ) 接長 = 459 000 134 000 134 000 79 000 134 0
	栗東橋(滋賀県)	NEXCO	50N/mm2	SD685	橋脚	制所以 4月 490 coo 11 170 000 2 115 000 2 115 000 2 115 000 2 115 000 2 2 115 000 2 3 3 5 6 6 0 0 0 0 0 0 0 0 0 0 0 0 0 0 0 0 0
	佐奈川橋(愛知県)	NEXCO	50N/mm2	SD685	橋脚	ESTREET TO RESERVE TO RESERVE TO STATE THE PROPERTY OF THE PRO

(4) 北基礎の中実鉄筋コンクリートの根入れの考え方

道路橋示方書・同解説(I共通編 IV下部構造編,平成24年3月,公益社団法人 日本道路協会)では,以下のように,基礎は良質な支持層に支持させることを原則とし,各基礎の支持機構及び施工性を考慮して根入れ深さを決めることとしている。

- (1)直接基礎、ケーソン基礎及び深礎基礎は、良質な支持層に支持させなければならない。
- (2)杭基礎は,上部構造の形式と機能,地質条件,杭の支持機構及び施工性を考慮して適切な根入れ深さを決めなければならない。
- (3)鋼管矢板基礎の鋼管矢板先端及び地中連続壁基礎の地中連続壁先端は,良質な支持層に根入れさせなければならない。

良質な支持層は、長期的に安定(斜面の影響や地震の影響(液状化等)により不安定にならない、洗堀や圧密沈下の影響を受けない)する地層としている。また、基礎の支持機構(側面摩擦による鉛直荷重の分担支持性能)、施工性等から基礎先端支持力の信頼性を増すための支持層への貫入(根入れ深さ)を必要としている。

<u>防潮堤(鋼製防護壁)の基礎の中実鉄筋コンクリートは、構築形式から深礎基礎に分類でき、掘削後に基礎設置全面において良質な</u> 支持層(km層)であることを目視で確認することより、基礎は良質な支持層に支持させることができる。

一方,防潮堤(鋼製防護壁)の基礎の鋼管杭は,地中での施工であり,地盤の不均一性に等による支持層の深度の誤差等が含まれること等から確実に支持層への到達させるために杭径程度以上(1D以上,Dは杭の直径)の根入れ深さを確保することとする。

第9章 基礎の安定に関する基本事項

深礎基礎の場合は、斜面上に設置され基礎前面地盤が有限であるため、岩盤中に設置するような場合でも過度に水平抵抗に依存することは望ましくない。このため、良質な支持層を選定し確実に支持させることが重要である。

第15章 深礎基礎の設計

本章は、地表面の傾斜が 10 度以上の斜面上において深礎工法により施工され、一般に 根入れ深さが基礎幅に比較して大きい深礎基礎を対象とする。ここで深礎工法とは、地下 水位の低い比較的堅固な地盤において土留めを用いて地盤を掘削し、支持層の状況を目視 等で直接確認し、気中と同様の施工条件及び施工管理にて鉄筋コンクリートを構築する工 法を指す。土留構造には、自立性の低い又は湧水のある地盤などで適用されるライナープ レート等の土留材を用いる場合と、自立性の高い地盤で適用されるモルタルライニングや 吹付けコンクリートを用いる場合がある。前者と後者では基礎周面のせん斯地盤抵抗等の 考え方が異なるため、設計の際には基礎周囲の地盤状況を考慮して適切に土留構造を選定 することが求められる。

道路橋示方書・同解説(Ⅰ共通編 Ⅳ下部構造編,平成24年3月,公益社団法人 日本道路協会)より抜粋



(5) 中実鉄筋コンクリートにおける機械式継手について (1/2)

① 機械式継手の施工性及び準拠基準

鋼製防護壁の工事のうち鉄筋コンクリートを構築する作業に共通して想定される「鉄筋の密な配置によるコンクリートの未充填」のリスクについては、以下の対策を行い、施工の確実性を確保する。なお、鉄筋コンクリート工事は気中工事で行うことから、工事が計画どおり行われていることが確認できる。

- ・構造設計の段階でコンクリートの充填性の観点で鉄筋の配置を確認する。
- ・鉄筋,機械式継手の配置を確認し,「コンクリートライブラリー 156 鉄筋定着・継手指針[2020年度](土木学会)」(以下「継手 指針」という。)に準拠して,照査(設計)に反映する。
- ・ **鉄筋が密な配置になる部材については高流動**コンクリートを採用する。

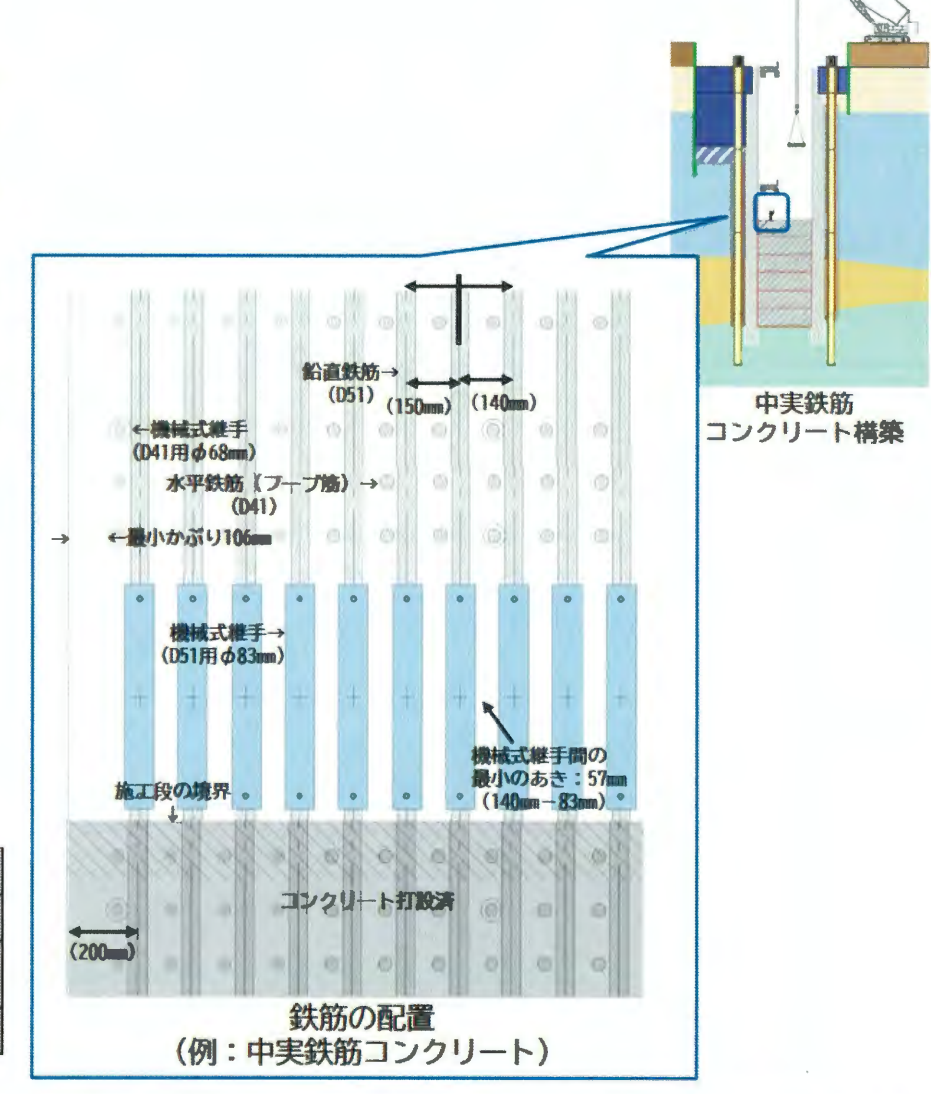
高流動コンクリートの仕様例

設計基準強度:50N/mm² 是大學材容:20mm

自己充填性のランク:ランク1 スランプフローの目安:700mm

自己充填性のランク※	1	2	3
鋼材の最小あき (mm) **!	35~60程度	60~200程度	200程度以上
主な対象構造物※1	高密度配筋部材,複雑・異 形型枠を使用した構造物	通常のRC構造物や複合構造 物	配筋量の少ないマスコンク リート構造物や無筋構造物
スランプフローの目安※2	700mm	650mm	600mm

※スランプフロー:スランプフロー試験 (JIS A 1150) において、 スランプコーンを引き抜いた後にコンクリートが広がった長さ



^{※1} コンクリートライブラリー136 高流動コンクリートの配合設計・施工指針 [2012年版] (土木学会) P26(解説 表2.1.1) ※2 2023年制定 コンクリート標準示方書 施工編 (土木学会) P161 (解説 表11.5.1, 解説 表11.5.2, 解説 表11.5.3)



(5) 中実鉄筋コンクリートにおける機械式継手について(2/2)

② 基準に基づく機械式継手の配置

継手指針*に基づき、以下のように整理する。

- ・機械式継手部は引張降伏強度の低減係数 α (表3.5.2), 継手単体の材料修正係数 p_{mj} (表3.6.2) を用いて照査を行う。
- ・鉛直鉄筋は、多段配筋となり、継手相互の軸方向距離を確保した施工が困難なことから、機械式継手の集中度は「1/2より大(通称「イモ継ぎ」)」となる。
- ・機械式継手の施工レベルは2 (解説表3.1),検査レベルは1 (解説表3.2)として計画するため、機械式継手の信頼度は I 種 (解説表3.5.2)に該当する。
- ・機械式継手の種類はSA級またはA級を採用する計画である。

以上の結果、

機械式継手の引張降伏強度の低減係数αは1.0 (表3.5.2)

機械式継手単体の材料修正係数 p_{mi} は1.0 (表3.6.2)

として、照査(設計)する。

機械式継手の集中度 1/2より大 ・機械式継手

鉄筋の配置 (例:中実鉄筋コンクリート)

 $f_{ik} = p_{mi} f_{vk}$

※ コンクリートライプラリー156 **鉄**筋定着・維手指針[2020年度] (土木学会) 掲載頁

$f_{id} = \alpha f_{ik}/\gamma_s$

fid: 継手の引張降伏強度の設計値 (N/mm²)

fix: 維手単体の引張降伏強度の特性値 (N/mm²)

α:引張降伏強度の低減係数 (表3.5.2参照)

γ": 母材鋼材の材料係数

表3.5.2 引張降伏強度の低減係数α(P28*)

継手の 信頼度	継手の集中度		
	1/2以下	1/2より大	
I種	1.0	1.0	
II種	0.9	0.8	
II M	0.8	_	

解説 表3.5.2 施工および検査のレベル から定まる継手の信頼度(P27*)

施工の	検査のレベル				
レベル	1	2	3		
1	I種	II種	旧種		
2	I種	II種	田種		
3	II 🍇	田種	Ⅲ種		

解説 表3.1 機械式維手の施工のレベル(P157*)

施工の	1	公的認定機関の認定書類に示される施工手順に従って, 継手製造元技術者またはそれに準ずる技術者から教育を 受けた作業者が,公的認定機関から認定された品質管理 体制の下で,施工仕様書に従って施工を行う場合。
レベル	2	公的謀定機関の謀定機関に示される施工手順に従って, 維手製造元技術者またはそれに準ずる技術者から教育を 受けた作業者が,施工仕様書に従って施工を行う場合。

解説 表3.2 機械式継手の検査のレベル(P157%)

検査の	1	公的職定機関から認定を受けた検査員が、全数検査を行う場合。
V	2	公的認定機関の認定を受けた機械式離手のメーカーの技 物講習会を受講し資格を取得した検査者が、全数検査を

fjk : 維手単体の引張降伏強度の設計値 (N/m²) fyk : 母材鉄筋の規格降伏強度の特性値 (N/m²) pm; : 維手単体の材料修正係数 (褒3.6.2参照)

表3.6.2 継手単体の材料修正係数 Pmi (P33*)

維手種類	継手単体の材料修正係数
SA級	1.0
A級	1.0
B級	0.8
C級	0.6



(6) 鋼管杭の先端根固め方法について

杭の極限支持力は、地盤条件、施工法による支持力の特性が違うために施工方法等を考慮して決める必要があり、杭先端の支持力と杭 周面の摩擦力の和として推定することが一般的である。道路橋示方書・同解説(I 共通編 IV下部構造編、平成24年、社団法人 日本道 路協会)では、工法別の杭の先端の支持力及び杭周面の摩擦力の標準的な推定式を示している。

鋼管杭施工工法及び先端処理方法

防潮堤(鋼製防護壁)基礎の鋼管杭の施工は、中掘り杭工法の一種の中掘り圧入工法を採用する。中掘り圧入工法は、全周回転掘削機を用いて鋼管内の土砂を撤去しながら鋼管を回転・圧入し、杭を築造する工法であり、施工予定の鋼管径、地盤条件での既存の実績が多く、東海第二発電所では防潮堤(鋼管杭鉄筋コンクリート)の施工を完了した実績がある。

中掘り杭工法の先端処理方法は、最終打撃による方法、セメントミルク噴出攪拌による方法(砂質系地盤のみ適用), コンクリート 打設による方法があり、各先端処理方式による杭先端の極限支持力度の算定方法を下表に示す。

中掘り杭工法による杭先端の極限支持力※1)

先端処理方法	杭先端の極限支持力度の算定法
最終打擊方式	打込み杭の算定式を適用
セメントミルク噴出攪拌方式	極限支持力度(kN/m^2) $q_d = \begin{cases} 150N \ (\leq 7,500) \ 砂層 \\ 200N \ (\leq 10,000) \ 砂れき層 \\ ここに,N: 杭先端地盤のN値$
コンクリート 打設方式 支持層 1.0D 程度以上 4 d 以上	場所打ち杭の極限支持力度を適用 杭の中に充填したコンクリートと杭が 一体化して杭先端を築造するために、 杭先端の支持力発現機構が場所打ち杭 工法とおおむね同様とみなせることに よるものである。

防潮堤(鋼製防護壁)鋼管杭は、杭径Dの4D以 上根固めコンクリートを打設することとし、杭 先端の極限支持力算定には場所打ち杭の極限支 持力度算定方法を適用する。

注記)※1)道路橋示方書・同解説(I共通編 IV下部構造編, 社団法人 日本道路協会, 平成24年3月)より引用・加筆



(7)鋼管杭の溶接継手部について(1/2)

従来,溶接継手部の現場溶接の許容応力度は,工場溶接の許容応力度の90%と低下した値を適用していた。しかし,道路橋示方書・同解説(Ⅱ共通編 IV下部構造編,平成24年,社団法人 日本道路協会)では,溶接技術の向上に加えて適切な技能を有する溶接工が適切な溶接環境のもとで施工するとともに,非破壊検査や施工過程の記録などにより施工管理が行われる場合,十分な溶接品質が確保できることから現場溶接と工場溶接は同じ許容応力度で管理できるとしている。

防潮堤(鋼製防護壁)基礎の鋼管杭の継手の現場溶接は、溶接材料の種類及び特性、保有資格作業者、継手の形状と精度、溶接環境及び使用設備、溶接施工条件及び留意事項、溶接部の検査方法及び記録、不適合品の取り扱いについて施工計画としてまとめ、品質が確報できる適切な施工を実施することとする。東海第二発電所「防潮堤(鋼管杭区間)排水路工」のSBHS500鋼材の鋼管杭の溶接継手の検査・試験項目を次頁以降に示す。

以上より、鋼管杭の継手の現場溶接は、十分な品質が確保できることより、工場溶接の許容応力度を適用することとする。

CDLICE V V AM + + 1	の鋼管杭の溶接継号	「の計念はも再※1)
- フレロンンいい4型小小(刀和10个几0人分布不	トリミナイションノリシベリ

	鋼種	SBHS500(板厚100mm以下)	
		圧縮応力度	295 (N/mm²)
エ	3	引張応力度	295 (N/mm²)
場溶		7/32 0/132	せん断力度
接	すみ肉溶接及び 部分溶込み開先溶接	せん断応力度	170 (N/mm²)
	現場溶接	原則として工場溶接と同じ値とする。	

注記: ※1) 土木学会「橋梁用高降伏点鋼板JIS G 3140 SBHS500(W), SBHS700(W)の設計指針(案) (平成21年11月5日)」より引用・加筆。



(7) 鋼管杭の溶接継手部について(2/2)

溶接品質について,道路橋示方書・同解説(下部工編,平成24年3月)に準拠し,現場でのアーク溶接継手(半自動溶接)を施工する際に,適切な技能を有する溶接工が適切な溶接環境のもとで施工するとともに,非破壊検査や施工過程の記録化などにより品質管理を行うことで品質を確保する。

その管理内容は以下のとおりである。

- 知識経験のある溶接施工管理技術者を常置し、その者は溶接工の選定並びに溶接の管理、指導検査及び記録を行う。
- 溶接部の検査は,有害な内部きず,外部きずが無いことを確認するために下表に基づき検査を実施する。検査の結果,発見された欠陥のうち手直 しを要するものについては,補修溶接を実施し,かつ,補修状況が確認できるように記録する。
- 杭の現場溶接継手にあたっては、良好な溶接環境の確保や適切な溶接管理を行うとともに、溶接条件、溶接作業、検査結果等を記録する。

現場溶接検査・管理項目※1)

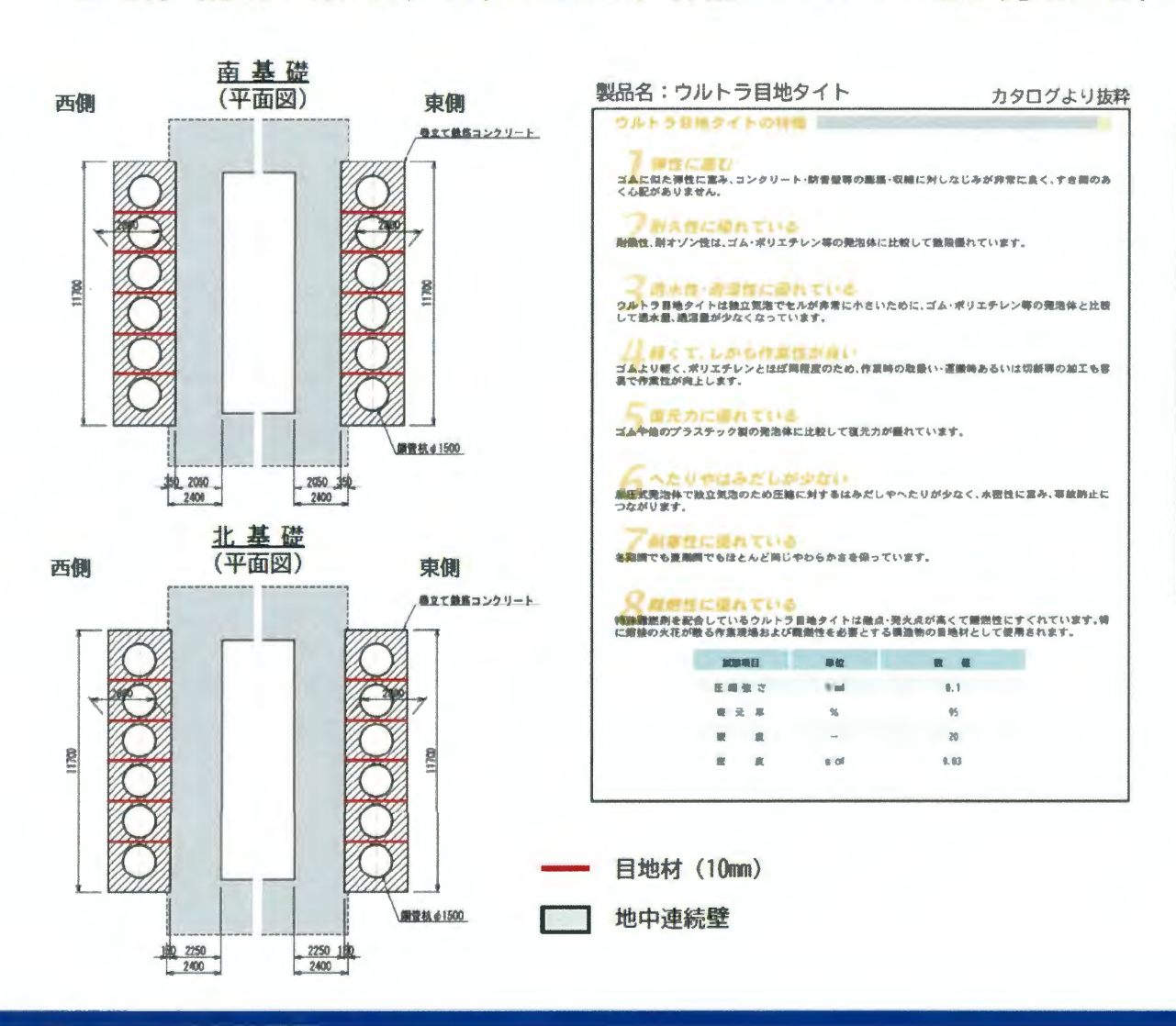
管理			検査項目・基準値及び準拠した仕様書類	検査方法		
内容	管理項目	参考文献等	規格値	検査方法		管理時期
内部きず	突合せ継手の 内部欠陥		試験で検出されたきず寸法は、設計上許容される寸法以下。寸法によらず表面に開口した割れ等の面上きずはないこと。1 類から3類であること。	超音波探傷試験(UT) (手探傷) (レベル2以上の有資格者による)	超音探傷試験機	溶接完了時
	外観検査 (割れ)		試験で検出されたきず寸法は、設計上許容される寸法以下。寸法によらず表面に開口した割れ等の面上きずはないこと。	浸透探傷試験(PI) (手探傷) (レベル2以上の有資格者による)	浸透探傷剤	溶接完了時
	外観検査(割れ)		あってはならない	目視		溶接完了後
	外観形状検査 (ビード表面のビット)	国土交通省 国土交通省 品質管理基準及び規格値	主要部分の突合せ継手及び断面を構成するT継手、角継手には、ビード表面にビットがあってはならない。その他のすみ肉溶接及び部分溶け込み開先溶接には1継手につき3個又は継手長さ1mにつき3個までを許容する。ただしビットの大きさが1mm以下の場合は、3個を1個として計算する。	目視及び ノギス等による計測	ノギス コンベックス	溶接完了後
外部きず	外観形状検査 (ビード表面の凹凸)	(溶接工)	ビード長25mmの範囲で 3mm未満	目視及び ノギス等による計測	溶接ゲージ ノギス	溶接完了後
	外観形状検査 (アンダーカット)		0.5mm以下	目視及び ノギス等による計測	溶接ゲージ ノギス	溶接完了後
	外観形状検査 (オーバーラップ)		あってはならない	目視		溶接完了後
	外観形状検査 (アークストライク)		あってはならない	目視	-	溶接完了後
	予熱		SBHS500 板厚区分(mm) 40 <t≦50 予熱なし<br="">(但し,溶接材による)</t≦50>	測定	温度計	施工前
	パス間温度	橋梁用高性能鋼材(社)日本級鋼連盟	最高バス間温度 SBHS500 Tmax≦300℃	測定	温度計	施工中
溶接 条件	入熱制限(1パス)	橋梁用鋼材研究会	SBHS500 Q≦10,000J/mm	電流計、電圧計、溶接時間入熱量 Q(J/mm)=電流(A)×電圧(V)× 60sec/溶接速度(mm/min)	電流・電圧計	溶接中
	現場円周溶接部の 目違い	鋼管杭現場継ぎ溶接作業要領書 ((社)鋼管杭・鋼矢板技術協会) 《JIS A 5525(鋼管ぐい)》	4mm以下	測定	溶接ゲージ	溶接前

注記)※1)「防潮堤(鋼管杭区間)設置工事 排水路工 検査・試験計画一覧表」(2023年4月)



(8) 巻立て鉄筋コンクリート間の目地材について

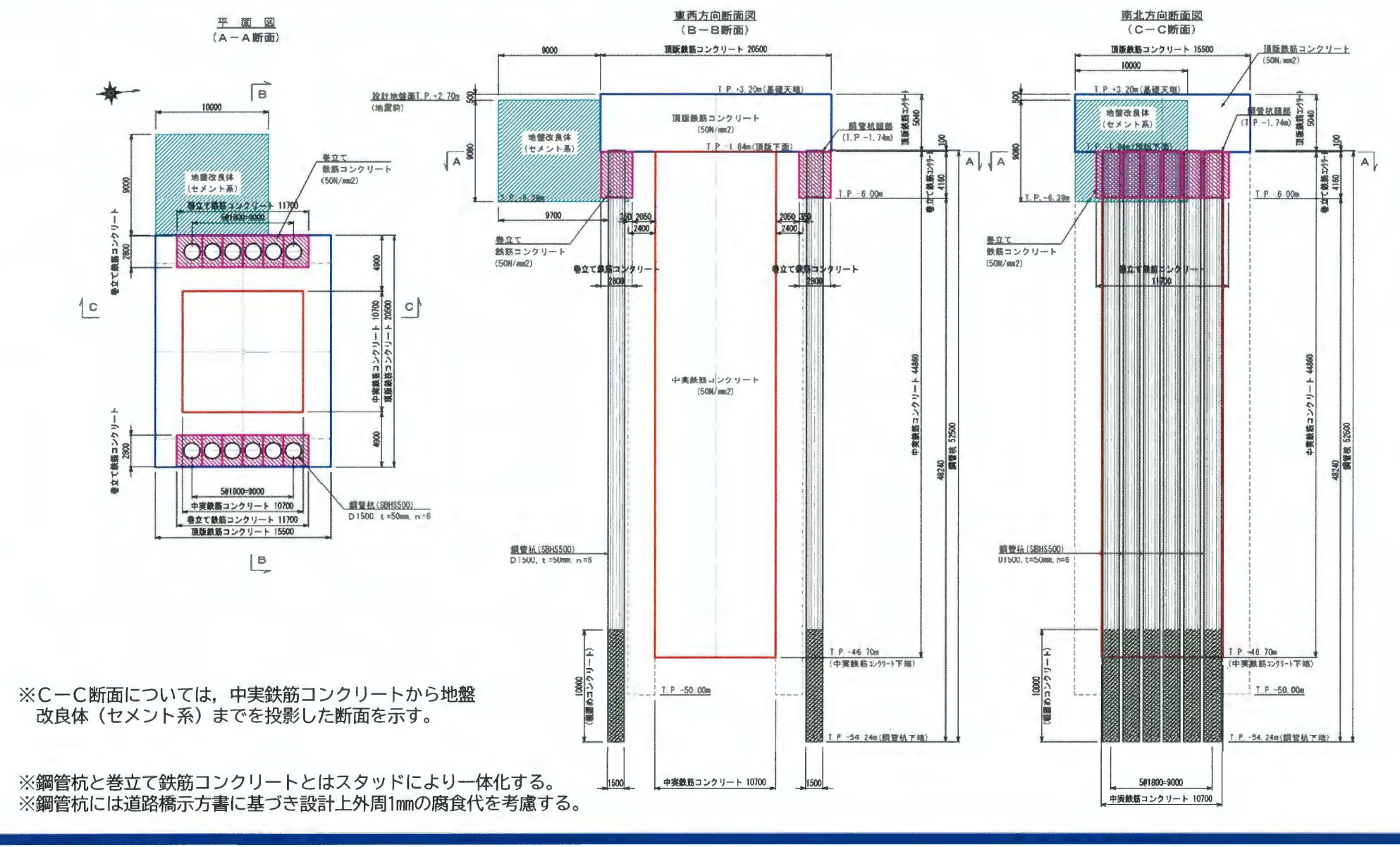
- ・巻立て鉄筋コンクリートは各杭ごとに施工し、杭間(コンクリート間)には目地材(縁切り材)を配置する計画である。
- ・目地材(縁切り材)は、以下のとおり、弾性プラスチック加圧発砲目地(オレフィン系樹脂)を使用する。



【解析モデル上の取り扱いについて】

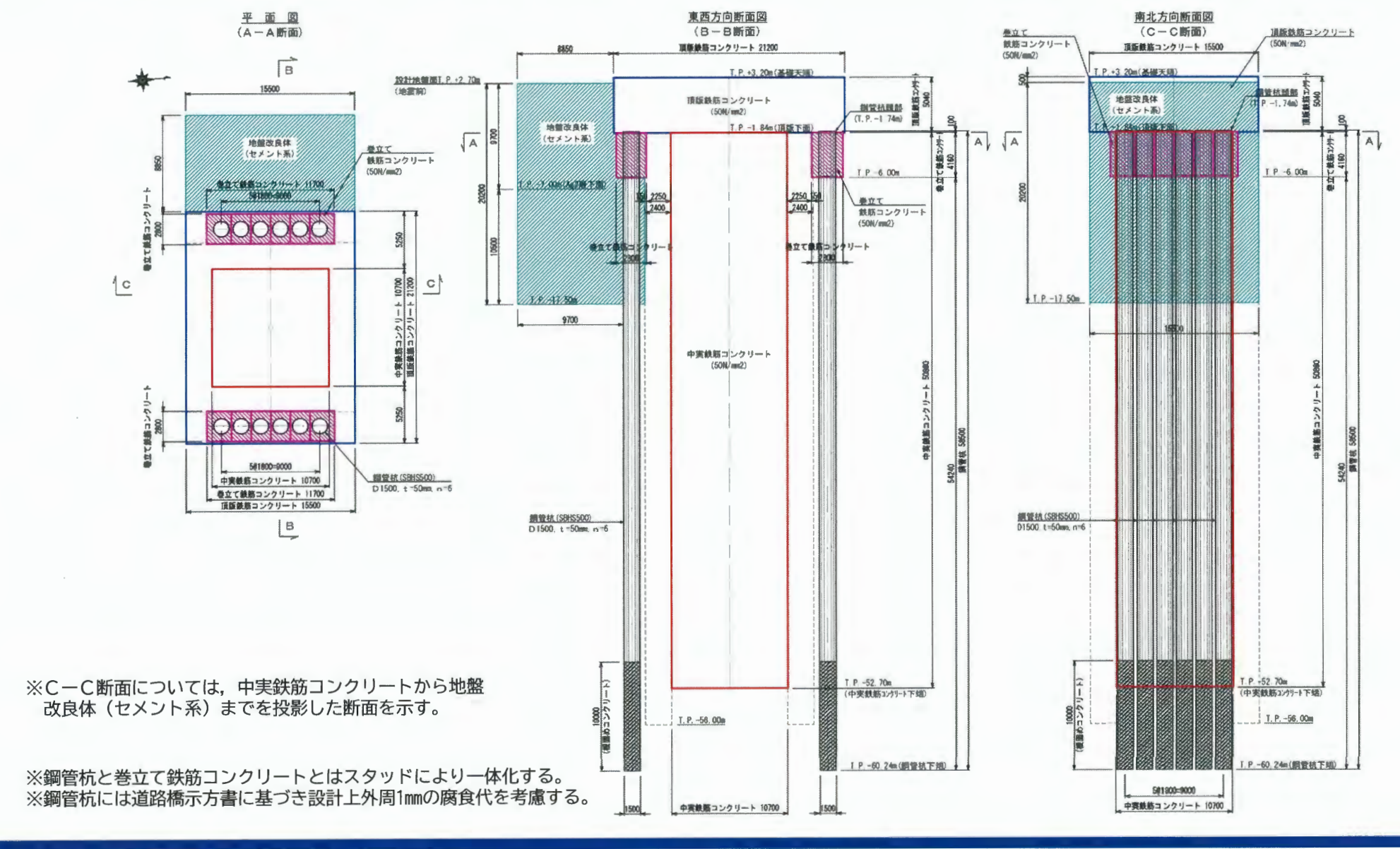
- 当該目地部は,耐津波評価においては"連結バネ",耐震評価においては"ジョイント要素" にてモデル化されており,いずれのモデルにおいてもコンクリート相当の剛性を有する設定としている。
- 目地材の幅が10mmと極めて小さいこと,巻立て 鉄筋コンクリートは直上の頂版鉄筋コンクリー トにより拘束されており,杭間の変形は極めて 小さいと考えられることから,杭間要素の影響 は顕著でなく,現状のモデル化は妥当であると 判断される。

(9) 防潮堤(鋼製防護壁)の構造詳細図(1/2) 南基礎





(9) 防潮堤(鋼製防護壁)の構造詳細図(2/2) 北基礎







(1) 耐津波設計方針に係る補足説明(1/16)

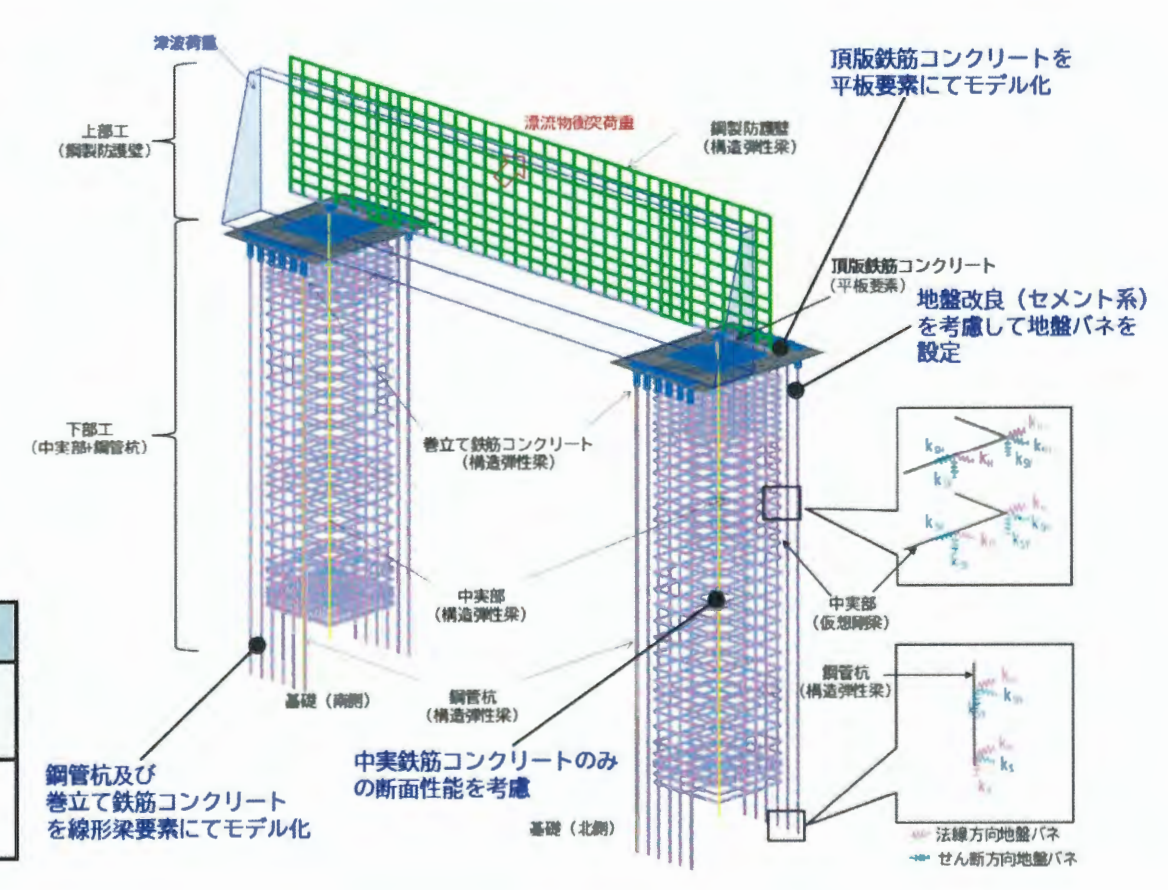
a. 耐津波設計における解析モデル概要【津波時】

耐津波設計においては、既工認と同様、津波荷重による水平トルクを受ける中実鉄筋コンクリートと鋼管杭及び 鋼製防護壁の三次元的な挙動を評価する。モデル化のポイントは以下のとおり。

- ・ 上部工・下部工を一体でモデル化する。
- 中実部は縦梁(構造弾性梁)とその周囲の仮想剛梁で構成し、仮想剛梁に地盤バネを設定する。
- 鋼管杭および巻立て鉄筋コンクリートは縦梁(鋼管杭と 巻立て鉄筋コンクリートの各剛性を足し合わせた一本の 構造弾性梁)で構成し、それぞれに地盤バネを設定する。
- 上部工(鋼製防護壁)は、外面・隔壁部材を構造弾性梁 でモデル化する。
- 本震による影響(周辺地盤の沈下)を考慮するとともに、 部位ごとで安全側となるよう地盤バネを設定する。

地盤バネの設定

ケース名	地盤バネ定数	上限値
地盤バネ1	初期せん断剛性 から設定	ピーク強度 (平均) から設定
地盤バネ2	静弾性係数 から設定	残留強度(平均-1σ) から設定



青字は、既工認から変更した個所



(1) 耐津波設計方針に係る補足説明(2/16)

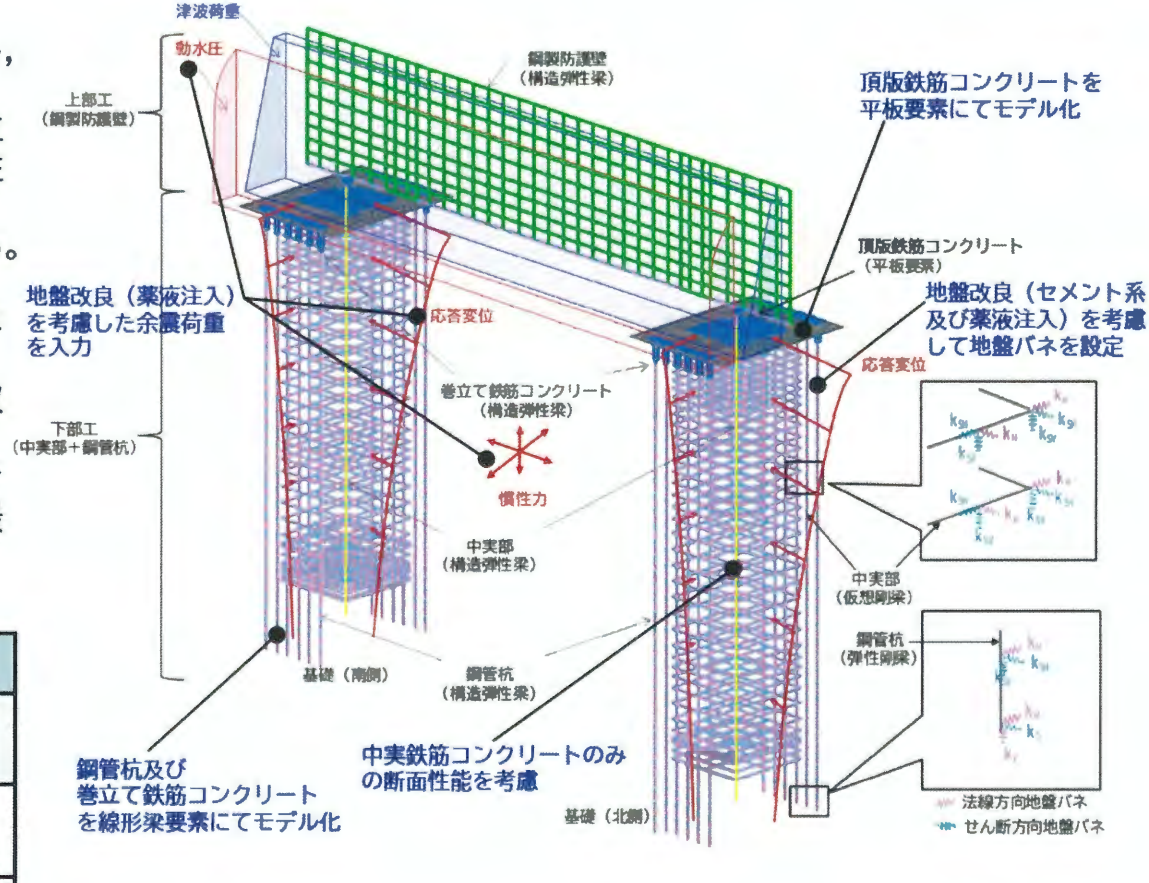
a. 耐津波設計における解析モデル概要【重畳時】

耐津波設計においては、既工認と同様、津波荷重による水平トルクを受ける中実鉄筋コンクリートと鋼管杭及び 鋼製防護壁の三次元的な挙動を評価する。モデル化のポイントは以下のとおり。

- ・ 上部工・下部工を一体でモデル化する。
- 中実部は縦梁(構造弾性梁)とその周囲の仮想剛梁で構成し、 仮想剛梁に地盤バネを設定する。
- 鋼管杭および巻立て鉄筋コンクリートは縦梁(鋼管杭と巻立 て鉄筋コンクリートの各剛性を足し合わせた一本の構造弾性 梁)で構成し、それぞれに地盤バネを設定する。
- 鋼製防護壁は、外面・隔壁部材を構造弾性梁でモデル化する。
- 本震の影響(周辺地盤の沈下)及び余震の影響(剛性低下) を考慮するとともに、部位ごとで安全側となるよう地盤バネ を設定する。
- 余震による地盤の剛性低下は、一次元地盤応答解析結果の収 束剛性により考慮する。
- 余震による水平及び鉛直慣性力(設計震度)は、南北基礎それぞれの地盤条件における一次元地盤応答解析結果から、最大の地表面応答加速度により設定する。

地盤バネの設定

ケース名	地盤バネ定数	上限値
地盤バネ3	余震時収束剛性から設定 (地表面加速度最大)	ピーク強度 (平均)から設定
地盤バネ4	余震時収束剛性から設定 (地表面変位最大)	同上
地盤バネ5	余震時収束剛性から設定 (せん断ひずみ最大)	同上



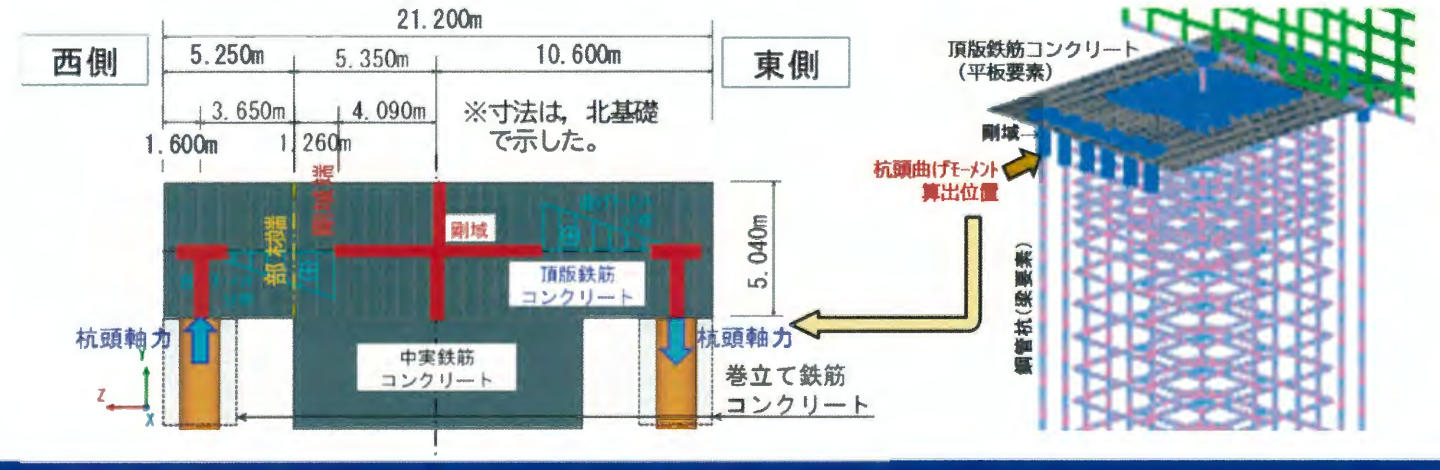
青字は、既工認から変更した個所

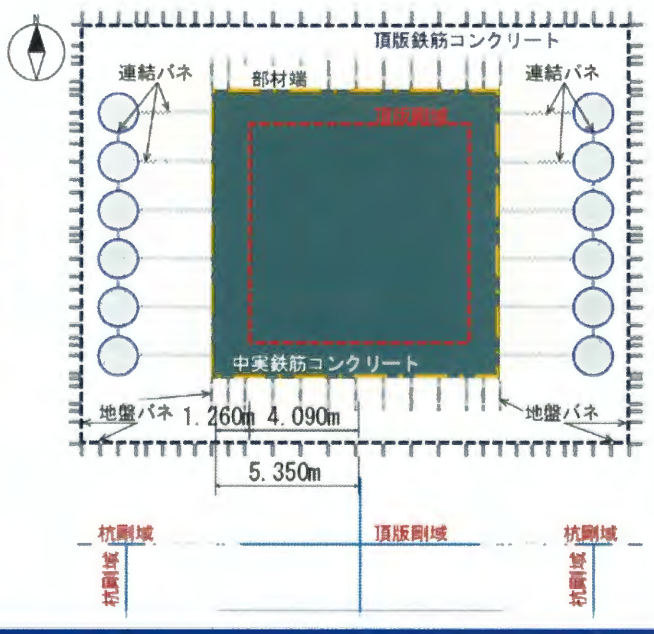
(1) 耐津波設計方針に係る補足説明(3/16)

b. 頂版鉄筋コンクリートのモデル化について

構造変更により鋼管杭及び巻立て鉄筋コンクリートが追加されたことに伴い、三次元フレームモデルにて頂版鉄筋コンクリートを平板要素としてモデル化する方針とした。以下、その詳細について記載する。

- 頂版鉄筋コンクリート(部材厚5.040m)は、中実鉄筋コンクリートの構造梁と鋼管杭をモデル化するために、鋼管杭の南北方向の複数配置と中実鉄筋コンクリートからの張出しの影響を評価できる平板要素とした。
- 平板要素のメッシュサイズは板厚(5.040m)の1/2以下とし、鋼管杭の配置や剛域、曲げ軸力およびせん断照査位置を考慮して分割を決定した。
- 剛域の設定は、道路橋示方書IV(H24)に準拠した。
- 頂版鉄筋コンクリートの剛域は、中実鉄筋コンクリートの外周面を部材端として、部材端から内側に頂版厚×0.25(5.040×0.25=1.260m)を設定した。
- 鋼管杭の杭頭から平板要素軸線まで剛域を延ばし、鋼管杭と頂版の剛体接続を考慮した。【頂版鉄筋コンクリートの照査位置】
- 曲げ軸力照査位置は、中実部の外周面位置(=部材端)とした。
- せん断照査位置は、部材端から外側に頂版厚×1/2(5.040×1/2=2.520m)の位置とした。
 【杭頭接合部の照査位置】
- 曲げ軸力照査位置は、鋼管杭の剛域端とした。
- 杭頭接合部の曲げモーメントの算出位置は、鋼管杭の杭頭の節点とした。

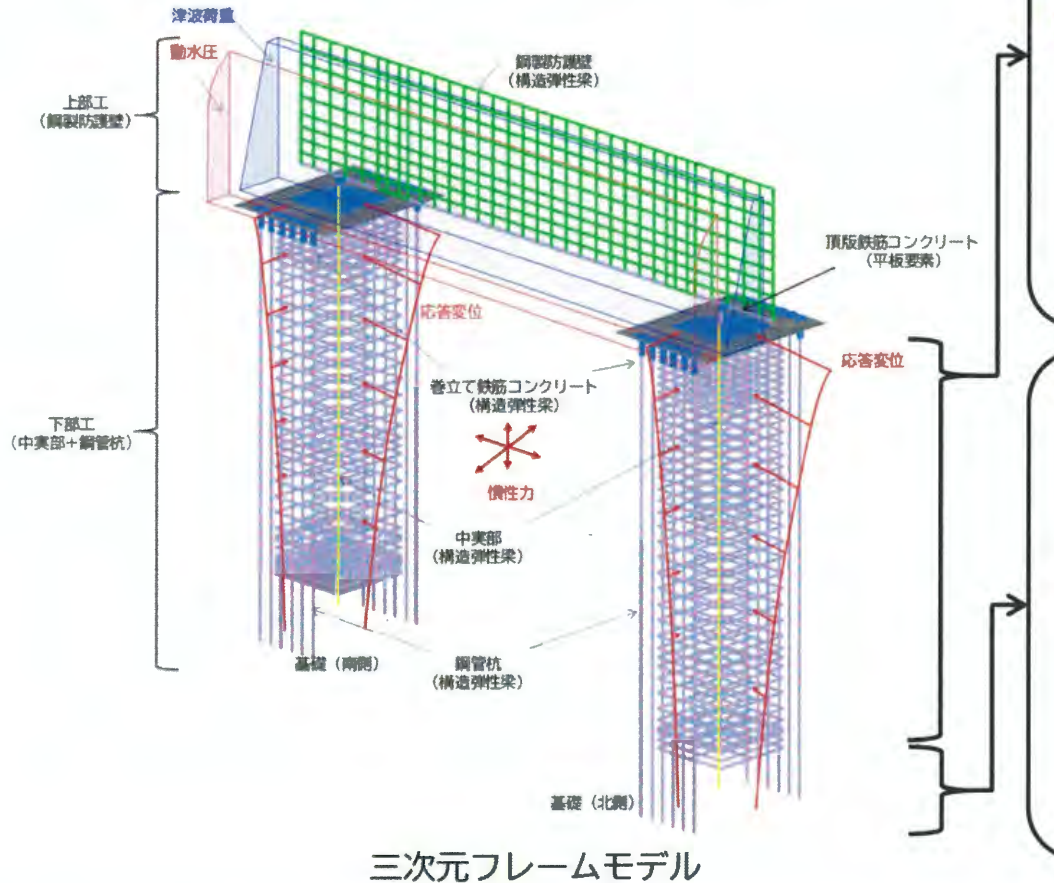


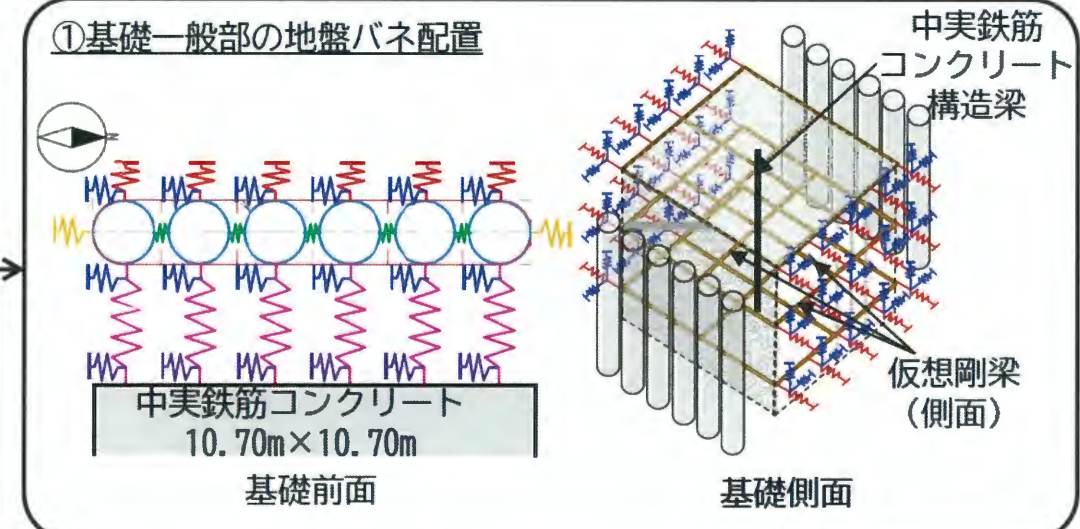


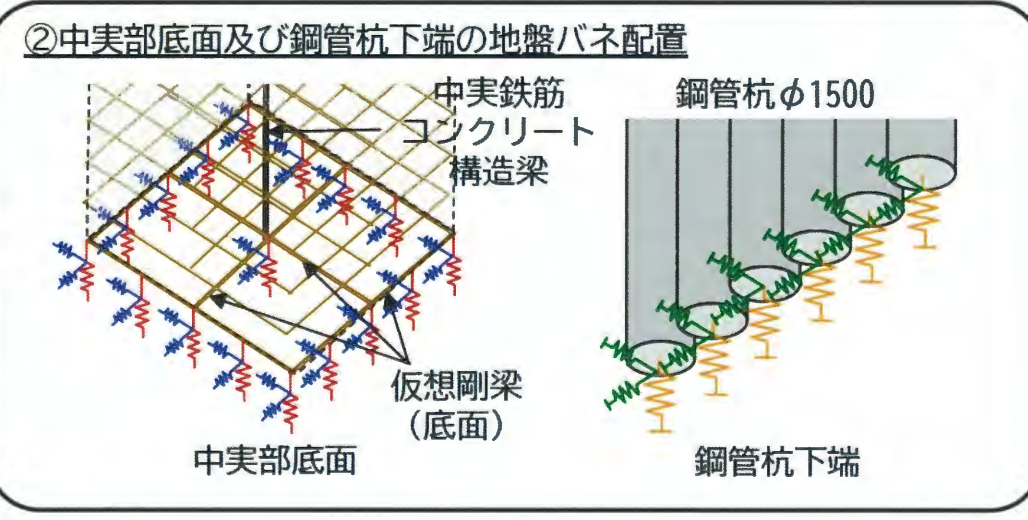
(1) 耐津波設計方針に係る補足説明(4/16)

c. 地盤バネの設定について

耐津波設計の三次元フレームモデルに用いる地盤 バネは、「道路橋示方書・同解説 IV下部構造編(平 成14年3月」に準拠し、地盤反力上限値を考慮したバイ リニア型として設定することを基本とする。



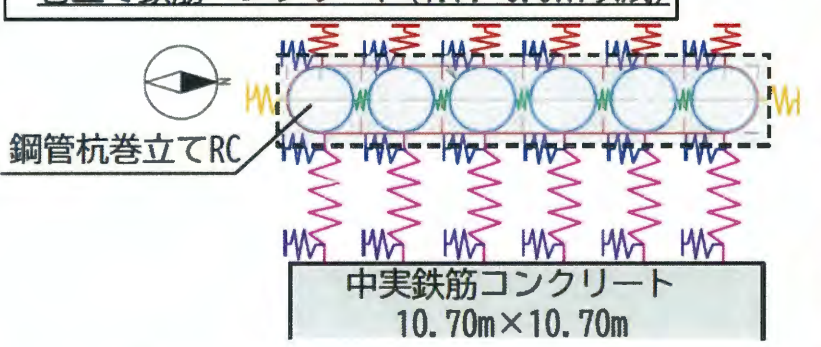




(1) 耐津波設計方針に係る補足説明(5/16)

C. 地盤バネの設定について

①<u>基礎一般部の地盤バネ(基礎前面)</u> 巻立て鉄筋コンクリート(T.P.-6.0m以浅)



記号 (ばね色)	設定面	区分	換算載荷幅 (m)	地盤反力係数等	地盤反力上 の有無
■ P-1		面直(外向き)	中間部1.800 端部2.250	道示K _H (下式参照)	有
■ K-1	東西	面直(内向き)	中間部1.800 端部2.250	連結バネとして設定 (下式参照)	無
■P-2	果四	水平・鉛直 せん断		道示K _{SH} ,K _{SV} (下式参照)	有

地盤バネー覧表

水平·鉛直 道示K_{SH}, K_{SV} (下式参照) 同上 RC-2 無 せん、断 道示K 南北 2.500 有 P-3 而直 (下式参昭) 端部のみ (巻立て厚) 連結バネとして設定 2,500 K-2 南北 無 面直 (巻立て厚) (下式参昭)

道示K₄の算定式(■P-1, ■P-3)

 $K_{H} = \alpha_{k} K_{H0} \left(\frac{B_{H}}{0.3}\right)^{-\frac{3}{4}}$

K_H:部材面法線方向地盤反力係数(kN/m³)

 α_{k} : K_{H} の推定に用いる補正係数(=1.5)

K_{Ho}: 直径0.3 m剛体円板の平板載荷試験の値 に相当する水平方向地盤反力係数(kN/m³)

 $K_{H0} = \frac{1}{0.3} \alpha E_0$

 α : 地盤反力係数の換算係数 (α =1.0)

Eo: 地盤の変形係数 (kN/m²)

 $E_0 = 2(1 + v_d)G$

va:動ポアソン比

G:地盤のせん断弾性係数(kN/m²)

Bu: 換算載荷幅

(上記"地盤バネ一覧表のとおり。)

道示K_{SH}, K_{SV}の算定式(■P-2, ■RC-2)

 $K_{SH} = K_{SV} = 0.3K_{H}$

K_{SH}:部材面接線(水平せん断)方向地盤反力係数

 (kN/m^2)

Ksv:部材面接線(鉛直せん断)方向地盤反力係数

 (kN/m^2)

連結バネの算定式 (■K-1, ■K-2)

 $K_{RCR} = E_0/l_{RC}$ $K_{PR} = E_c/l_{PR}$

K_{RCR}:鉄筋コンクリート基礎と鋼管杭の連結バネ

(K-1) の反力係数(kN/m²)

KPR: 巻立てRC間の連結バネ (K-2) の反力係数

 (kN/m^2)

Eo: 地盤の変形係数 (kN/m²)

E_c: コンクリートの変形係数 (kN/m²)

l_{RC}, l_{PR}:連結バネの長さ (m)

地盤の変形係数Eo,地盤のせん断弾性係数G

地盤の変形係数Eo (地盤のせん断弾性係数G) は、地盤バネの種類に応じて下記のとおり設定する。

津波時:地盤パネ1は初期せん断弾性係数 G_m に基づき設定,地盤パネ2は静弾性係数Eに基づき設定

(上限値は、地盤バネ1がピーク強度(平均)、地盤バネ2が残留強度 (-1σ) から設定)

重畳時:地盤バネ3~5は、余震時の一次元地盤応答解析により算出した収束剛性Gに基づき設定

(上限値は、ピーク強度(平均)の余震時の収束強度(面直 σ_f 、せん断 τ_f)から設定)



(1)耐津波設計方針に係る補足説明(6/16)

c 抽般バネの設定について

し、地盤ハイの改化について						
①基礎一般部の地盤バネ(基礎前面)						
鋼管杭(T. P6.0m以深)						
鋼管杭 ■ P-1						
■P-2 W W W W W P-3						
₩ - ₩ - ₩ - ₩ - ₩ - ₩						
■P-2 M/S M/S M/S M/S M/S						
\$ \$ \$ \$ \$ ≤ ■ K-1						
■RC-2HM HMS HMS HMS HMS						
中実鉄筋コンクリート						
10.70 m $\times 10.70$ m						
基礎前面						

記号(ばね色)	設定面	区分	換算載荷幅 (m)	地盤反力係数等	地盤反力上限値 の有無	その他
■P-1		面直(外向き)	1.498 (鋼管杭外径)	道示K _H (下式参照)	有	群杭の低減考慮
■ K-1	-	面直(内向き)	中間部1.800 端部1.649	連結バネとして設定 (下式参照)	無	仮想ケーソン断面 考慮
■P-2	東西	水平·鉛直 せん断	同上	道示K _{SH} ,K _{SV} (下式参照)	有	同上
■RC-2		水平・鉛直 せん断	同上	道示K _{SH} ,K _{SV} (下式参照)	無	
■ P-3	南北端部のみ	面直	1.198 (鋼管杭外径 ×0.8)	道示K _H (下式参照)	有	仮想ケーソン断面考慮
■K-2	南北	面直	1.320 (鋼管杭間)	連結バネとして設定 (下式参照)	無	

道示K₄の算定式(■P-1, ■P-3)

 $K_{H} = \alpha_{k} K_{H0} \left(\frac{B_{H}}{\Omega_{2}} \right)^{-\frac{3}{4}}$

Ku:部材面法線方向地盤反力係数(kN/m³) α_k: K_Hの推定に用いる補正係数(=1.5)

KHo: 直径0.3 m剛体円板の平板載荷試験の値 に相当する水平方向地盤反力係数 (kN/m³)

$$K_{H0} = \frac{1}{0.3} \alpha E_0$$

 α : 地盤反力係数の換算係数 (α = 1.0)

E₀: 地盤の変形係数 (kN/m²)

$$E_0 = 2(1 + v_d)G$$

va:動ポアソン比

G:地盤のせん断弾性係数(kN/m²)

B_H:換算載荷幅

(上記"地盤バネ一覧表のとおり。)

道示Kcu, Kcvの算定式(■P-2, ■RC-2)

 $K_{SH}=K_{SV}=0.3K_{H}$ K_{SH} : 部材面接線(水平せん断)方向地盤反力係数

 (kN/m^2)

Ksv: 部材面接線(鉛直せん断)方向地盤反力係数

 (kN/m^2)

連結バネの算定式 (■K-1, ■K-2)

 $K_{RCR}=E_0/l_{RC}$ $K_{PR}=E_0/l_{PR}$ K_{RCR} :鉄筋コンクリート基礎と鋼管杭の連結バネ

(K-1) の反力係数 (kN/m²)

Kpp: 鋼管杭間の連結バネ (K-2) の反力係数

 (kN/m^2)

Ea: 地盤の変形係数 (kN/m²) l_{RC}, l_{PR}:連結バネの長さ (m)

地盤の変形係数E。, 地盤のせん断弾性係数G

地盤の変形係数E₀(地盤のせん断弾性係数G)は、地盤バネの種類に応じて下記のとおり設定する。

津波時:地盤バネ1は初期せん断弾性係数Gmに基づき設定,地盤バネ2は静弾性係数Eに基づき設定

(上限値は、地盤バネ1がピーク強度(平均)、地盤バネ2が残留強度 (-1σ) から設定)

重畳時:地盤バネ3~5は、余震時の一次元地盤応答解析により算出した収束剛性Gに基づき設定

(上限値は、ピーク強度(平均)の余震時の収束強度(面直 σ_f 、せん断 τ_f)から設定)



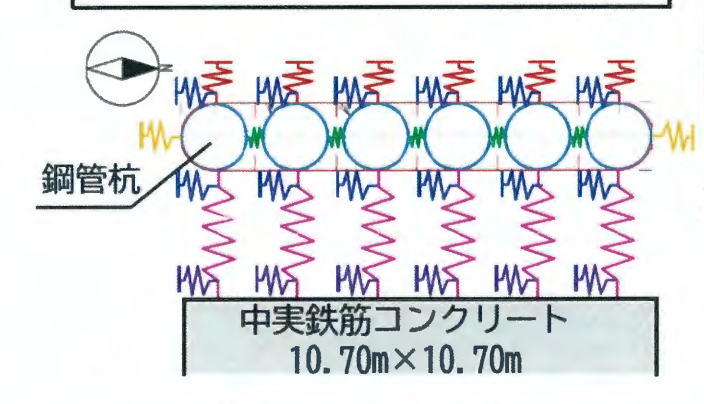
P-3

端部のみ

(1) 耐津波設計方針に係る補足説明(7/16)

c 地盤バネの設定について

①基礎―般部の地盤バネ (基礎前面) 群杭効果及び仮想ケーソン断面による 評価に係る補足



記号(ばね色)	設定面	区分	換算載荷幅(m)	地盤反力係数等	地盤反力上限値 の有無	その他	
■ P-1		面直(外向き)	1.498 (鋼管杭外径)	道示K _H	有	群杭の低減考慮	
■ K-1	東西	面直(内向き)	中間部1.800 端部1.649	連結バネとして 設定	無	仮想ケーソン断面 考慮	
■P-2		水平・鉛直 せん断	同上	道示K _{SH} ,K _{SV}	有	同上	
D_2	南北	 南道	1.198 (網等抗外径	道元以	右	同上	

道示K

地般バネー管表

群杭効果を考慮した地盤バネの低減

- 道路橋示方書IV(H24)において、鋼管杭の中心間隔が杭径D の2.5倍以上であると群杭の影響は比較的小さい。
- 中心間隔は、1.8/1.5=1.2D<2.5Dであり、鋼管杭の群杭 の影響を考慮する必要がある。
- 群杭の影響は、水平方向地盤反力係数の低減により考慮
- 低減の方法は、水平方向地盤反力係数に下式の補正係数ル =0.74を乗じる。

$$\mu = 1 - 0.2 \left(2.5 - \frac{L}{D} \right)$$

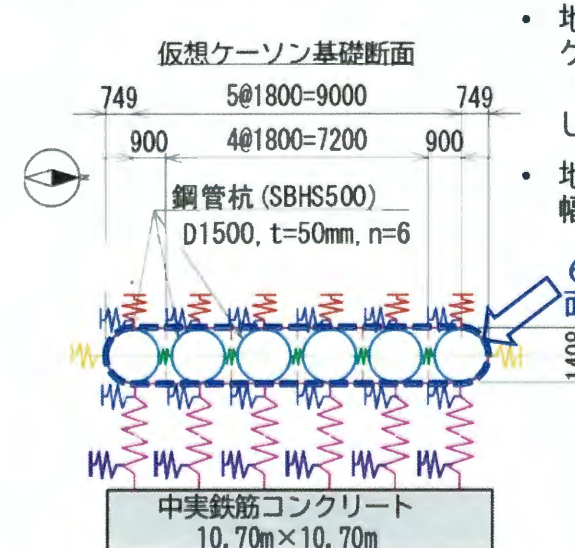
$$= 1 - 0.2(2.5 - 1.2)$$

$$= 1 - 0.26 = 0.74 \quad [L < 2.5D]$$

■ 仮想ケーソン断面の考え方を考慮して有効載荷幅を設定

(鋼管杭外径

 $\times 0.8)$



面直

 地盤バネK-1及びP-2は、左図の小判型の仮想 ケーソン基礎断面を考慮して、換算載荷幅 (中間杭:1.800m、端部杭:1.649m)を設定 した。

有

同上

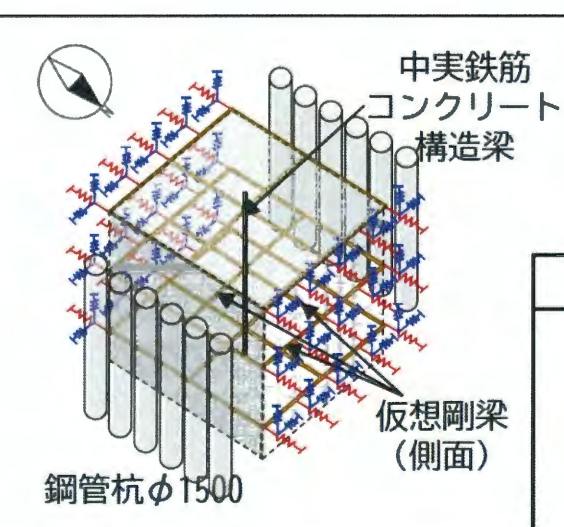
• 地盤バネP-3は、有効幅Beを考慮して換算載荷 幅1.198m (鋼管杭外径×0.8) とした。

6本の鋼管杭を小判型の仮想ケーソン基礎断 面として考える。

(1)耐津波設計方針に係る補足説明(8/16)

C. 地盤バネの設定について

①基礎一般部の地盤バネ (基礎側面)



記号(ばね色)	設定面	区分	換算載荷幅 (m)	地盤反力係数等	地盤反力上限値 の有無
■RC-1	+	面直	10.7m	道示K _H (下式参照)	有
■RC-2	南北	水平・鉛直 せん断	同上	道示K _{SH} ,K _{SV} (下式参照)	有

抽般バネー警表

道示Kμの算定式(■RC-1)

 $K_{H} = \alpha_{k} K_{H0} \left(\frac{B_{H}}{0.3}\right)^{-\frac{3}{4}}$

KH: 部材面法線方向地盤反力係数(kN/m³) α_k: K_Hの推定に用いる補正係数 (=1.5) K_{Ho}: 直径0.3 m剛体円板の平板載荷試験の値 に相当する水平方向地盤反力係数 (kN/m³)

$$K_{H0} = \frac{1}{0.3} \alpha E_0$$

 α : 地盤反力係数の換算係数 ($\alpha = 1.0$)

Eo: 地盤の変形係数 (kN/m²)

$$E_0 = 2(1 + v_d)G$$

va:動ポアソン比

G:地盤のせん断弾性係数 (kN/m²)

Bu: 換算載荷幅

(上記"地盤バネ一覧表のとおり。)

道示K_{SH}, K_{SV}の算定式(■RC-2)

 $K_{SH} = K_{SV} = 0.3K_H$

Ksu:部材面接線(水平せん断)方向地盤反力係数(kN/m²) Ksy:部材面接線(鉛直せん断)方向地盤反力係数(kN/m²)

地盤の変形係数Eo,地盤のせん断弾性係数G

地盤の変形係数Eo (地盤のせん断弾性係数G) は、地盤 バネの種類に応じて下記のとおり設定する。

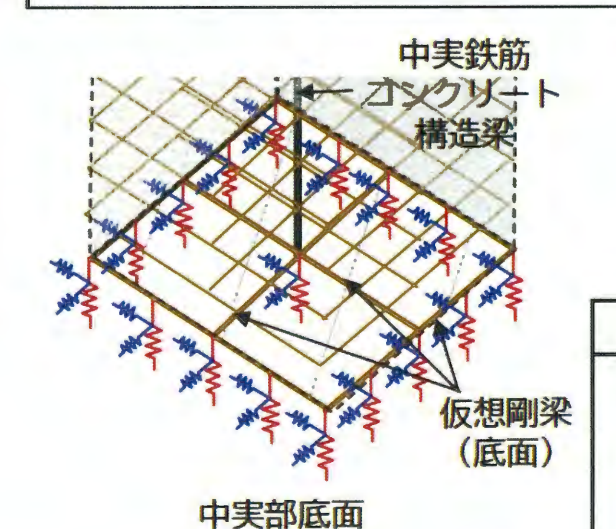
津波時:地盤バネ1は初期せん断弾性係数Gmに基づき設 定、地盤バネ2は静弾性係数Eに基づき設定 (上限値は、地盤バネ1がピーク強度(平均), 地盤バネ2が残留強度 (-1σ) から設定)

重畳時:地盤バネ3~5は、余震時の一次元地盤応答解 析により算出した収束剛性Gに基づき設定 (上限値は、ピーク強度(平均)の余震時の収束 強度(面直 σ_f , せん断 τ_f) から設定)

(1) 耐津波設計方針に係る補足説明 (9/16)

c. 地盤バネの設定について

②中実部底面及び鋼管杭下端の 地盤バネ



鋼管杭 0 1500

地盤バネ一覧表

記号(ばね色)	設定面	区分	換算載荷幅 (m)	地盤反力係数等	地盤反力上限値 の有無
■RCb-1	中実部	面直	10.7	道示K _V (下式参照)	有
■RCb-2	底面	水平・鉛直 せん断	同上	道示K _{SL} ,K _{ST} (下式参照)	有
Pb-1	鋼管杭	面直	1.328 (等価矩形断面幅)	道示K _V (下式参照)	有
■Pb-2	下端	水平・鉛直 せん断	同上	道示K _{SL} ,K _{ST} (下式参照)	有

道示K_Vの算定式(■RCb-1, ■Pb-1)

 $\mathbf{K_{V}} = \mathbf{K_{V0}} \left(\frac{\mathbf{B_{V}}}{\mathbf{0.3}} \right)^{-\frac{3}{4}}$

K_V: 部材底面法線方向地盤反力係数(kN/m³) K_{Vo}: 直径0.3 m剛体円板の平板載荷試験の値 に相当する鉛直方向地盤反力係数(kN/m³)

 $K_{\mathbf{V}\mathbf{0}} = \frac{1}{0.3} \alpha E_{\mathbf{0}}$

 α : 地盤反力係数の換算係数 (α = 1.0)

Eo: 地盤の変形係数 (kN/m²)

 $E_0 = 2(1 + v_d)G$

va:動ポアソン比

G:地盤のせん断弾性係数(kN/m²)

By:換算載荷幅

(上記"地盤バネ一覧表のとおり。)

道示K_{SI}, K_{ST}の算定式(■RCb-2, ■Pb-2)

 $K_{SL} = K_{ST} = 0.3K_H$

K_{SL}:部材底面接線(堤軸せん断)方向地盤反力係数 (kN/m²)

Ksr: 部材面接線(堤軸直交せん断)方向地盤反力係数

 (kN/m^2)

地盤の変形係数Eo, 地盤のせん断弾性係数G

地盤の変形係数E₀(地盤のせん断弾性係数G)は、地盤 バネの種類に応じて下記のとおり設定する。

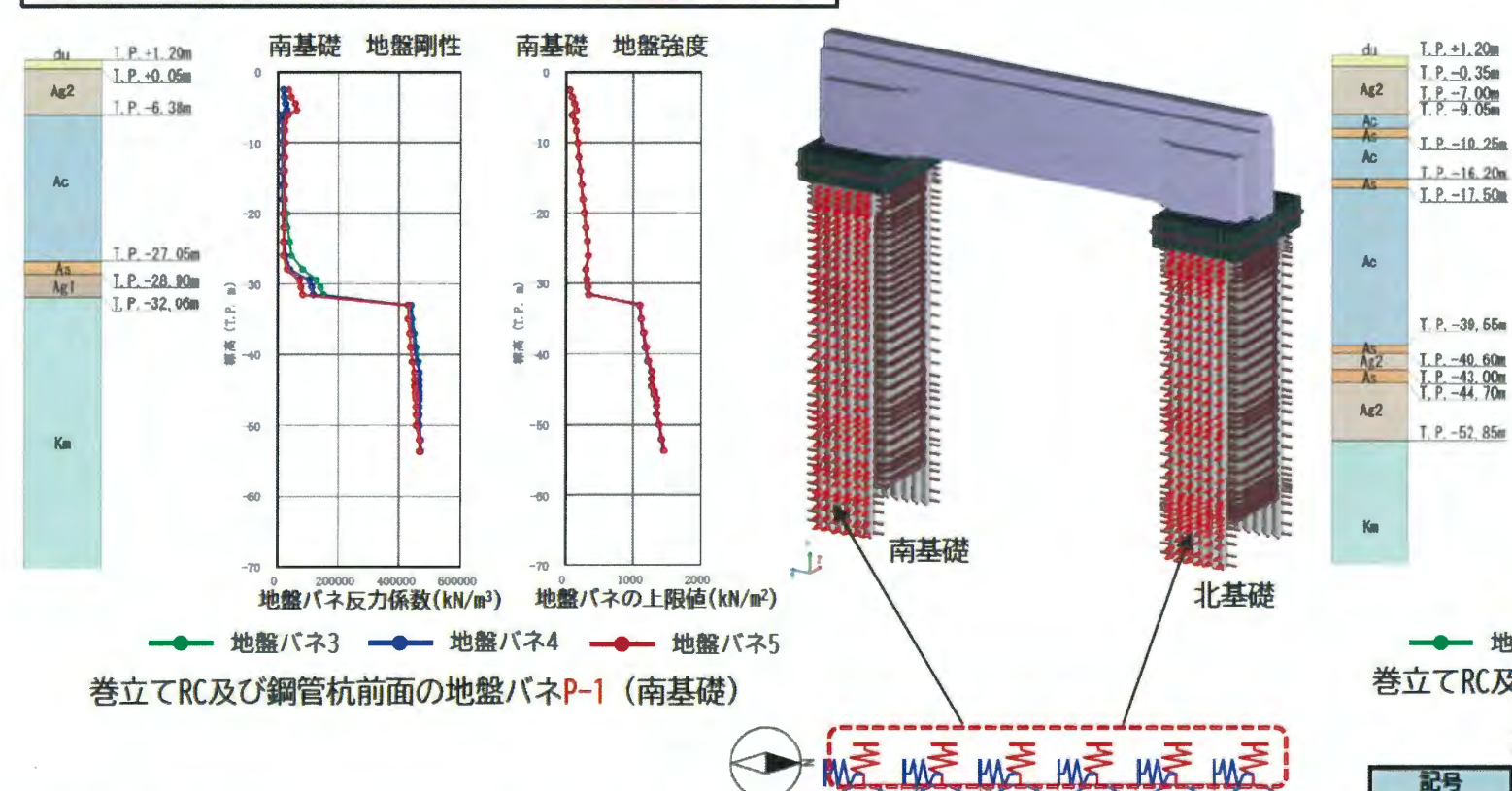
津波時:地盤バネ1は初期せん断弾性係数Gmに基づき設定, 地盤バネ2は静弾性係数Eに基づき設定 (上限値は、地盤バネ1がピーク強度(平均)、地盤バネ2が残留強度(-1σ)から設定)

重畳時: 地盤バネ3~5は、余震時の一次元地盤応答解析により算出した収束剛性Gに基づき設定 (上限値は、ピーク強度(平均)の余震時の収束強度(面直σ_f, せん断τ_f) から設定)

(1) 耐津波設計方針に係る補足説明(10/16)

C. 地盤バネの設定について

地盤バネの設定事例(基礎前面 地盤バネP-1の場合)



地盤パネ反力係数(kN/m³) 地盤パネの上限値(kN/m²) -- 地盤パネ3 -- 地盤パネ4 -- 地盤パネ5 巻立てRC及び鋼管杭前面の地盤パネP-1 (北基礎)

余震との重畳時においては,一次元地盤 応答解析により得られた地盤剛性及び地盤 強度に基づき,三次元フレーム解析におけ る地盤バネ係数及び地盤バネの上限値を設 定した。

基礎前面の地盤バネ一覧表

北基礎 地盤剛性

北基礎 地盤強度

記号 (ばね色)	設定面	区分	
III P-1		面直(外向き)	
≡ K1	東西	面直(内向き)	
■ P-2		水平・鉛直せん断	
■RC÷1		水平・鉛直せん断	
P-3	南北端部のみ	面直	
■ K-2	南北	面直	



(1)耐津波設計方針に係る補足説明(11/16)

c. 地盤バネの設定について

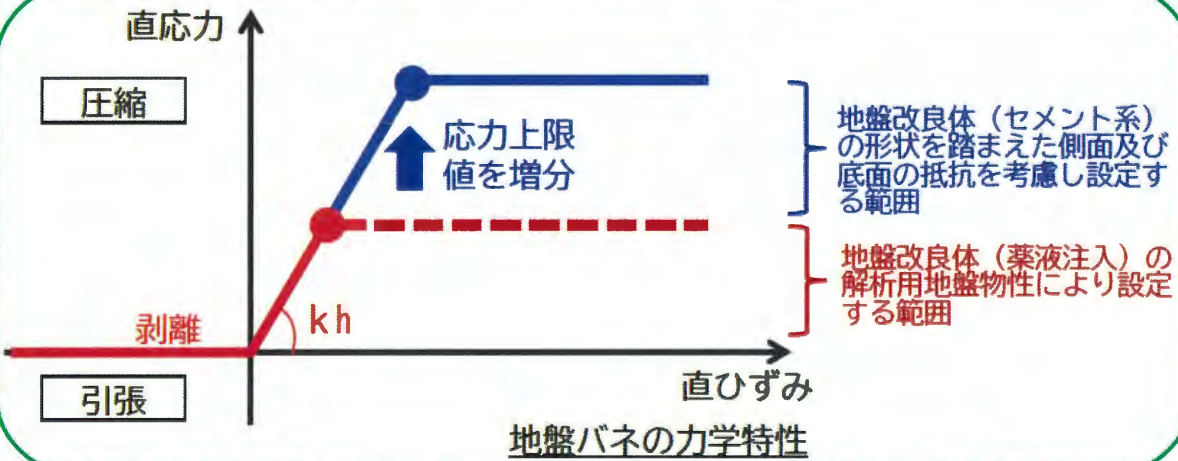
・ 南・北基礎の西側の浅部に地盤改良体(セメント系)を設置する。

地盤改良体 (セメント系) の考慮

地盤改良体(セメント系)と鋼管杭間のバネの設定において,地盤改良体(セメント系)の剛性による地盤反力係数khの増大は見込まずに,地盤バネの地盤反力度の上限値の増分として加算する*。

※地盤改良体(セメント系)の側面と底面に作用する水平方向せん断抵抗力を3次元FEM解析により別途確認 (南基礎の例) 平面叉 断面図 連結バネ 鋼管杭 西側 東側 作用力 地盤改良体抵抗(薬液注入) 地盤改良体(薬液注入) 地盤改良体(セメント系) -www-****** ****** 作用力 受働抵抗 WWW. www 地盤改良体 底面抵抗 -www www. 側面抵抗 直応力 🛧 直応力 🛧 干縮 圧縮



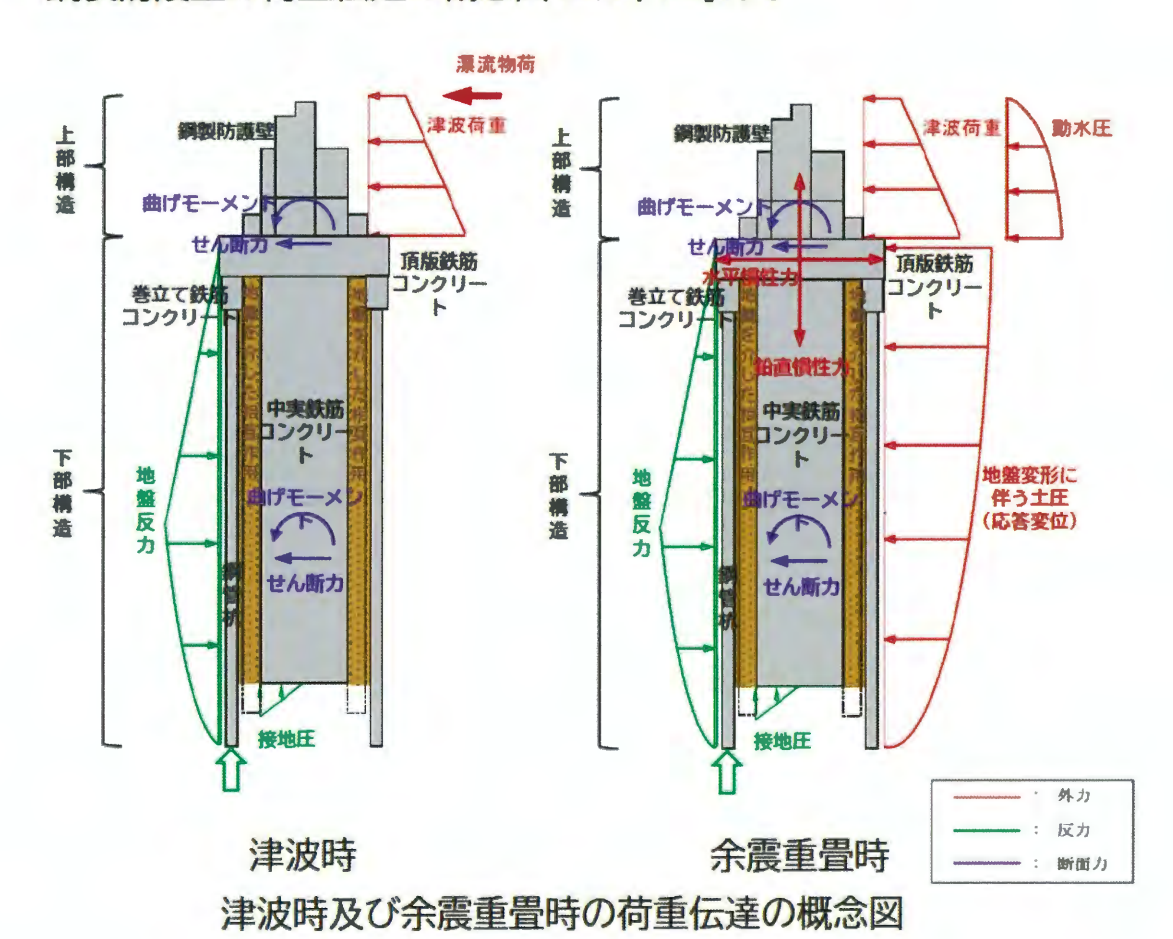




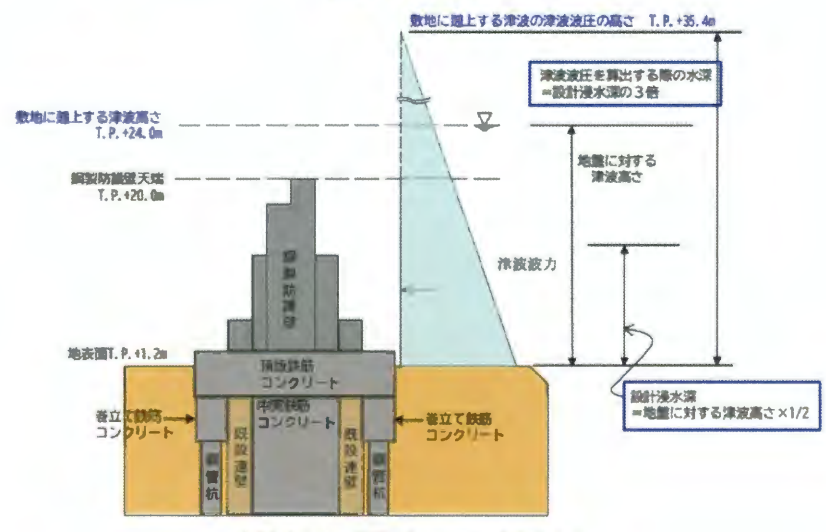
(1) 耐津波設計方針に係る補足説明(12/16)

d. 荷重の入力方法について

鋼製防護壁の荷重伝達の概念図を以下に示す。



基準達治の津油油圧の無さ T. P. +26, 25m 津波波圧を算出する際の水流 =設計湯水深の3倍 自定防護性天體 T. P. +20. 0m 高麗遊游高市 T P +17 G 地貌に対する 建胺波力 津波高さ **始表面T.P. +1.2n** 16版件统 地震 コンクリー 設計導水灌 =抽動に対する遺迹高さ×1/2 中国的历 コンクリート (基準津波) 敷地に強上する滲波の滲波波圧の高さ T.P.+35.4m 遠途渡圧を算出する際の水流



(敷地に遡上する津波) 津波波圧の設定方法

余震荷重(余震時慣性力,動水圧,応答変位)においては、堤軸方向、堤軸直交方向及び鉛直方向(3方向)の組合せ係数法 を適用した。 ⇒組合せ係数法の基本的な考え方を次頁に示す。

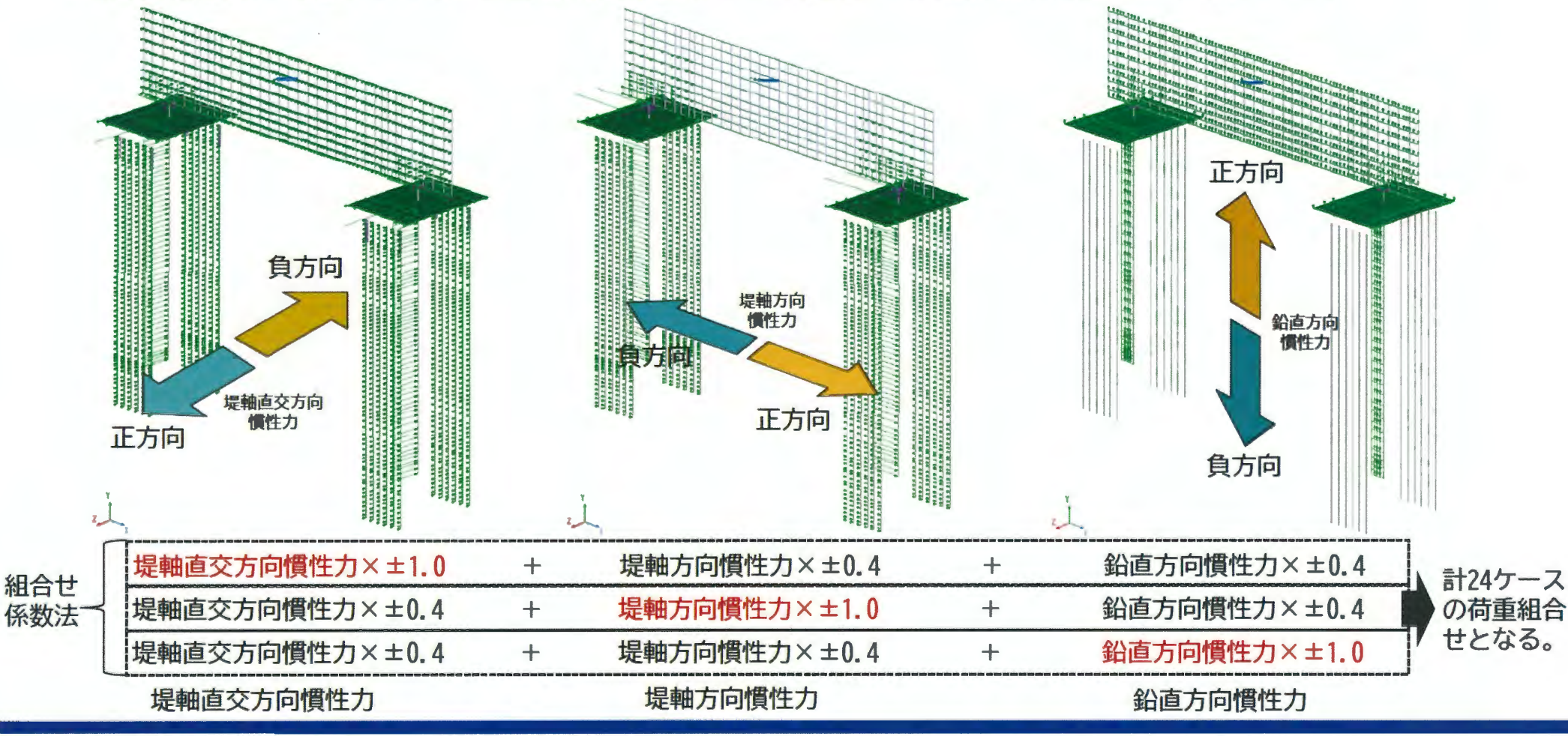


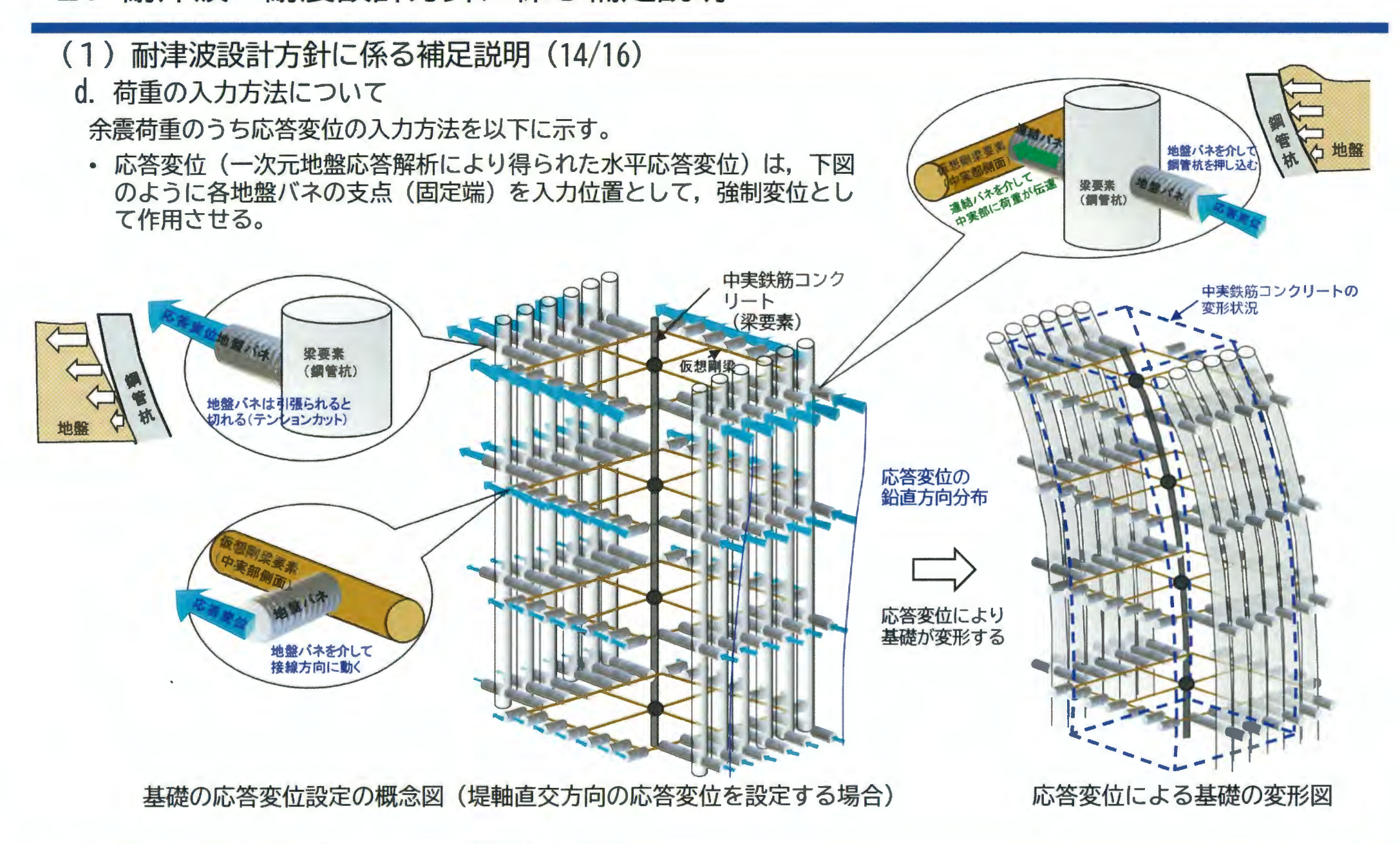
(1) 耐津波設計方針に係る補足説明(13/16)

d. 荷重の入力方法について

余震荷重に対する組合せ係数法の考え方を以下に示す。

- 余震荷重は、一次元地盤応答解析により得られた設計震度や応答変位に基づき設定する。
- 余震荷重の入力方向は、各方向の正負両方向を考慮する。
- ・ 組合せ係数法を考慮するため、3方向の余震荷重のうち1方向が±1.0倍、他の2方向が±0.4倍になる。





(1) 耐津波設計方針に係る補足説明(15/16)

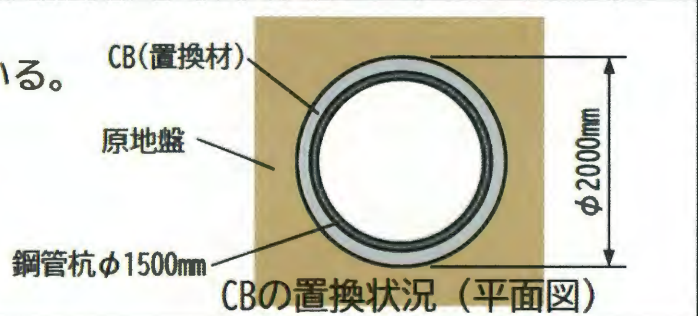
- e. 鋼管杭の先行置換材について
- ◆先行置換材の材料仕様について

先行置換材は、セメントベントナイト (CB) とし、以下の材料仕様を計画している。

· 一軸圧縮強さqu: 500 kN/m²

・せん断強度 τ_f : 250 kN/m² ($\tau_f = q_u/2$ として算定)

·初期せん断弾性係数:339,000 kN/m2(配合試験による試験値)



【耐津波設計におけるモデル化の妥当性について】

- ・耐津波設計モデルでは置換材を原地盤(地盤バネ)としてモデル化している。
- ・耐津波設計モデルにおける原地盤とCBの物性値を以下のとおり比較する。

初期せん断弾性係数およびせん断強度の比較 (各地層で最大となる最深部の値)

北基礎	標高 (T. P.)	層厚 (m)	σ'm (kN/m')	平均有効 拘束圧 σ'ma	基準せん断 弾性係数 (kN/㎡)	C _{CD} (kN/m³)	Фсо	初期せん断 弾性係数 (kN/㎡)	せん断強度 て _f (kN/m)
Ag2	-7. 00	3.00	57.1	497.0	278087.0	0.0	37.4	94289	34.7
Ac	-39.55	4. 05	164. 1	480.0	121829.0	25.0	29.1	63766	101.7
As	-44. 70	1.70	229. 1	378.0	143284.0	12.0	41.0	110176	159.4
Ag1	-52. 85	2.15	253. 5	814.0	392073.0	0.0	37.4	218792	154.0

CBの初期せん断弾性係 数及びせん断強度は、 原地盤よりも大きく、 CBの残置が鋼管杭と原 地盤の応力伝達に影響 を与えるものではない ことを確認した。

- ※各物性値が相対的に大きい北基礎の算定結果を掲載する。
- ※耐震設計においては置換材を原地盤(マルチスプリング要素)としてモデル化しているが、 耐津波設計と同様、CBの各物性値は原地盤よりも大きいことを確認している。



(1) 耐津波設計方針に係る補足説明(16/16)

e. 鋼管杭の先行置換材について

前述した材料仕様を満足するためのCBの品質管理方針を以下に示す。

◆先行置換材 (CB) の品質管理について

CBの一軸圧縮強さ(現場必要強度)は, $q_u=500~kN/m^2$ であり,本強度を確保するため,施工計画上の室内目標強度は現場必要強度に対して安全率 $\alpha=2.0$ を考慮した値として $500\times\alpha=1,000~kN/m^2$ とする。

CBは「JIS A 1216」に定める土の一軸圧縮試験方法に基づき、3本の供試体により一軸圧縮強さを確認する。

一軸圧縮強さの評価方法については「JIS A 1216」に定めされていないことから,国土交通省の品質管理基準で定めているコンクリートの圧縮強度の評価と同様とし,各供試体で室内目標強度の85%以上かつ3本の供試体の平均が室内目標強度以上であることを確認する。

「JIS A 1216」土の一軸圧縮試験方法による圧縮強度の確認





国土交通省の品質管理基準による 圧縮強度の評価

各供試体で室内目標強度の85%以上 かつ3本の供試体の平均が室内目標強 度以上であることを確認する。

(2) 耐震設計方針に係る補足説明(1/7)

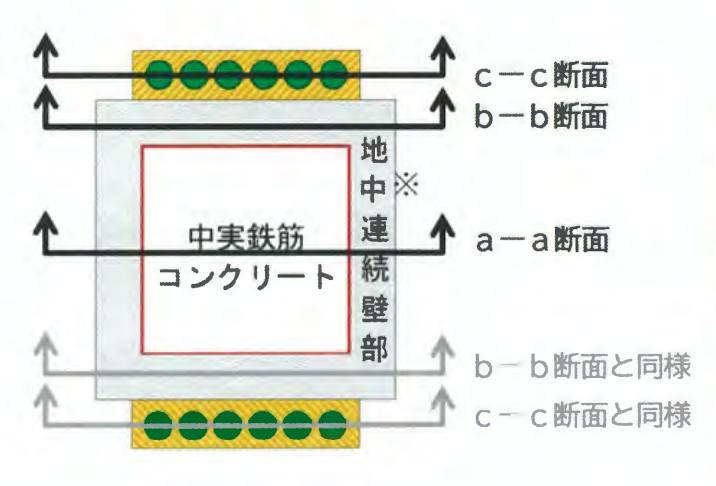
a. 構造物のモデル化について (汀線平行(a)-(a)断面)

【解析モデルの概要】

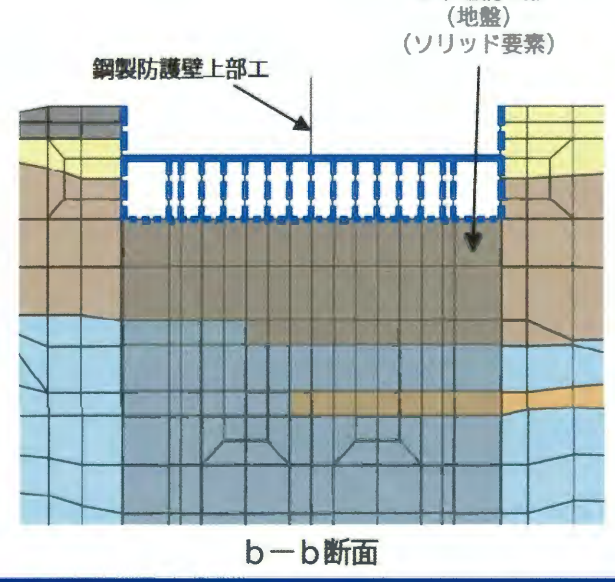
防潮堤(鋼製防護壁)の耐震評価においては, 2次元FEMにより周辺地盤を精緻にモデル化した上で, 液状化検討対象層の有効応力の低下を考慮した地震応答解析を実施する。

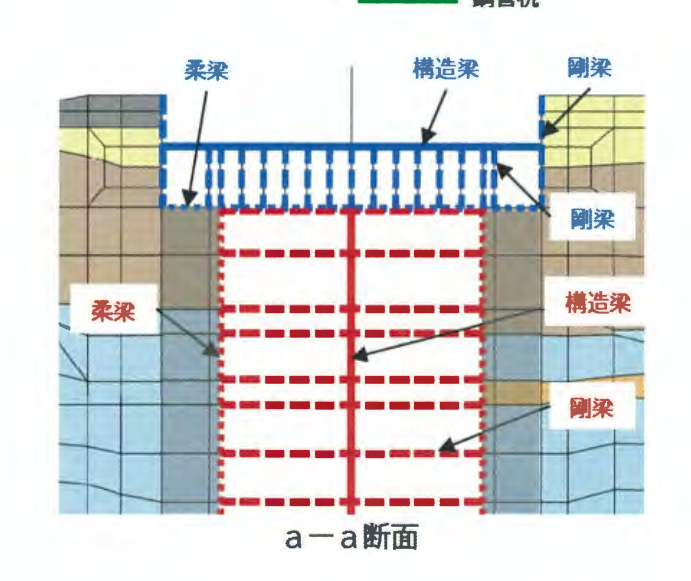
一方、構造変更により追加された鋼管杭は、頂版鉄筋コンクリートに剛結 されることで中実鉄筋コンクリートと一体で外力に抵抗する支持形式であり、 耐震評価においては、a~c断面の相互作用を適切に考慮した上で基礎の照査 を実施する必要がある。

以上を踏まえ、防潮堤(鋼製防護壁)の耐震評価においては奥行き方向に 連続する複数断面を重ね合わせた解析モデルを採用している。以下にモデル 図を示す。



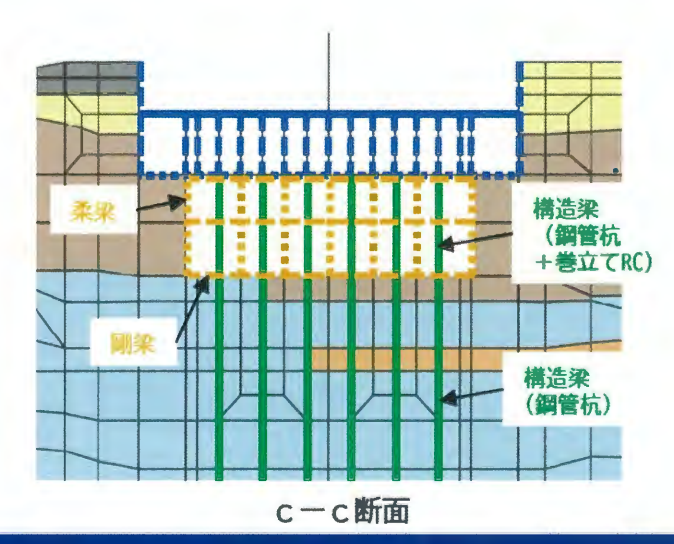
各解析断面位置 (汀線平行)





中実鉄筋コンクリート

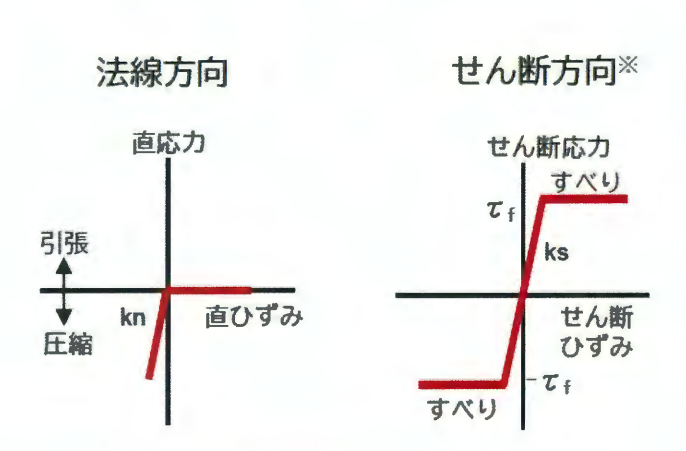
巻立て鉄筋コンクリート



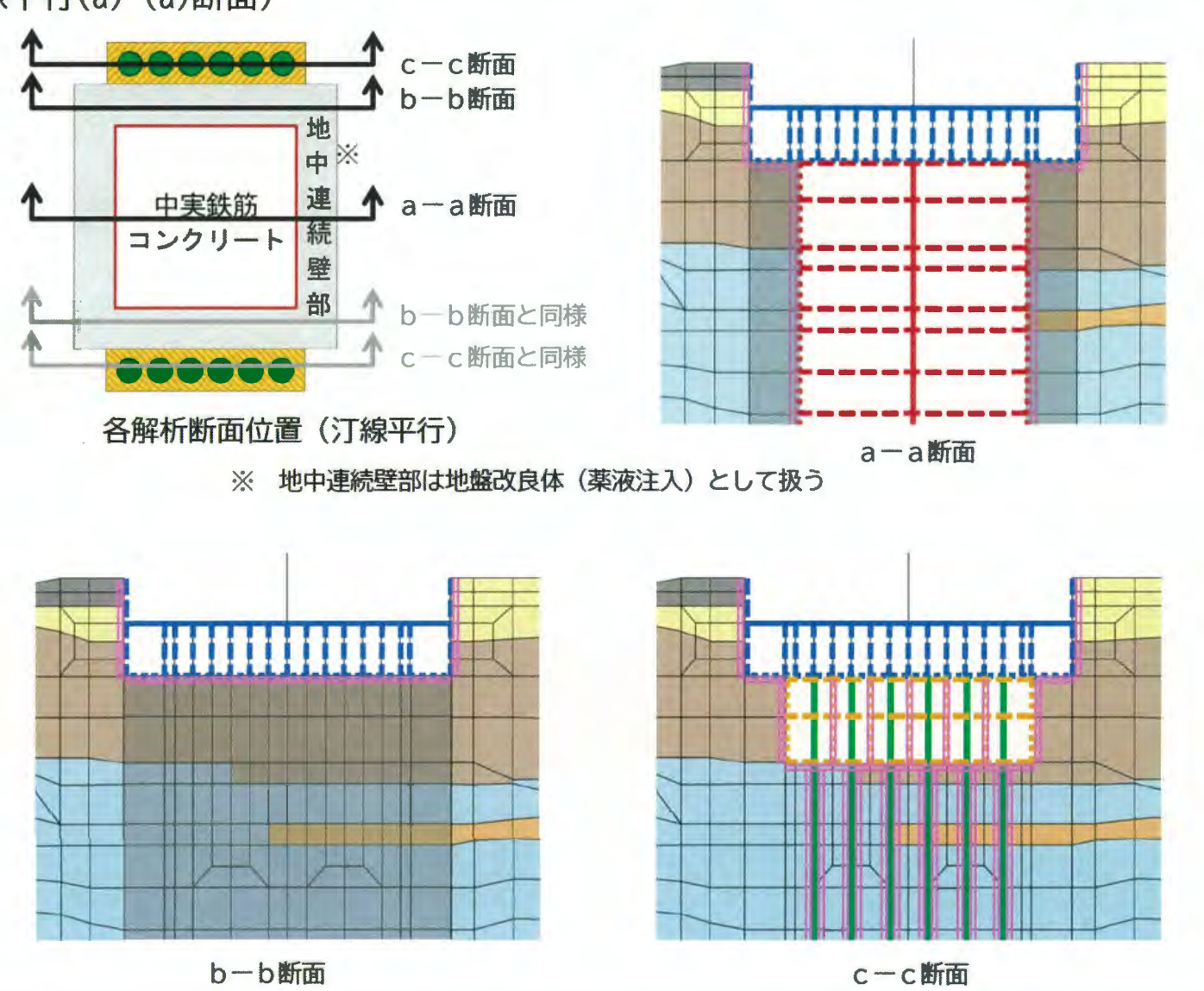
(2) 耐震設計方針に係る補足説明(2/7)

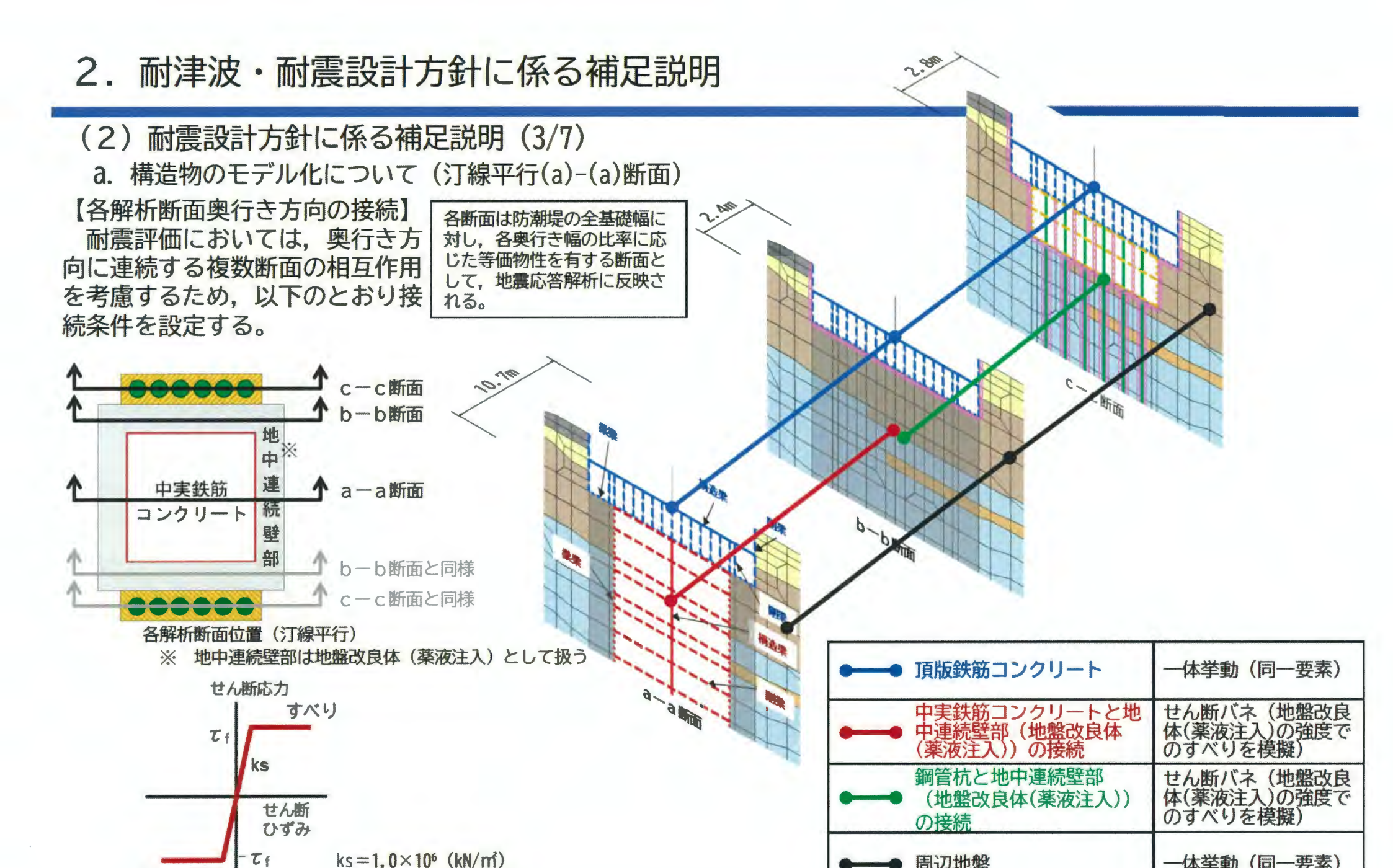
ジョイント要素 a. 構造物のモデル化について (汀線平行(a)-(a)断面)

【各解析断面内における境界条件】 有効応力解析においては、 地盤と 構造物の接合面にジョイント要素を 設けることで,接合面における剥離 及びすべりを考慮する設計方針であ る。



※せん断方向の応力上限値は、 ジョイント要素の面直応力 (有効応力)と原地盤の強度 特性により、解析上自動的に 決定する。





周辺地盤

すべり

Tf:地盤のせん断強度

一体举動(同一要素)

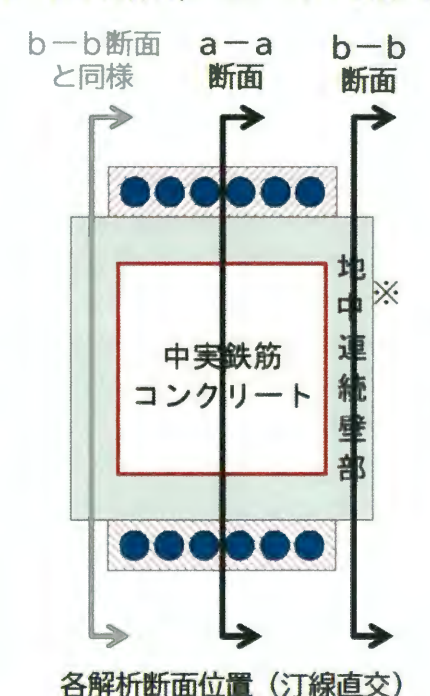
(2) 耐震設計方針に係る補足説明(4/7)

a. 構造物のモデル化について (汀線直交(b)-(b)断面, (c)-(c)断面)

【解析モデルの概要】

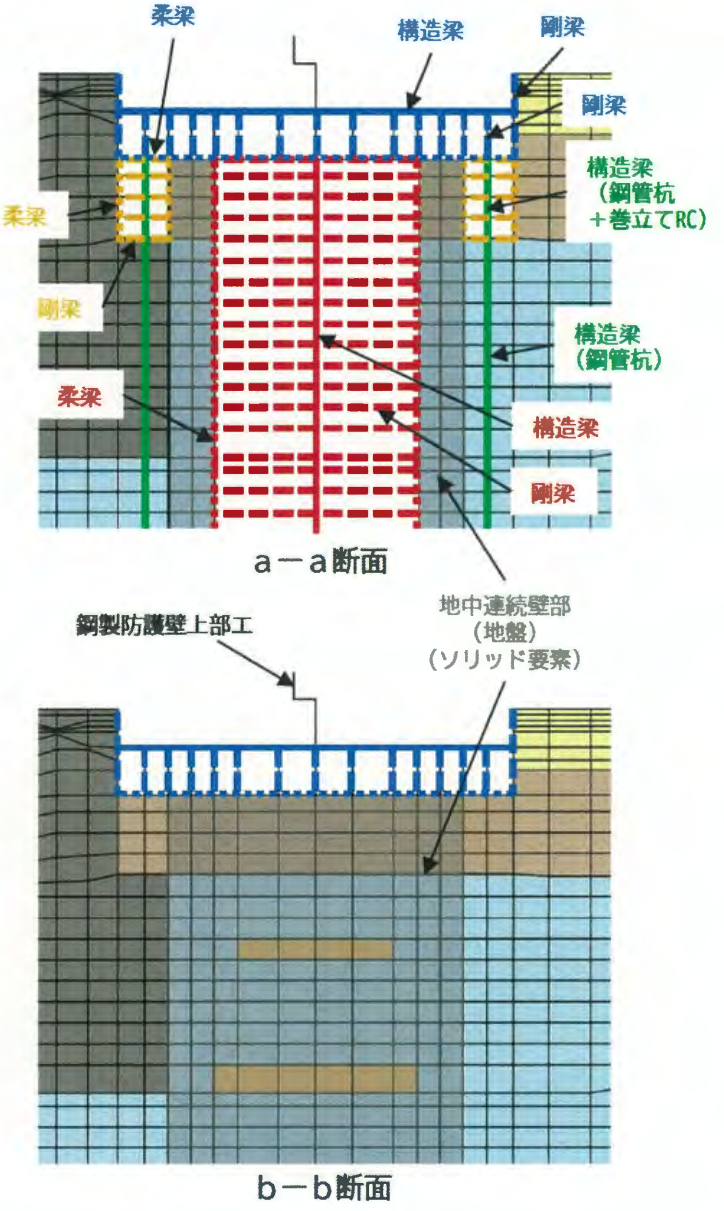
防潮堤(鋼製防護壁)の耐震評価においては、2次元FEMにより周辺地盤を精緻にモデル化した上で、液状化検討対象層の有効応力の低下を考慮した地震応答解析を実施する。

汀線直交の(b)-(b)断面,(c)-(c)断面においては、前述した汀線平行の(a)-(a)断面と同様、右図に示すa~b断面の相互作用を適切に考慮するため、奥行き方向に連続する複数断面を重ね合わせた解析モデルを採用する。



※ 地中連続壁部は地盤改良体(薬液注入)として扱う



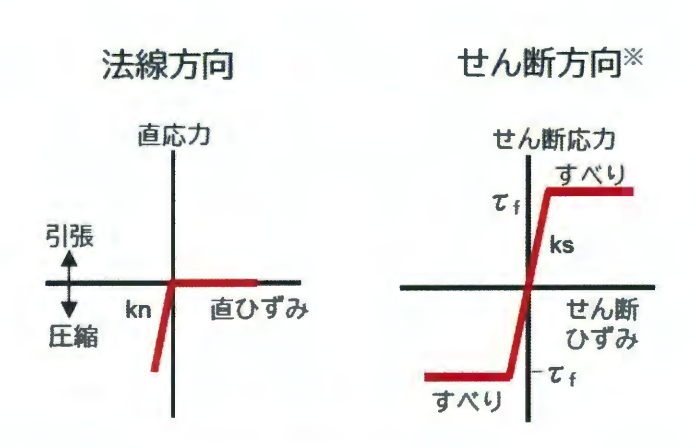


(2) 耐震設計方針に係る補足説明(5/7)

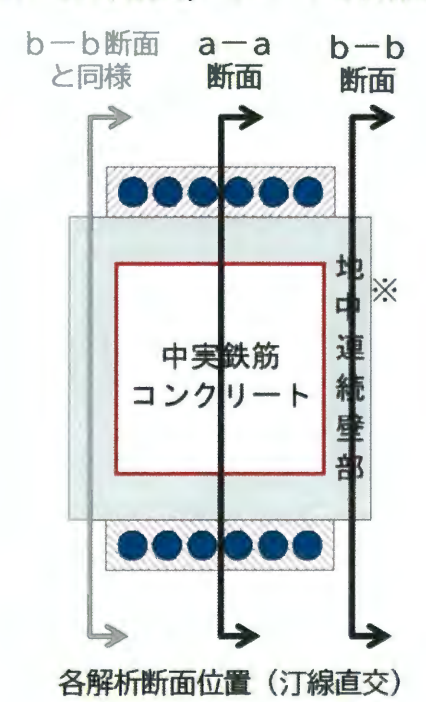
a. 構造物のモデル化について (汀線直交(b)-(b)断面, (c)-(c)断面)

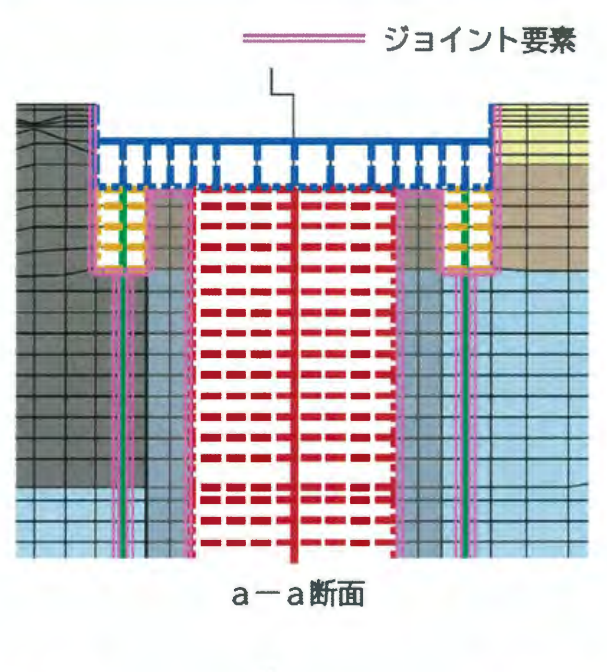
【各解析断面内における境界条件】

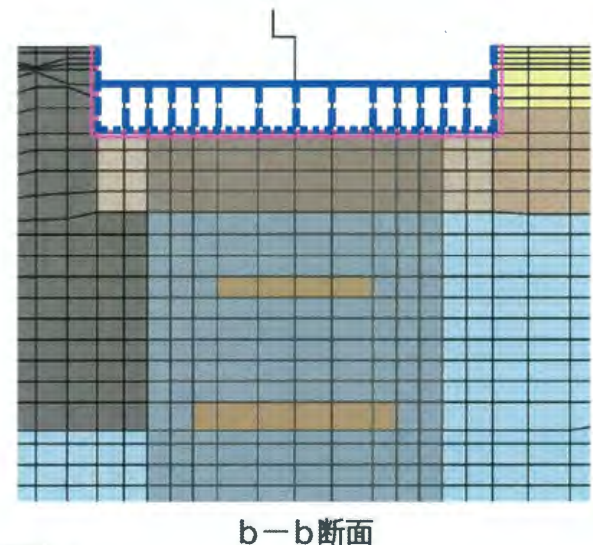
有効応力解析においては、地盤と構造物 の接合面にジョイント要素を設けることで、 接合面における剥離及びすべりを考慮する 設計方針である。



※せん断方向の応力上限値は、 ジョイント要素の面直応力 (有効応力)と原地盤の強度 特性により、解析上自動的に 決定する。







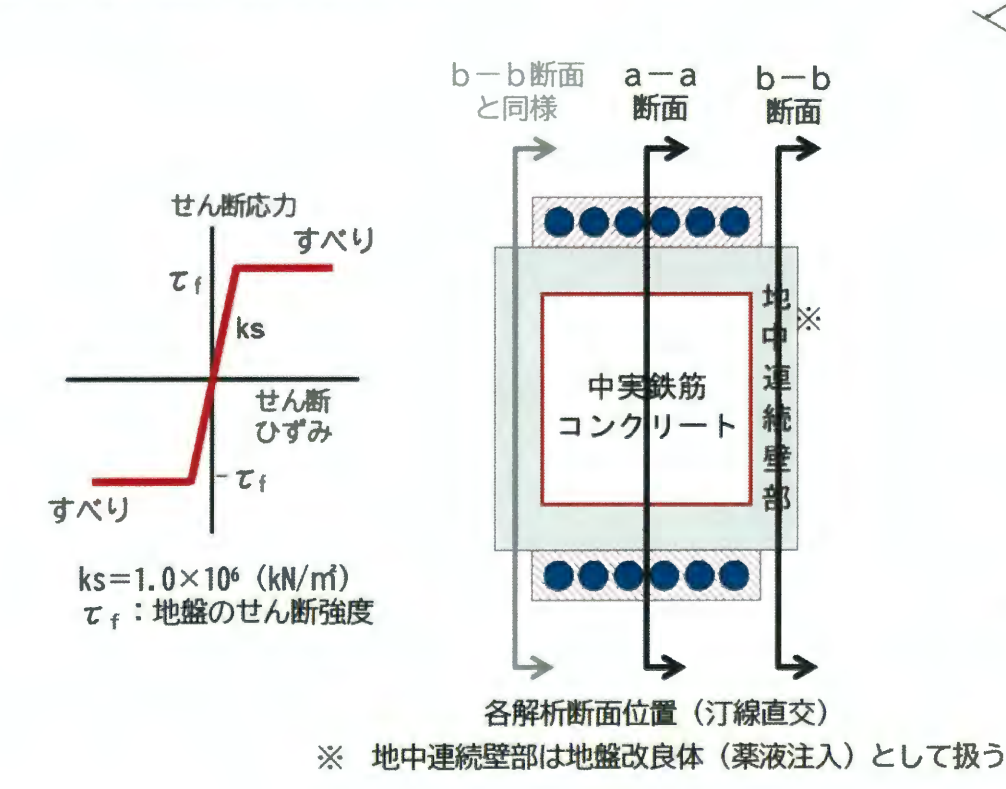
※ 地中連続壁部は地盤改良体(薬液注入)として扱う

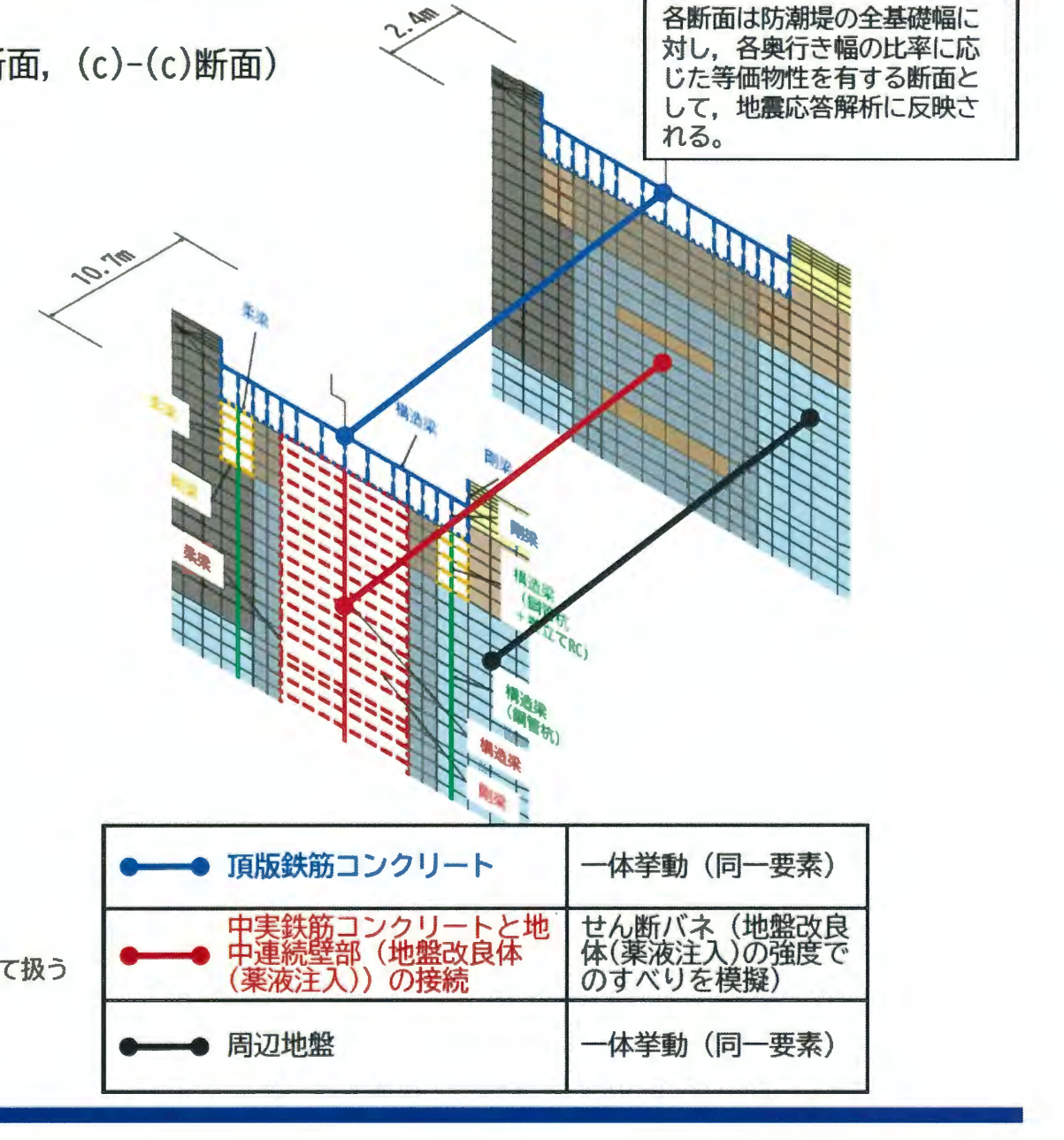


(2) 耐震設計方針に係る補足説明(6/7) a. 構造物のモデル化について(汀線直交(b)-(b)断面, (c)-(c)断面)

【各解析断面奥行き方向の接続】

耐震評価においては, 奥行き方向に連続する 複数断面の相互作用を考慮するため, 以下のと おり接続条件を設定する。





(2) 耐震設計方針に係る補足説明(7/7)

b. 地盤改良体のモデル化について (汀線直交(b)-(b)断面, (c)-(c)断面)

構造変更により周辺地盤に設置される改良地盤については、二次元断面にてその改良範囲を精緻に反映することとするが、海側の貯留堰取付護岸のために実施した既設の地盤改良(セメント系)については、改良範囲が不整形であることから、以下のように取扱う。

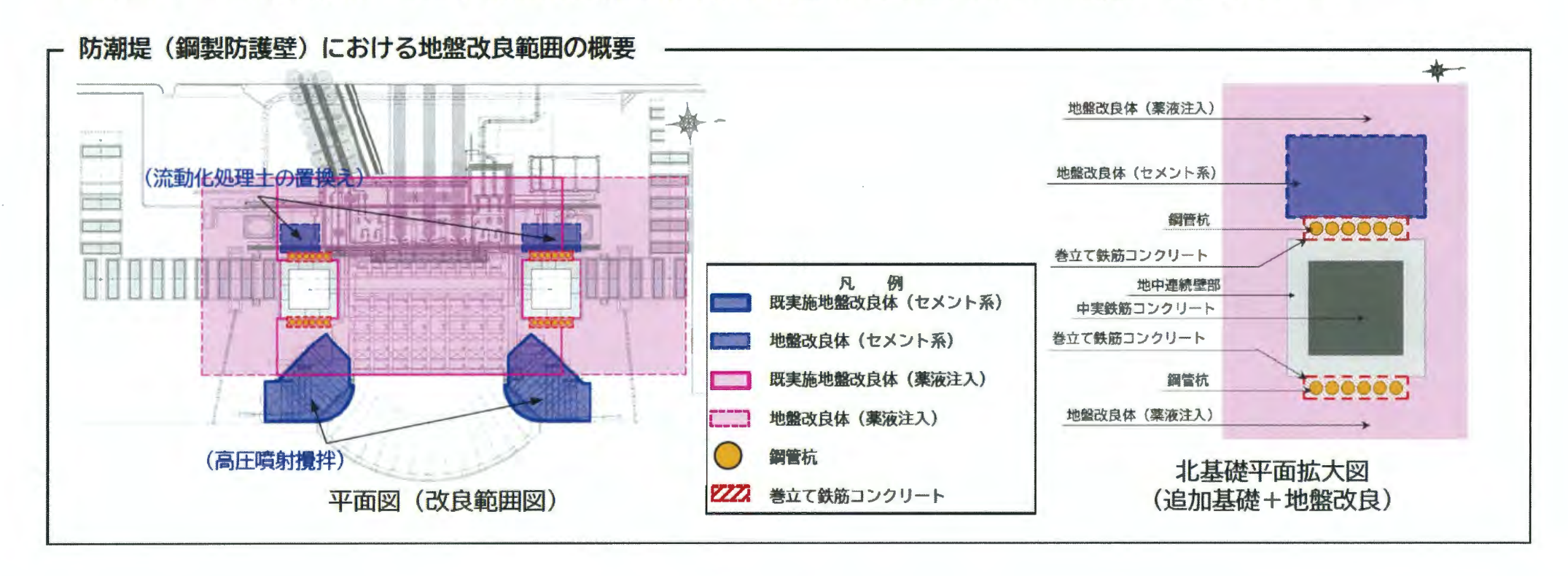
※奥行き幅を考慮し て密度・剛性を低減 護岸部の改良地線 モデル化する改良地盤の形状は、保守的に南北それぞれの基礎幅(解 析モデル奥行き=頂版鉄筋コンクリート幅15.5m)の改良地盤の幅が確保 できる範囲として設定する。 【解析モデル】 ((b)-(b)断面) 護岸部の改良地盤 凡 例 既実施改良地盤(セメント系) 改良地翳(セメント系) 既実施改良地盤(薬液注入) 改良地縣 (塞濟注入) 巻立て鉄筋コンクリート 【解析モデル】 ((c)-(c)断面)

(3)解析用物性値に係る補足説明(1/12)

a. 地盤改良体の概要について

防潮堤(鋼製防護壁)の構造変更においては、基礎の東西側に鋼管杭(巻立て鉄筋コンクリート含む)を追加するとともに、周囲に地盤改良体(セメント系)及び地盤改良体(薬液注入)を敷設することで、基礎の剛性及び耐力を高める計画である。

防潮堤(鋼製防護壁)の耐震及び耐津波評価では、上記2つの地盤改良体と鋼管杭及び中実鉄筋コンクリートの相互作用を考慮した上で、各構造部材の照査を実施していることから、防潮堤(鋼製防護壁)の成立性を確認するためには、その前提条件である各地盤改良体の解析用物性値の妥当性をあわせて確認する必要がある。



(3)解析用物性値に係る補足説明(2/12)

b. 地盤改良体(セメント系)の解析用物性値の妥当性

地盤改良体(セメント系)の解析用物性値は、**敷地を代表する統一的な物性値として、既工認にて既に設定**されており、平成30年10 月18日付け原規規発第1810181号にて認可された工事計画の添付書類「V-2-1-3 地盤の支持性能に係る基本方針」に記載されている。 その物性値と設定根拠は以下のとおりである。

・地盤改良体(ヤメント系)の解析用物性値

	項目	地盤改良体(セメント系)	設定根拠
持物 生理	密度 $ ho_{1}(g/cm^{3})$	改良対象の原地盤の平均密度×1.1	既設改良体のコアによる密度試験に基づき係数 (×1.1) を 設定
変形時生	静弾性係数 (N/mm²)	581	既設改良体を模擬した再構成試料による一軸圧縮試験に基 づき設定
11b) 843	初期せん断 剛性 G ₀ (N/mm²)	G ₀ = ρ _t / 1000 × Vs ² Vs = 147.6 × q ₀ 0.417 (m/s) q _u :設計用一軸圧結強さ (kgf/cm ²)	文献 ^(※1) より「一軸圧縮強さq _u ~せん断波速度Vs」の関係式 を引用し設定
変	動ポアソン比 レ _d	0. 431	既設改良体のPS検層に基づき設定
形特	動せん断弾性係数 のひずみ依存性 G/G ₀ ~ γ	$G/G_0 = \frac{1}{1 + \gamma / 0.000537}$	既設改良体を模擬した再構成試料による動的変形試験に基づき、H-Dモデルにて設定
性	減衰定数 h~γ	$h = 0. 152 \frac{\gamma / 0.000537}{1 + \gamma / 0.000537}$	既設改良体を模擬した再構成試料による動的変形試験に基づき、H-Dモデルにて設定
	ピーク強度 C (N/m²)	C=q _u / 2 q _u :設計用—軸圧縮強さ (N/mm²)	一軸圧縮強さquと粘着力Cの関係に基づき設定
強度特性	残留強度 て ₀ (N/mm²)	粘着力 C=0 (N/mm²) 内部摩擦角 φ=29.1 (度)	地盤改良体(セメント改良)を砕いて細粒化した試料を用いた三軸圧縮試験により求められた残留強度(文献(**2)に損戦)よりも十分に小さい値として,敷地の原地盤のうちAc層の内部摩擦角を採用
	引張強度 σ _t (N/mm²)	$q_u = \frac{s_t \cdot qu}{\sqrt{s_t \cdot (q_u - 3 \cdot st)}}$ $S_t(=\sigma_t) : 地盤改良体の引張強度(N/mm²)$ $q_u : 設計用一軸圧縮強さ(N/mm²)$	文献 ^(※2) に掲載の算定式に基づいて設定

既設改良体(敷地に分布する原地盤の地盤改良体) の室内試験結果により設定されており、妥当な物性 値であると判断する。

→設定根拠となる試験結果を「参考資料」に示す。

文献情報に基づき設定

→設定根拠となる文献情報を「参考資料」に示す。

既設改良体(敷地に分布する原地盤の地盤改良体) の原位置試験及び室内試験の結果により設定されて おり、妥当な物性値であると判断する。

➡設定根拠となる試験結果を「参考資料」に示す。

文献情報または理論式に基づき設定

➡設定根拠となる文献情報を「参考資料」に示す。

注記)※1 地盤工学への物理探査技術の適用と事例(地盤工学会,2001),わかりやすい土木技術ジェットグラウト工法(鹿島出版社 柴崎ら,1983) ※2 改訂版 建築物のための改良地盤の設計及び品質管理指針-セメント系固化材を用いた深層・浅層混合処理工法-((財)日本建築センター)



(3)解析用物性値に係る補足説明(3/12)

b. 地盤改良体(セメント系)の解析用物性値の妥当性

前頁に示す地盤改良体(セメント系)の解析用物性値の設定根拠と、以下に示す地盤改良体(セメント系)の各解析用物性値における設計上の役割を踏まえ、追加試験により妥当性を確認する物性値を決定した。

・地盤改良体(セメント系)の解析用物性値

: 文献情報または理論式に基づき設定されている物性値

	項目	地盤改良体(セメント系)	設定根拠
物理	を度 ρ _t (g/cm³)	改良対象の原地盤の平均密度×1.1	既設改良体のコアによる密度試験に基づき係数 (×1.1) を 設定
静的	静弹性係数 (N/mm²)	581	既設改良体を模擬した再構成試料による一軸圧縮試験に基 づき設定
b	初期せん断 剛性 G ₀ (N/mm²)	G ₀ = ρ _t / 1000 × Ys ² Vs = 147.6 × q _u ^{0.417} (m/s) q _u :設計用一軸圧縮強さ (kgf/cm ²)	文献 ^(※1) より「一軸圧縮強さq _u ~せん断波速度Vs」の関係式を引用し設定
的能	動ポアソン比 v _d	0. 431	既設改良体のPS検層に基づき設定
*	動せん断弾性係数 のひずみ依存性 G/G ₀ ~γ	$G/G_0 = \frac{1}{1 + \gamma / 0.000537}$	既設改良体を模擬した再構成試料による動的変形試験に基づき、H-Dモデルにて設定
Ė	減衰定数 h~γ	$h = 0.152 \frac{\gamma/0.000537}{1 + \gamma/0.000537}$	既設改良体を模擬した再構成試料による動的変形試験に基づき、H-Dモデルにて設定
	ピーク強度 C (N/mm²)	C=q _u / 2 q _u :設計用 一軸圧縮強さ(N/mm²)	一軸圧縮強さq」と粘着力Cの関係に基づき設定
- Total Marie Control	残留強度 ェ ₀ (N/mm²)	粘着力 (=0 (N/m²) 内部摩擦角 φ=29.1 (度)	地盤改良体(セメント改良)を砕いて細粒化した試料を用いた三軸圧縮試験により求められた残留強度(文献(※2)に掲載)よりも十分に小さい値として、敷地の原地盤のうちAc層の内部摩擦角を採用
E	弓 沢強度 の _t (N/mm²)	$q_u = \frac{s_t \cdot qu}{\sqrt{s_t \cdot (q_u - 3 \cdot s_t)}}$ $S_t(=\sigma_t) : 地盤改良体の引張強度(N/mm²)$ $q_u : 設計用一軸圧縮強さ(N/mm²)$	文献 ^(※2) に掲載の算定式に基づいて設定

地盤の慣性力や常時応力に影響するパラメータであり、基礎の照査値に与える影響が軽微な物性値

地震時における基礎周辺地盤の剛性や, 津波時 (重畳時)における地盤バネのバネ剛性に影響 する物性値であり, 基礎と地盤改良体の相互作 用への影響が比較的大きい。

本物性値のうち、文献情報または理論式に基づき設定されている「初期せん断剛性 G₀」と「ピーク強度 C」について、追加試験を実施し、物性値の妥当性を確認した。

地盤改良体の安定性照査に使用するパラメータであり、基礎の照査値に与える影響が軽微な物性値

注記)※1 地盤工学への物理探査技術の適用と事例(地盤工学会, 2001), わかりやすい土木技術 ジェットグラウト工法 (鹿島出版社 柴崎ら, 1983)

※2 改訂版 建築物のための改良地盤の設計及び品質管理指針-セメント系固化材を用いた深層・浅層混合処理工法-((財)日本建築センター)



(3)解析用物性値に係る補足説明(4/12)

b. 地盤改良体(セメント系)の解析用物性値の妥当性

地盤改良体(セメント系)の解析用物性値のうち。初期せん断剛性 G。及びピーク強度Cの妥当性を確認するため、以下のとおり、追加試験 を実施した。

試験は、右図に示す「地盤改良体(セメント系)の設計仕様」に従 い、既設/新設の地盤改良体毎に、初期せん断剛性G。についてはせん 断波速度Vsを、ピーク強度Cについては一軸圧縮強さq_nを測定すること で、物性値の妥当性を確認した。

以下に、各物性値の測定方法を示す。

①既設の地盤改良体 (セメント系)

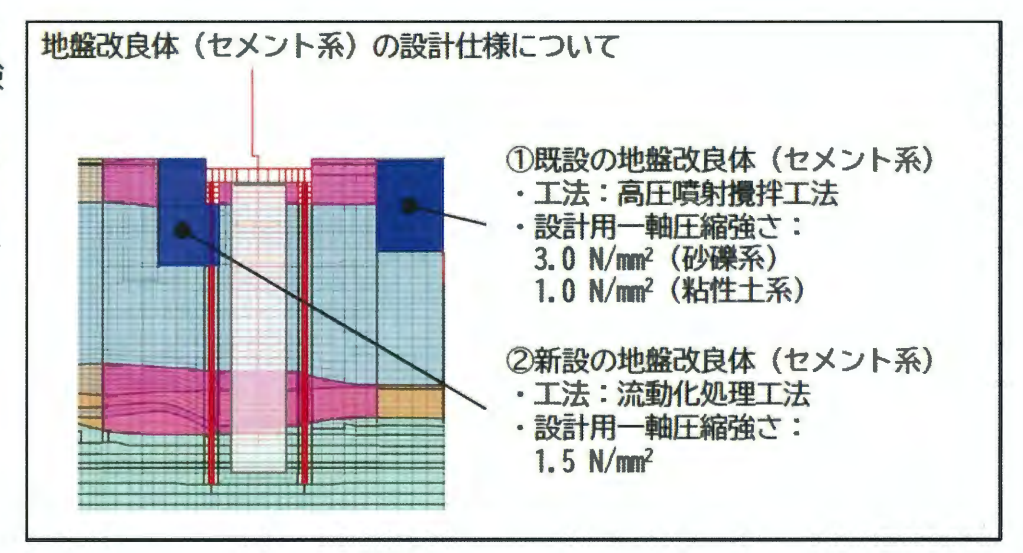
せん断波速度Vs: PS検層(実施位置を下図に示す。)

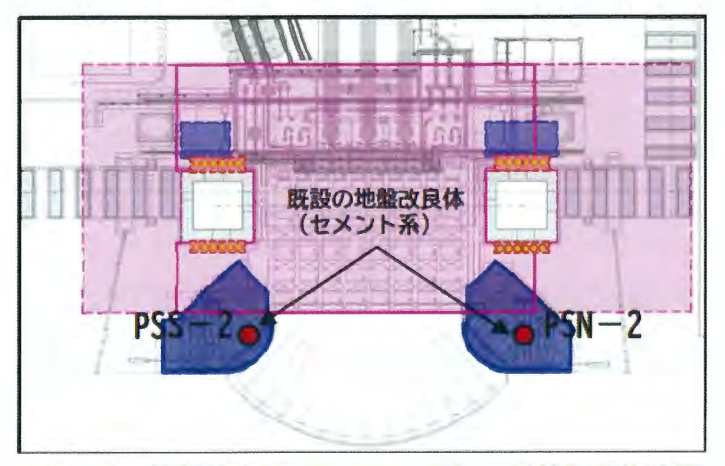
一軸圧縮強さq..:一軸圧縮試験(PS検層実施位置近傍のコア試料)

②新設の地盤改良体(セメント系)

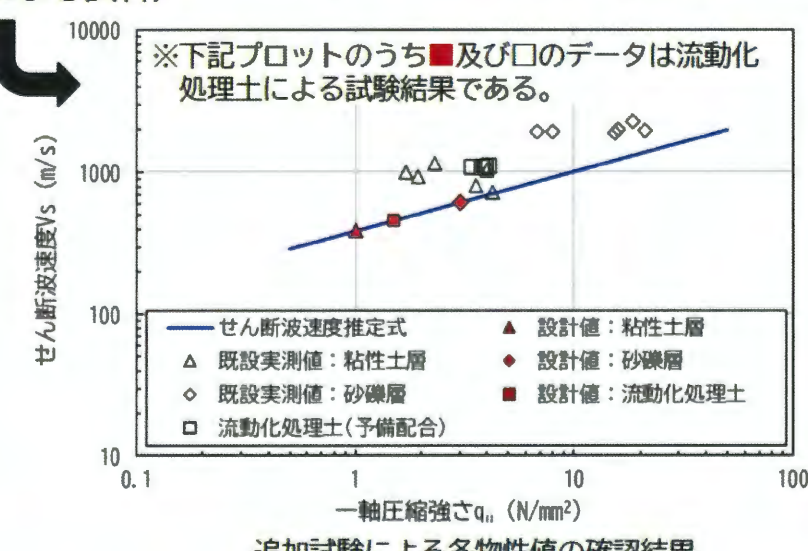
せん断波速度Vs:超音波速度測定(予備配合試験による試料)

一軸圧縮強さq..: 一軸圧縮試験(予備配合試験による試料)





①既設の地盤改良体(セメント系)のPS検層実施位置



追加試験による各物性値の確認結果

地盤改良体(セメント系) のせん断波速度Vs及び一軸圧 縮強さq。の試験結果は、改良 工法(高圧噴射攪拌工法,流 動化処理工法) によらず設計 値を包絡して高い値を示すこ とを確認した。

以上より、各設計値は、剛 性・強度をより保守的に評価 できていることから、解析用 物性値として妥当であると判 断する。

(3)解析用物性値に係る補足説明(5/12)

c. 地盤改良体(薬液注入)の解析用物性値の妥当性

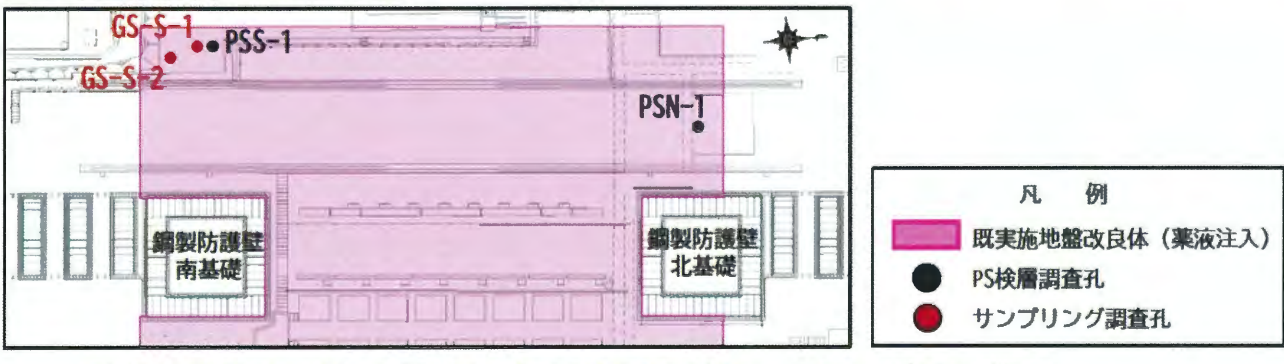
地盤改良(薬液注入)は、地下水位以深の砂・礫質土地盤の液状化対策であり、地盤の間隙に薬液を浸透注入して間隙水を薬液に置換させることにより液状化しにくい地盤を形成する工法である。同工法は、砂・礫質土の力学的特性に大きく影響する土粒子の骨格構造を崩さないこと、間隙に注入した薬液により粘着力が付加されても、改良後の地盤の動的変形特性や静的せん断特性は改良前と同等となるとされている。よって、地盤改良体(薬液注入)の解析用物性値は、既工認における設計方針と同様、非液状化層とし、改良前の原地盤の解析用物性値を用いる設計方針とする。

解析用物性値のうち、耐震・耐津波評価の解析結果への影響が大きいと考えられる初期せん断剛性G₀とピーク強度について、既設の 地盤改良体(薬液注入)を対象に原位置試験及び室内試験を実施し、改良前の原地盤の解析用物性値と比較した結果について説明する。 試験は、初期せん断剛性G₀についてはせん断波速度Vsを、ピーク強度については強度定数c、 φを確認した。 既設の地盤改良体(薬液注入)のPS検層及びサンプリング実施箇所、試験及び検討対象土層について以下に示す。

- ①既設の地盤改良体(薬液注入): PS検層用調査孔(北側と南側の計2箇所), サンプリング調査孔(2箇所)*1
- ②試験及び検討対象土層

試験	対象土層	備考
PS検層:せん断波速度Vs	Ag2層, As層, Ag1層	・ $G_0 = \rho V s^2$ の関係より初期せん断剛性 G_0 を設定
三軸圧縮試験(CUB条件) ^{※2} :強度定数c, φ	Ag2層	・薬液注入による改良地盤(Ag2層,As層,Ag1層)のうち,浅部における分布範囲が最も広く, 地盤バネによる受動抵抗への寄与度が最も大きいと考えられるAg2層を試験対象土層とした。

- ※1 PS検層を先行し、調査孔間の最小離隔(1.0m以上)を維持し、サンプリングを実施。
- ※2 地盤改良体(薬液注入)は透水性が小さいためにせん断中に間隙水圧を計測する圧密非排水条件(CUB条件)での試験結果を有効応力で整理することで,透水性が大きい原地盤の圧密排水条件(CD条件)での内部摩擦角**φ**との比較を実施。



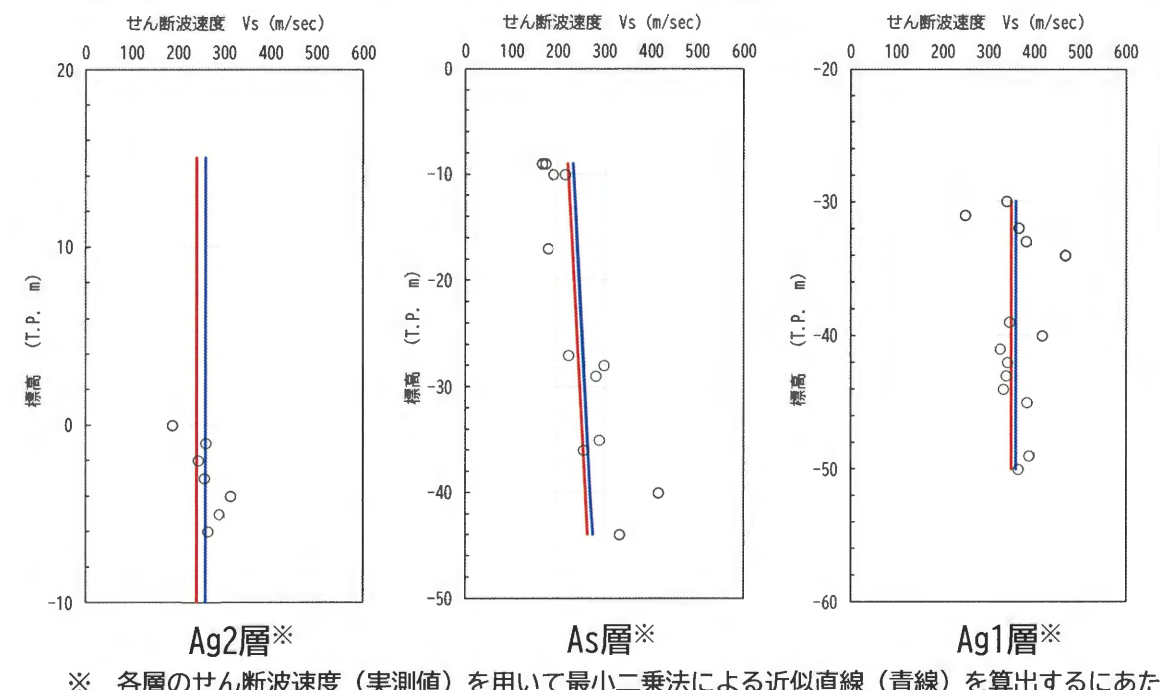
既設の地盤改良体(薬液注入)PS検層及びサンプリング実施個所

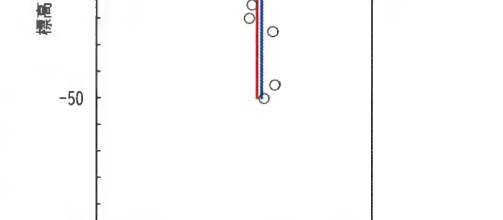


(3)解析用物性値に係る補足説明(6/12)

c. 地盤改良体(薬液注入)の解析用物性値の妥当性

地盤改良体(薬液注入)の試験によるせん断波速度Vsと強度定数(c. d)の解析用物性値との比較結果を以下に示す。





※ 各層のせん断波速度(実測値)を用いて最小二乗法による近似直線(青線)を算出するにあたっては、 傾き (深度依存性)を解析用地盤物性値 (赤線) と同一として固定している。

解析用物性値と改良後のせん断波速度Vsの比較

解析用物性値と改良後の強度定数(c, φ)の比較

地層	改良	刺	改良	後	評価
心的管	c(kN/m ²)	φ(°)	c(kN/m²)	φ(°)	БΤ·IЩ
Ag2層	0	37.4	37.1	38.7	・Cは改良後に増加(薬液による粘着力付加) ・φは低下なし



凡例 実測値 実測平均

解析用物性值

地盤改良体(薬液注入)のせん断 波速度Vs及び内部摩擦角のは、改良 前の原地盤と比較して低下すること なく、同等であることを確認した。 以上より, 地盤改良体 (薬液注 入)の解析物性値として原地盤の解 析用物性値の適用は妥当であると判 断する。



(3)解析用物性値に係る補足説明(7/12)

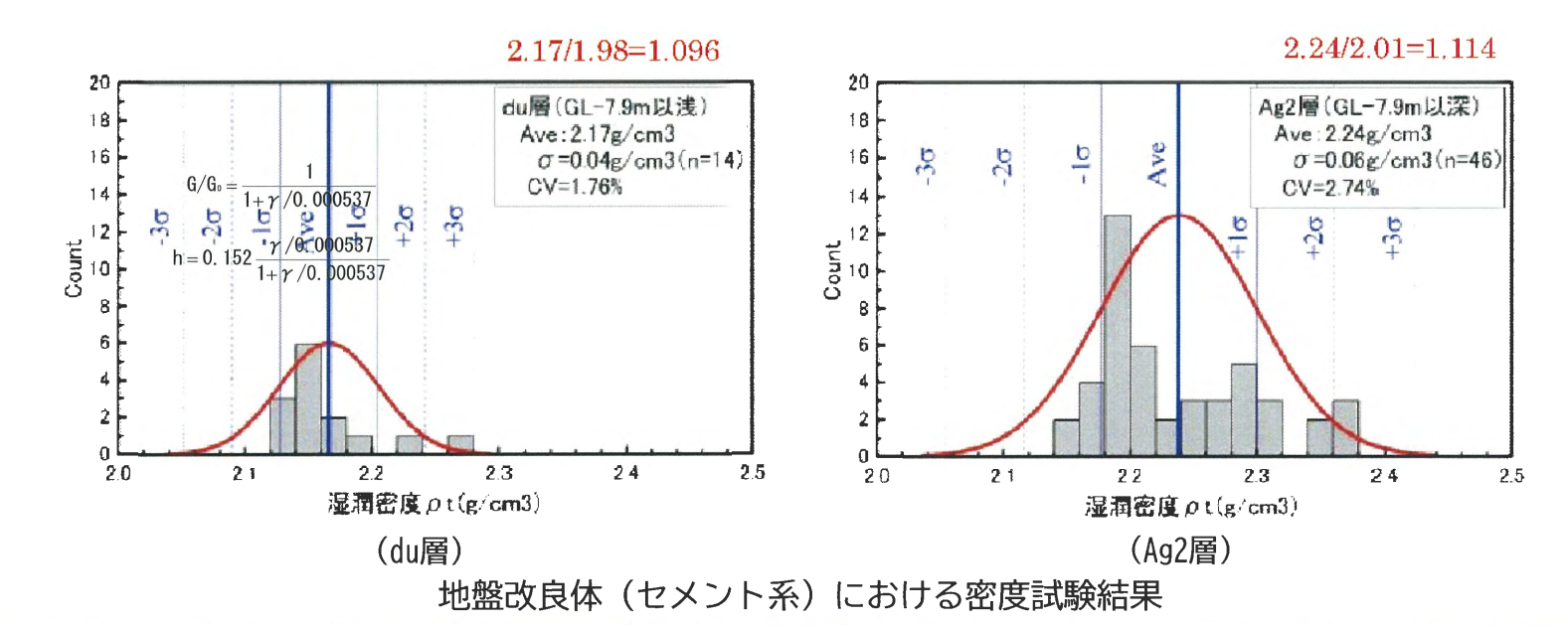
d. 参考資料(地盤改良体(セメント系)における密度の設定根拠)

地盤改良体(セメント系)における密度は,既設地盤改良体(屋外二重管_既設地盤改良(H20年度))のコア試料を採取して実施した密度試験結果に基づき下表のとおり設定している。

項目		地盤改良体(セメント系)	設定根拠	
物理 特性	密度 $ ho_{t}({ t g/cm^3})$	改良対象の原地盤の平均密度×1.1	既設改良体のコアによる密度試験に基づき係数 (×1.1) を設定	

本物性の設定根拠である密度試験結果を下図にヒストグラムで示す。改良対象地盤は表層付近に分布するdu層とAg2層であり、密度 試験の結果は、du層で2.17g/cm³、Ag2層で2.24g/cm³であり、原地盤の密度(du層で1.98g/cm³、Ag2層で2.01g/cm³)に対し、概ね1.1倍 の比率となった。

以上を根拠として、地盤改良体(セメント系)における密度を設定している。



- WHTH

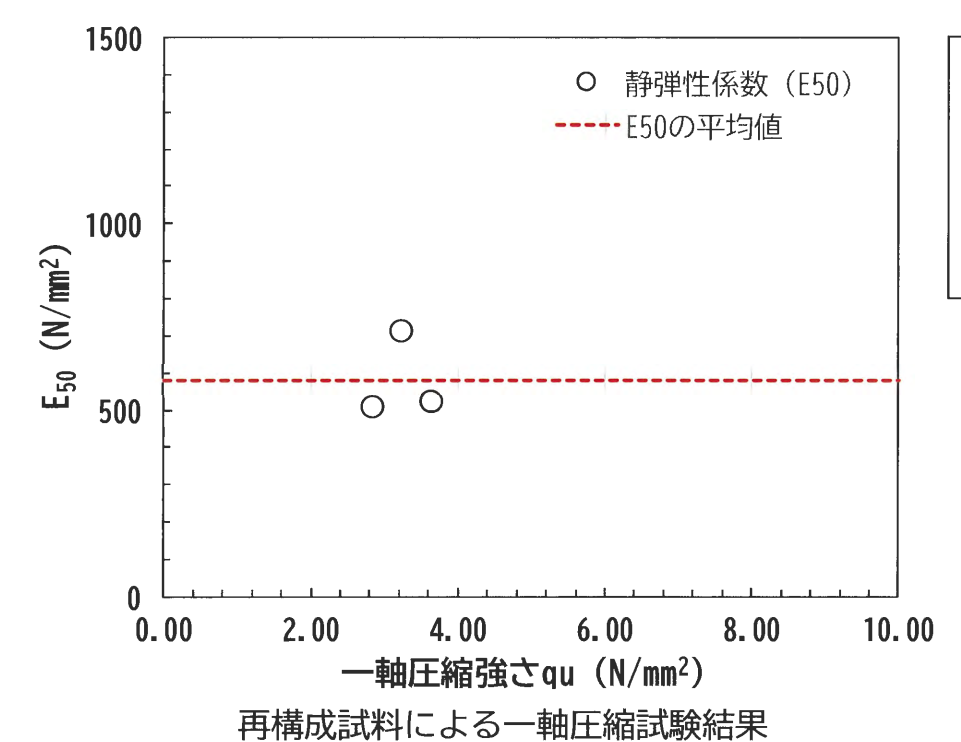
(3)解析用物性値に係る補足説明(8/12)

d. 参考資料(地盤改良体(セメント系)における静弾性係数の設定根拠)

地盤改良体(セメント系)における静弾性係数は,既設地盤改良体(屋外二重管_既設地盤改良(H20年度))を模擬して作成した目標強度4.0N/mm²の再構成試料による一軸圧縮試験に基づき下表のとおり設定している。

項目		地盤改良体(セメント系)	設定根拠
静的 変形 特性	静弾性係数 (N/mm²)	581	既設改良体を模擬した再構成試料による一軸圧縮試験に基づき設定

本物性の設定根拠である一軸圧縮試験結果(E50)を以下に示す。



【試験データに係る補足】

静弾性係数の根拠となる一軸圧縮試験データは3プロットと少ないが、48pに示すとおり、本物性による耐津波及び耐震設計への感度が小さいことを考慮し、解析用物性値としては妥当であると判断している。



- (3)解析用物性値に係る補足説明(9/12)
- d. 参考資料(地盤改良体(セメント系)における動ポアソン比の設定根拠)

地盤改良体(セメント系)における動ポアソン比は,既設地盤改良体(屋外二重管_既設地盤改良(H20年度))のPS検層結果に基づき下表のとおり設定している。

	項目	地盤改良体(セメント系)	設定根拠
動的 変形 特性	動 ポアソン比 レ _d	0. 431	既設改良体のPS検層に基づき設定

本物性の設定根拠であるPS検層の実施位置及びPS検層結果を以下に示す。



既設地盤改良体(セメント系)におけるPS検層結果

調査孔名		Vs (m/s)	Vp (m/s)	動ポアソン比
地盤改良体	SJ-1	750	2006	0. 419
(セメント改良)	SJ-2	754	2357	0. 443
平均值		752	2182	0. 431

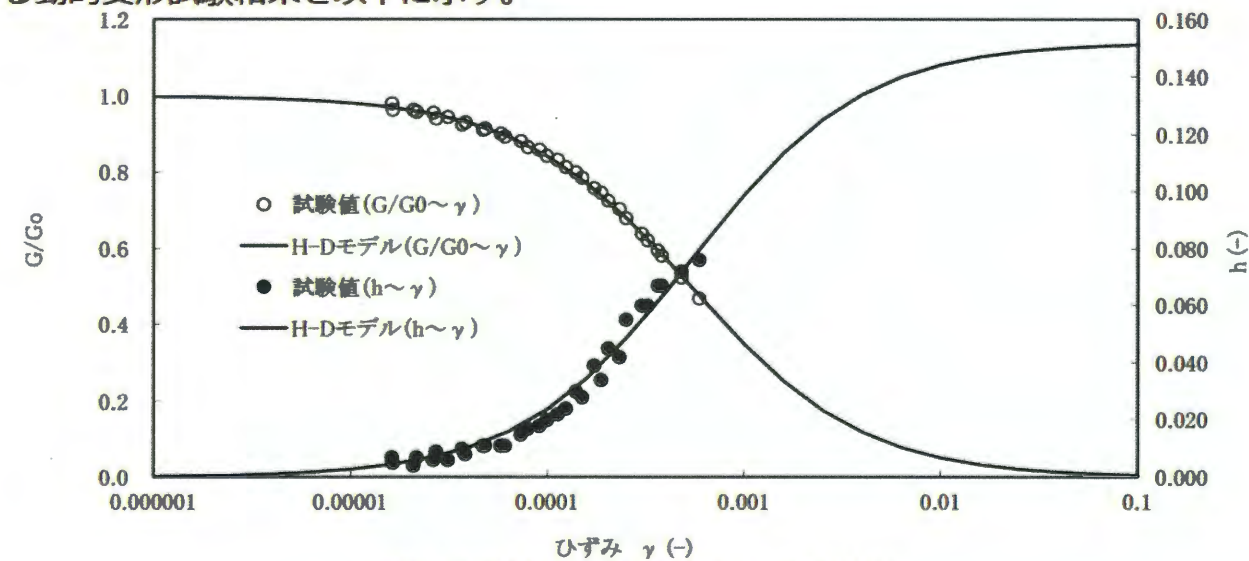
(3)解析用物性値に係る補足説明(10/12)

d. 参考資料(地盤改良体(セメント系)におけるひずみ依存特性の設定根拠)

地盤改良体(セメント系)におけるひずみ依存特性は,既設地盤改良体(屋外二重管_既設地盤改良(H20年度))を模擬して作成した目標強度4.0N/mm²の再構成試料による動的変形試験結果に基づき下表のとおり設定している。

	項目	地盤改良体(セメント系)	設定根拠
動的	動せん断弾性係数 のひずみ依存性 G/G ₀ ~γ	$G/G_0 = \frac{1}{1 + \gamma/0.000537}$	既設改良体を模擬した再構成試料による動的 変形試験に基づき、H-Dモデルにて設定
変形 特性	減衰定数 h~γ	$h = 0. 152 \frac{\gamma / 0.000537}{1 + \gamma / 0.000537}$	既設改良体を模擬した再構成試料による動的 変形試験に基づき、H-Dモデルにて設定

本物性の設定根拠である動的変形試験結果を以下に示す。



再構成試料による動的変形試験結果

(3)解析用物性値に係る補足説明(11/12)

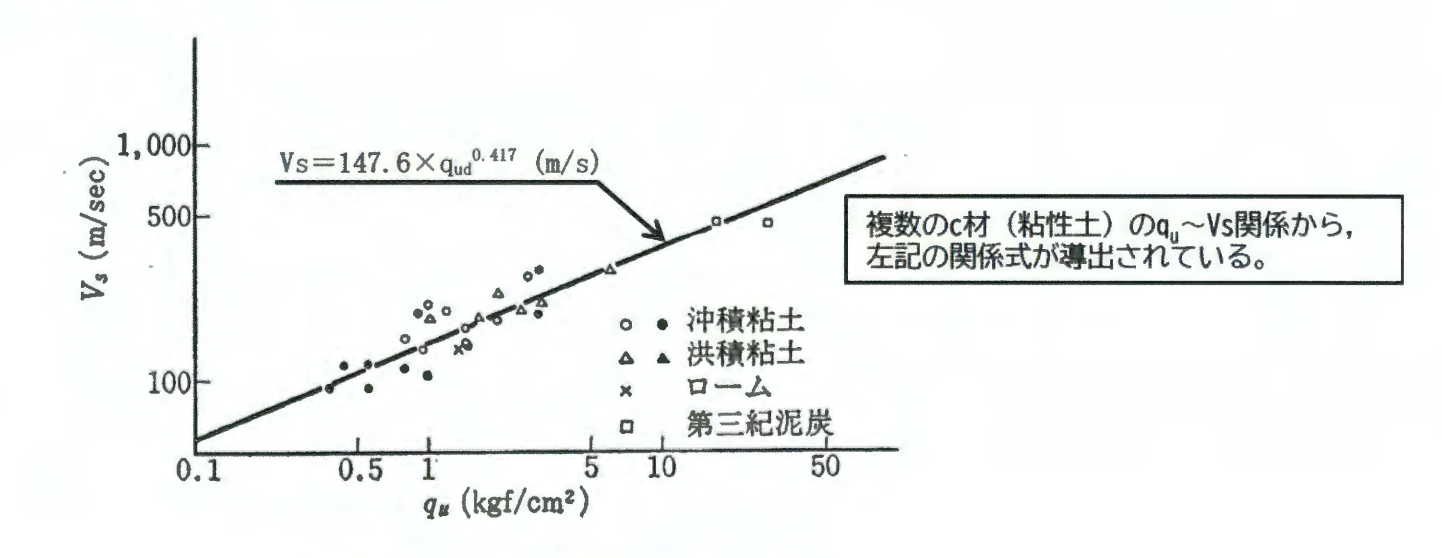
d. 参考資料(地盤改良体(セメント系)における初期せん断剛性の設定根拠)

地盤改良体(セメント系)における初期せん断剛性(せん断波速度Vs)は,文献「地盤工学への物理探査技術の適用と事例(地盤工学会,2001),わかりやすい土木技術 ジェットグラウト工法(鹿島出版社 柴崎ら,1983)」に示されている関係式に基づき,以下のとおり設定している。

	項目	地盤改良体(セメント系)	設定根拠
動的 変形 特性	初期せん断 剛性*1 G ₀ (N/mm²)	G ₀ = ρ _t / 1000 × Vs ² Vs = 147.6 × q _u ^{0.417} (m/s) q _u :設計用一軸圧縮強さ(kgf/cm ²)	文献 ^(※1) より「一軸圧縮強さq _u 〜せん断 波速度Vs」の関係式を引用し設定

注記)※1 地盤工学への物理探査技術の適用と事例(地盤工学会、2001)、わかりやすい土木技術 ジェットグラウト工法(鹿島出版社 柴崎ら、1983)

本物性の設定根拠である文献情報を以下に示す。



一軸圧縮強度とせん断波速度の関係



(3)解析用物性値に係る補足説明(12/12)

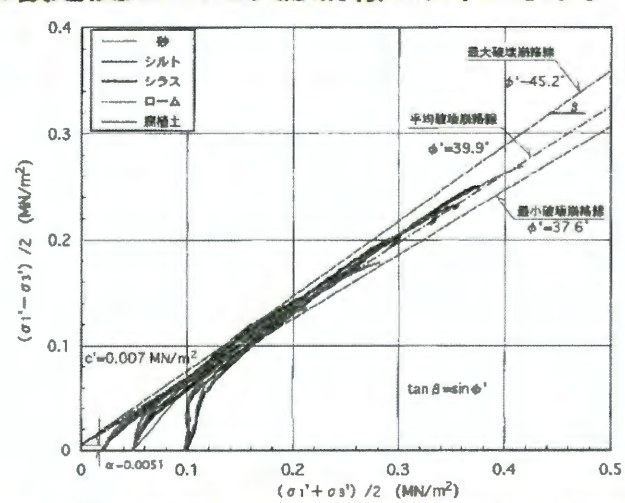
d. 参考資料(地盤改良体(セメント系)における残留強度及び引張強度の設定根拠)

地盤改良体(セメント系)における残留強度及び引張強度は、文献「改訂版 建築物のための改良地盤の設計及び品質管理指針-セメント系固化材を用いた深層・浅層混合処理工法-((財)日本建築センター)」を参照し、以下のとおり設定している。

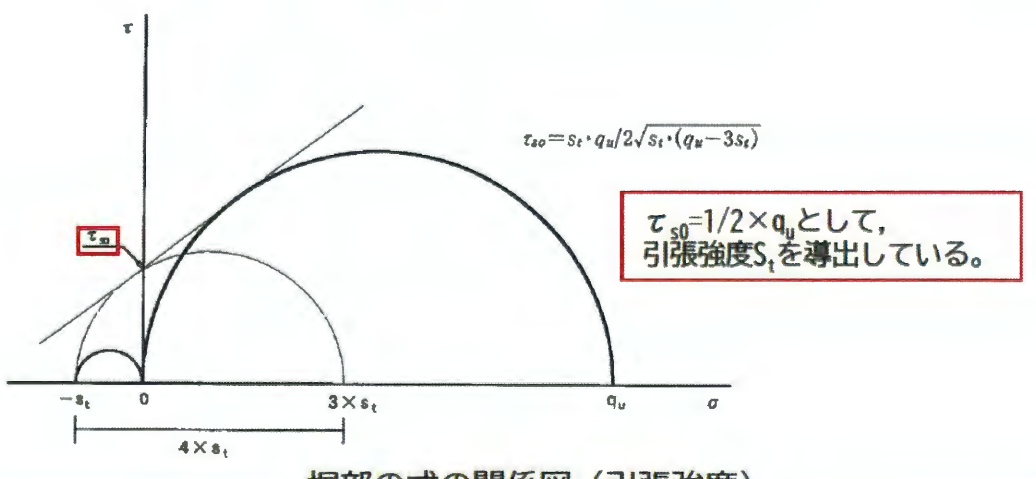
	項目	地盤改良体(セメント系)	設定根拠
強度	残留強度 ^{※2} て ₀ (N/mm²)	粘着力 C=0 (N/mm²) 内部摩擦角 φ=29.1 (度)	地盤改良体(セメント改良)を砕いて細粒化した試料を用いた三軸圧縮試験により求められた残留強度(文献(**2)に掲載)よりも十分に小さい値として、敷地の原地盤のうちAc層の内部摩擦角を採用
特性	引張強度 ^{※2} σ _t (N/mm²)	$q_u = rac{s_t \cdot qu}{\sqrt{s_t \cdot (q_u - 3 \cdot s_t)}}$ $S_t (= \sigma_t)$:地盤改良体の引張強度(N/mm²) q_u :設計用一軸圧縮強さ(N/mm²)	文献(※2)に掲載の算定式に基づいて設定

注記) ※2 改訂版 建築物のための改良地盤の設計及び品質管理指針-セメント系固化材を用いた深層・浅層混合処理工法-((財)日本建築センター)

本物性の設定根拠である文献情報を以下に示す。



細粒化した地盤改良体の応力経路図(残留強度)



堀部の式の関係図(引張強度)



(4) 応力照査に係る補足説明(1/4)

a. 鉄筋コンクリート部材におけるヤング係数比

防潮堤(鋼製防護壁)の耐津波・耐震設計において、鉄筋コンクリート部材の応力照査を実施する際のヤング係数比は、以下の規格基準に基づきn=15とする。

道路橋示方書 共通編 ((社)日本道路協会,平成24年)

3.3 設計計算に用いる物理定数

- (4) コンクリートのヤング係数は次による。
- 1) 鉄筋コンクリート構造物の不静定力又は弾性変形の算出及びプレストレストコンクリート部材の設計計算に用いるヤング係数は表-3.3.3の値とする。
- 2) 鉄筋コンクリート部材の応力度の計算に用いるヤング係数比nは15とする。

表-3 3 3 コンクリートのヤング係数 (N/mm²)

	340				14300 (11) 2000 /		
設計基準強度	21	24	27	30	40	50	60
ヤング係数	2. 35×10 ⁴	2. 5×10 ⁴	2. 65×10 ⁴	2, 8×10 ⁴	3. 1×10 ⁴	3. 3×10 ⁴	3.5×10 ⁴

道路土工 カルバート工指針 ((社)日本道路協会,平成22年)

5-4-2 曲げモーメント及び軸方向力が作用するコンクリート部材

鉄筋コンクリート部材断面に生じるコンクリート及び鉄筋の応力度については、軸ひずみは中立軸からの距離に比例し、鉄筋とコンクリートのヤング係数比は15, さらにコンクリートの引張応力度は無視するものと仮定して算出するものとする。また、それぞれの応力度は、4-5に示す許容応力度を超えてはならない。

許容応力度法による鉄筋コンクリート部材の曲げモーメントに対する照査の基本的な考え方について示したものである。曲げモーメント及び軸方向力を受ける 鉄筋コンクリート部材の応力度を計算するための仮定については、従来から一般 的に行われている仮定を適用するものとした。

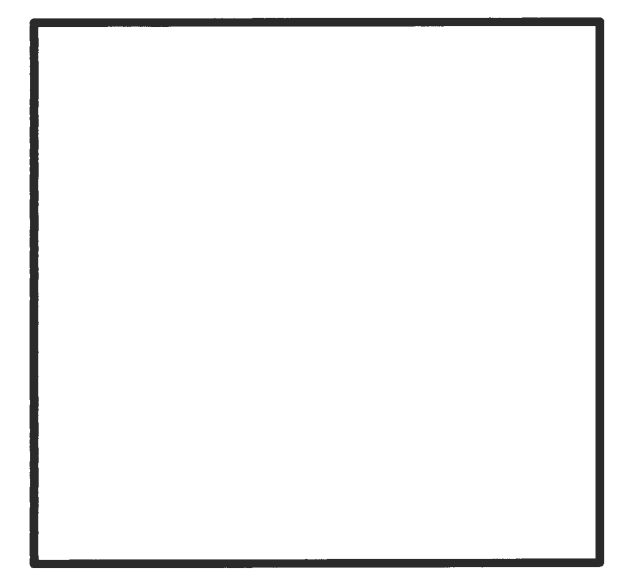
(4) 応力照査に係る補足説明(2/4)

b. 釣合鉄筋比について

防潮堤(鋼製防護壁)の耐津波・耐震設計においては、道路橋示方書(Ⅲ コンクリート橋編,(社)日本道路協会、平成24年)に準拠し、軸方向鉄筋が釣合鉄筋比以下であることを確認している。 以下、軸方向鉄筋が最大となる中実鉄筋コンクリート(南基礎)の計算事例を示す。

中実鉄筋コンクリート(南基礎)の釣合鉄筋比に係る確認結果

	照査の 種類	終局 釣合鉄筋比 (%)	引張鉄筋比(%)	結果	備考
南基礎	釣合 鉄筋比	3. 71	3. 69	OK	詳細を右表に 示す。



中実鉄筋コンクリート(南基礎)の配筋図

・中実鉄筋コンクリート(南基礎)の計算シート

鉄筋降伏ひずみ	εsy	0.00245	
鉄筋の降伏点	σsy	490	N/mm2
鉄筋の弾性係数	Es	200000	N/mm2
圧縮鉄筋総断面積	As'	3652654	mm2
鉄筋総本数	n	3604	本
D51断面積	As'_D51	2027	mm2
コンクリート設計基準強度	σ'ck	50	N/mm2
コンクリートの終局ひずみ	εcu	0.0035	
圧縮鋼材の応力度	σ's	197.4	N/mm2
終局荷重作用時の軸方向力	Nd	303327357	N
終局釣合い鋼材比	pb	0.0494	
終局釣合い鋼材比に乗じる係数75%		0.75	
終局釣合い鋼材比×0.75	0.75pb	0.037	
終局釣合い鋼材比×0.75の百分率表示		3.71	%
有効断面積	A=Bd	99099833	mm2
引張鉄筋本数	ns	1802	
引張鉄筋の総断面積	As	3652654	mm2
引張鉄筋比	pt	0.037	
引張鉄筋比の百分率表示		3.69	%



(4) 応力照査に係る補足説明(3/4)

c. 耐津波・耐震設計における許容限界

防潮堤(鋼製防護壁)の許容限界(短期許容応力度)は,以下の規格基準に基づき設定している。 敷地に遡上する津波時,余震+敷地に遡上する津波時の許容限界は,コンクリート標準示方書 [構造性能照査編] (土木学会,2002年制定)に示される極めてまれな荷重を考える場合の割増し係数を適用する。

防潮堤(鋼製防護壁)の許容限界一覧表

					ě	许容限界		
部材(材料)	規格	許容応力度		地震時, 基準洋	地震時, 基準津波時, 余震+基準津波時 敷地に遡上する津波時, 余震+敷地に遡上する津波時		適用する規格、基準類	
(F) (44)	жн.	(N/mm ²)		割増し係数*1	短期許容応力度 (N/mm²)	割増し係数*1	短期許容応力度*2 (N/mm ²)	20/17 リングがは、25年2月
コンクリート	設計基準強度	許容曲げ圧縮応力度	16	1.5	24	2.0	32	・コンクリート標準示方書[構造性能照査編](土木学会, 2002年制定) ・カルバート工指針(平成21年度版)(日本道路協会, 平成22年3月)
	$f'_{ck} = 50 \text{ N/mm}^2$	許容せん断応力度	0.55	1.5	0.825	2.0	1.1	・コンクリート標準示方書[構造性能照査編](土木学会,2002年制定)
	SD685	許容引張応力度	400	1.5	600	1.65	660	・道路橋示方書(Ⅱ鋼橋編)・同解説(日本道路協会、平成24年3月)に準拠して設定
	SD490	許容引張応力度	290	1.5	435	1.65	478.5	・コンクリート標準示方書[構造性能照査編](土木学会,2002年制定)
鉄筋	51/490	許容引張応力度(せん断補強筋)	200	1.5	300	1.65	330	・道路橋示方書(1共通編・Ⅳ下部構造編)・同解説(日本道路協会, 平成24年3月)
	SD390	許容引張応力度	206	1.5	309	1.65	339.9	・コンクリート標準示方吉「構造性能照査編」(土木学会、2002年制定)
	2D340	許容引張応力度(せん断補強筋)	206	1.5	309	1.65	339.9	(・コングリート標準示力者」(構造性能無登欄」(エ本字芸, 2002年制定)
	SM570	許容引張応力度	255	1.5	382.5	1.7	433.5	
1	SMSTO	許容せん断応力度	145	1.5	217.5	1.7	246.5]・道路橋示方書(I共通編・IV下部構造編)・同解説(日本道路協会, 平成14年3 B)
	SM490Y	許容引張応力度	210	1.5	315	_	355*3	^- ・道路橋示方書(Ⅰ共通編・Ⅱ鋼橋編)・同解説(日本道路協会, 平成14年3月)
	2M4301	許容せん断応力度	120	1.5	180	1.7	204	
鋼材	SM520B相当	許容引張応力度	210	1.5	315		355*4	·鋼構造物設計基準(Ⅱ鋼製橋脚編,名古屋高速道路公社,平成15年10月)
3441	SBHS500	許容引張応力度	295	1.5	442.5	_	<u>500*3</u>	- 道路協示方書・同解説(11 鋼橋・鋼部材編)(日本道路協会,平成29年11月) - 新い、高性能鋼材の利用技術調査研究報告書~SBHS500(W), SBHS700(W)の
	<u>000611416</u>	許容せん断応力度	170	1.5	255	_	285*3	数は、 10 11 12 13 14 15 15 15 15 15 15 15
	SBHS700	許容引張応力度	410	1.5	615	1.7	697	・新しい高性能鋼材の利用技術調査研究報告書~SBHS500(W), SBHS700(W)の
	2DL12100	許容せん断応力度	235	1.5	352.5	1.7	399	設計・製作ガイドライン(案)~(土木学会,平成21年11月)

注記 *1:短期許容応力度は、地震の影響を考慮した荷重の組み合せに対して割増し係数を乗じた値であることがそれぞれの規格、基準類に示されている。



^{*2:}敷地に遡上する津波時,余震+敷地に遡上する津波時の許容限界は,コンクリート標準示方書[構造性能照査編](土木学会,2002年制定)に示される極めてまれな荷重を考える場合の割増し係数を用いて短期許容応力度を算定する。

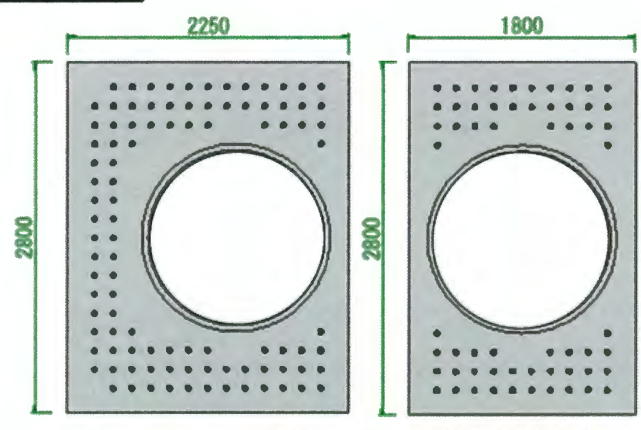
^{*3:} 許容応力度に割増し係数1.7をかけた値が降伏応力度を超える場合は、降伏応力度を短期許容応力度とする。

^{*4:「}敷地に遡上する津波時, 余震+敷地に遡上する津波時のSM520B相当(鋼製防護壁接合部のアンカーボルト)の許容限界は, 鋼構造物設計基準(Ⅱ鋼製橋脚編, 名古屋高速道路公社, 平成15年10月)に基づき降伏応力度とする。」

(4) 応力照査に係る補足説明(4/4)

d. 巻立て鉄筋コンクリートの応力照査について

曲げ軸力照査



巻立て鉄筋コンクリート及び鋼管杭の複合断面

- 設計断面力は、上図の複合断面を考慮した梁要素断面力として算出した。
- 堤軸方向と堤軸直交方向の2軸回りの曲げモーメントを合成 した曲げモーメントを用いた曲げ軸力照査を実施。
- 上図の複合断面を用いて下記の応力度を算出した。

\triangle

【鋼管杭】

曲げ圧縮応力度及び曲げ引張応力度を算出し、照査を実施

【巻立て鉄筋コンクリート】

コンクリートの曲げ圧縮応力度,鉄筋の圧縮応力度,鉄筋の引張 応力度を算出し,照査を実施

せん断照査

- 設計せん断力は、曲げ軸力照査と同様に左図の複合断面を考慮した梁要素のせん断力として算出した。
- 複合構造標準示方書に準拠し、せん断力を鋼管杭と巻立て鉄筋コンク リートの負担分に分離する。

【鋼管杭のせん断力】

 $V_S = \alpha_s \times V$ $\alpha_s = Z_s / (Z_s + A_s \times Z_{rc})$ 【巻立て鉄筋コンクリートのせん断力】 $V_{rc} = \alpha_{rc} \times V$ $\alpha_{rc} = A_s \times Z_{rc} / (Z_s + A_s \times Z_{rc})$

V:鋼管杭と巻立て鉄筋コンクリート一体構造において算出したせん 断力

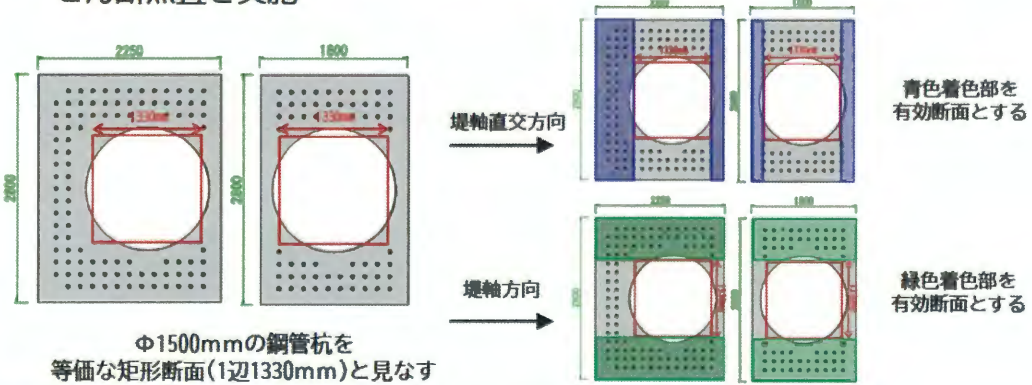
As: 軸方向引張鉄筋の総断面積

Z。: 鋼管杭の断面係数

Z_{rc}: 圧縮応力度の作用位置から引張鉄筋の図芯までの距離で,一般 (こd/1.15としてよい (dは有効高さ)

鋼管杭と巻立て鉄筋コンクリート各々に分担したせん断力を用いて

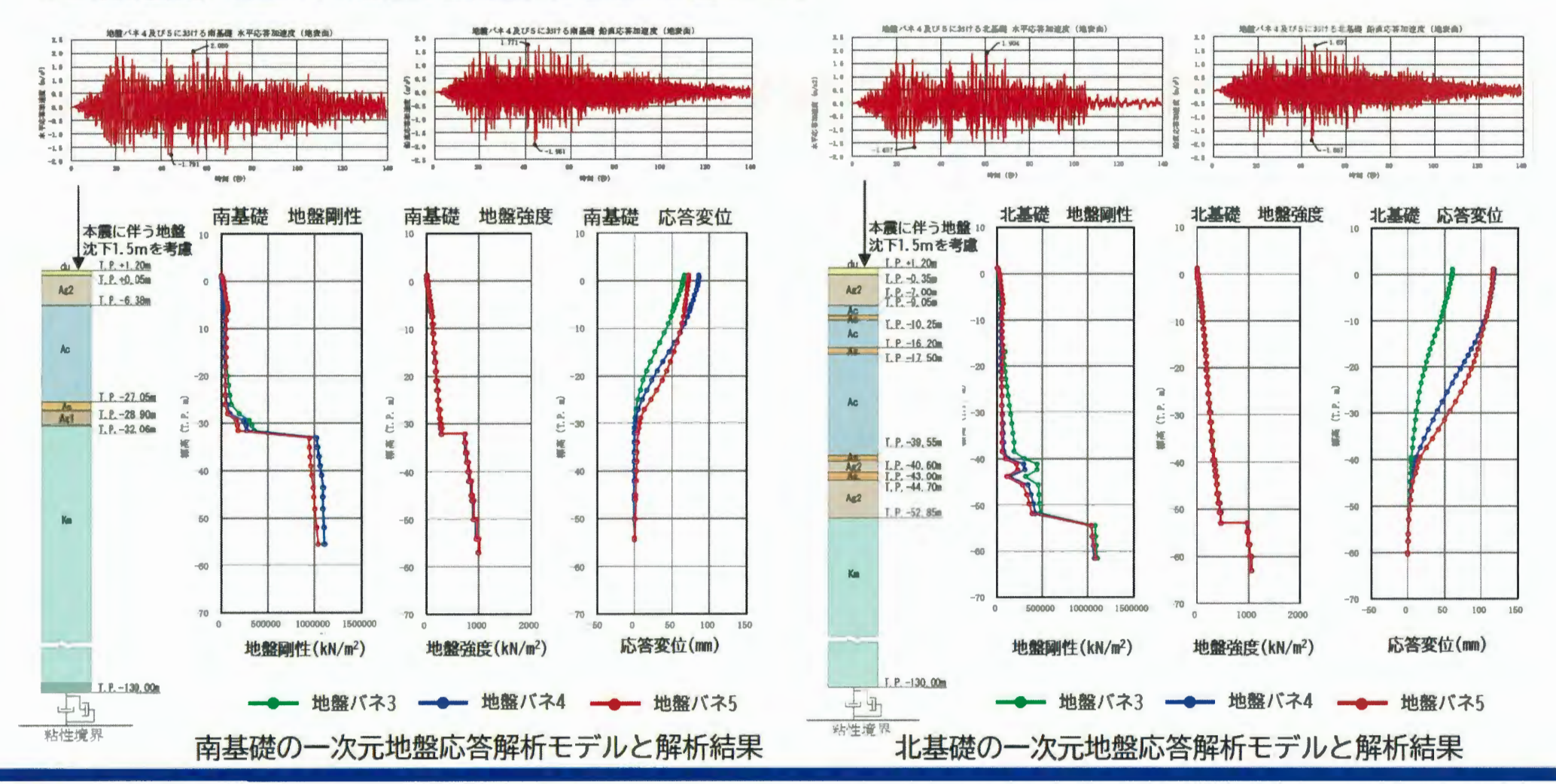
せん断照査を実施





(1) 耐津波設計結果に係る補足説明(1/11)

- a. 余震荷重設定のための一次元地盤応答解析結果
 - 一次元地盤応答解析モデル及び一次元地盤応答解析の結果を以下に示す。
 - 一次元地盤応答解析により得られた地表面応答加速度、地盤剛性及び強度、地盤変位に基づき、三次元フレーム解析における設計震度、地盤バネ係数及び上限値、応答変位を設定する。



- (1) 耐津波設計結果に係る補足説明(2/11)
- b. 工認設計モデルによる照査結果
- 1) 下部工の照査結果
- ①中実鉄筋コンクリート

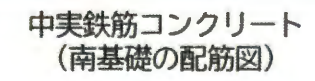
曲げ照査

照査値は最大値を記載している

	応力度の種類	発生応力度 (N/mm²)	許容限界 (N/mm²)	照査 値	地盤の ばらつき
北基礎	Con曲げ圧縮応力度	13.3	32.0	0.42	地盤バネ5
40-serve	鉄筋引張応力度	257.4	478. 5	0.54	地盤バネ5
南基礎	Con曲げ圧縮応力度	16. 2	32.0	0. 51	地盤バネ4
用垂旋	鉄筋引張応力度	265.8	478. 5	0. 56	地盤バネ4

せん断照査

	せん断力の方向	発生せん断力 (kN)	許容限界 (kN)	照査値	地盤の ばらつき
北基礎	堤軸方向	97299	229529	0.43	地盤パネ5
1. 李姬	堤軸直交方向	185592	229529	0.81	地盤バネ3
南基礎	堤軸方向	130817	234985	0.56	地盤バネ5
	堤軸直交方向	214108	247591	0.87	地盤バネ4





- (1) 耐津波設計結果に係る補足説明(3/11)
- b. 工認設計モデルによる照査結果
- 1) 下部工の照査結果
- ②鋼管杭

曲げ照査

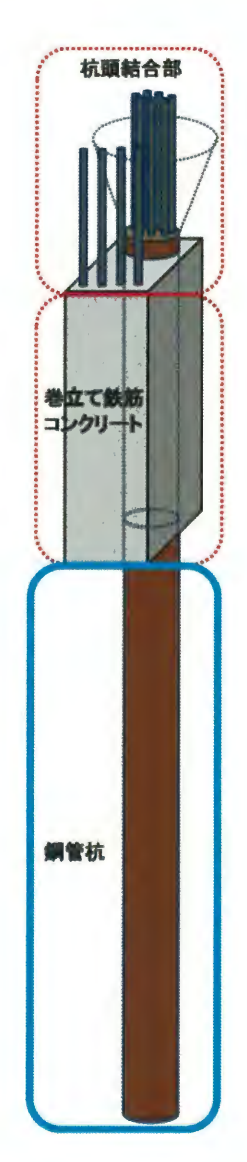
照査値は最大値を記載している。

	応力度の種類	発生応力度 (N/mm²)	許容限界 (N/mm²)	照査値	地盤のば らつき
JL-14-744	圧縮応力度	452. 4	500.0	0.91	地盤パネ4
北基礎	引張応力度	420.1	500.0	0.85	地盤パネ5
-1-1-1-711	圧縮応力度	434.1	500. 0	0.87	地盤バネ5
南基礎	引張応力度	393. 4	500.0	0.79	地盤バネ5

せん断照査

	作用方向	発生応力度 (N/mm²)	許容限界 (N/mm²)	照査値	地盤のばらっき
JL-tet-788	堤軸方向	42.7	285. 0	0.15	地盤バネ5
北基礎	堤軸直交方向	36.1	285. 0	0.13	地盤バネ4
-1-1-1-744	堤軸方向	45. 3	285.0	0.16	地盤バネ4
南基礎	堤軸直交方向	40.1	285. 0	0. 15	地盤バネ4





(1) 耐津波設計結果に係る補足説明(4/11)

- b. 工認設計モデルによる照査結果
- 1) 下部工の照査結果

③巻立て鉄筋コンクリート

照査値は最大値を記載している。

曲げ照査(巻立て鉄筋コンクリート)

	応力度の種類	発生応力度 (N/mm²)	許容限界 (N/ ≥== ²)	照查值	地盤の ばらつき
H. tet Tee	鉄筋引張応力度	410.9	660. 0	0.63	地盤パネ5
北基礎	Con圧縮応力度	24.9	32.0	0. 78	地盤バネ2
	鉄筋引張応力度	394. 3	660. 0	0.60	地盤バネ5
南基礎	Con圧縮応力度	24.5	32.0	0.77	地盤パネ2

曲げ照杏 (鋼管杭)

	応力度の種類	発生応力度 (N/mm²)	許容限界 (N/mm²)	照查值	地盤の ばらつき
Ji. tel 740	圧縮応力度	194. 9	500.0	0.39	地盤パネ5
北基礎	引張応力度	311.2	500.0	0.63	地盤バネ5
	圧縮応力度	200.5	500.0	0.41	地盤バネ5
南基礎	引張応力度	312. 2	500.0	0.63	地盤パネ5

せん断照査(巻立て鉄筋コンクリート)

	作用方向	発生せん断力 (kN)	許容限界 (kN)	照査値	地盤の ばらつき
11 . dal- 1744	堤軸方向	6073	11220	0. 55	地盤バネ5
北基礎	堤軸直交方向	17896	18916	0.95	地盤パネ1
	堤軸方向	6657	11220	0.60	地盤パネ5
南基礎	堤軸直交方向	13975	18319	0.77	地盤パネ1



巻立て鉄筋コンクリート(南北両基礎の東側部端部の配筋図)

せん断照査(鋼管杭)

	作用方向	発生応力度 (N/m²)	許容限界 (N/ ■ ²)	照査値	地盤の ばらつき
J1, 44-744	堤軸方向	87.4	285. 0	0.31	地盤パネ5
北基礎	堤軸直交方向	237. 0	285. 0	0.84	地盤バネ1
	堤軸方向	98. 7	285. 0	0.35	地盤パネ5
南基礎	堤軸直交方向	216.8	285. 0	0.77	地盤バネ1



- (1) 耐津波設計結果に係る補足説明(5/11)
- b. 工認設計モデルによる照査結果
- 1)下部工の照査結果
- 4)杭頭接合部

曲げ照査

照査値は最大値を記載している。

	照査断面	応力度の種類	発生応力度 (N/mm²)	許容限界 (N/mm²)	照査値	地盤の ばらつき
北基礎	鋼管杭頭部 (図-1)	鉄筋引張応力度	355. 5	660.0	0.54	地盤バネ5
		Con圧縮応力度	11.8	32.0	0.37	地盤バネ5
	巻立てRC部 (図-2)	鉄筋引張応力度	606.3	660.0	0. 92	地盤パネ5
		Con圧縮応力度	29. 1	32.0	0. 91	地盤パネ2
南基礎	鋼管杭頭部 (図-1)	鉄筋引張応力度	359.3	660.0	0. 55	地盤パネ5
		Con圧縮応力度	11.4	32.0	0.36	地盤バネ5
	巻立てR C部 (図-2)	鉄筋引張応力度	632.5	660.0	0. 96	地盤パネ4
		Con圧縮応力度	29. 0	32.0	0.91	地盤バネ2

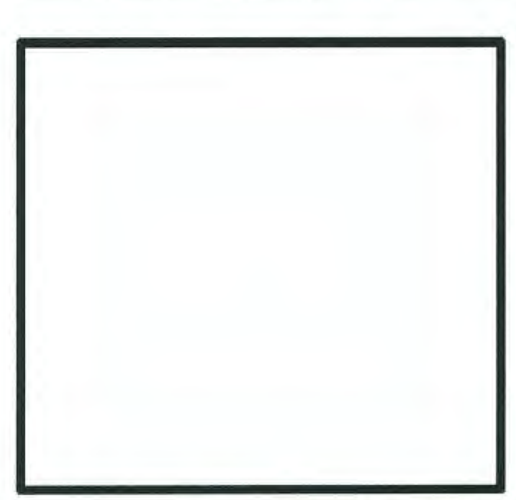
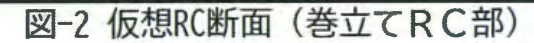


図-1 仮想RC断面(鋼管杭頭部)







巻立て鉄筋 コンクリート

調管杭

(1) 耐津波設計結果に係る補足説明(6/11)

- b. 工認設計モデルによる照査結果
- 1)下部工の照査結果
- ⑤頂版鉄筋コンクリート

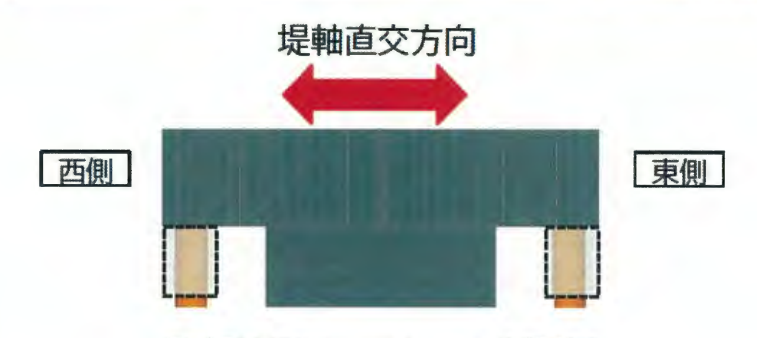
曲げ照査

照査値は最大値を記載している。

	作用方向	応力度の種類	発生応力度 (N/mm²)	許容限界 (N/mm²)	照査値	地盤の ばらつき
北基礎	堤軸方向	鉄筋引張応力度	402.8	478.5	0.85	地盤バネ5
		Con圧縮応力度	6. 4	32.0	0.20	地盤バネ5
	堤軸直交方向	鉄筋引張応力度	603. 0	660.0	0.92	地盤バネ5
		Con圧縮応力度	23. 6	32.0	0.74	地盤バネ5
南基礎	堤軸方向	鉄筋引張応力度	432. 3	478.5	0.91	地盤バネ5
		Con圧縮応力度	7.1	32.0	0.23	地盤バネ5
	堤軸直交方向	鉄筋引張応力度	384. 6	478.5	0.81	地盤バネ4
		Con圧縮応力度	20.5	32.0	0.65	地盤パネ4

せん断照査

	せん断力の方向	発生せん断力 (kN)	許容限界 (kN)	照査値	地盤の ばらつき
-IL 1st Tak	堤軸及び堤軸直交方向 合成-西側	26761	31712	0.85	地盤バネ5
北基礎	堤軸及び堤軸直交方向 合成-東側	28748	31 78 5	0. 91	地盤バネ5
-1-1-1-7-1-1	堤軸及び堤軸直交方向 合成-西側	29790	31712	0. 94	地盤バネ5
南基礎	堤軸及び堤軸直交方向 合成-東側	26977	31 78 5	0. 85	地盤バネ5



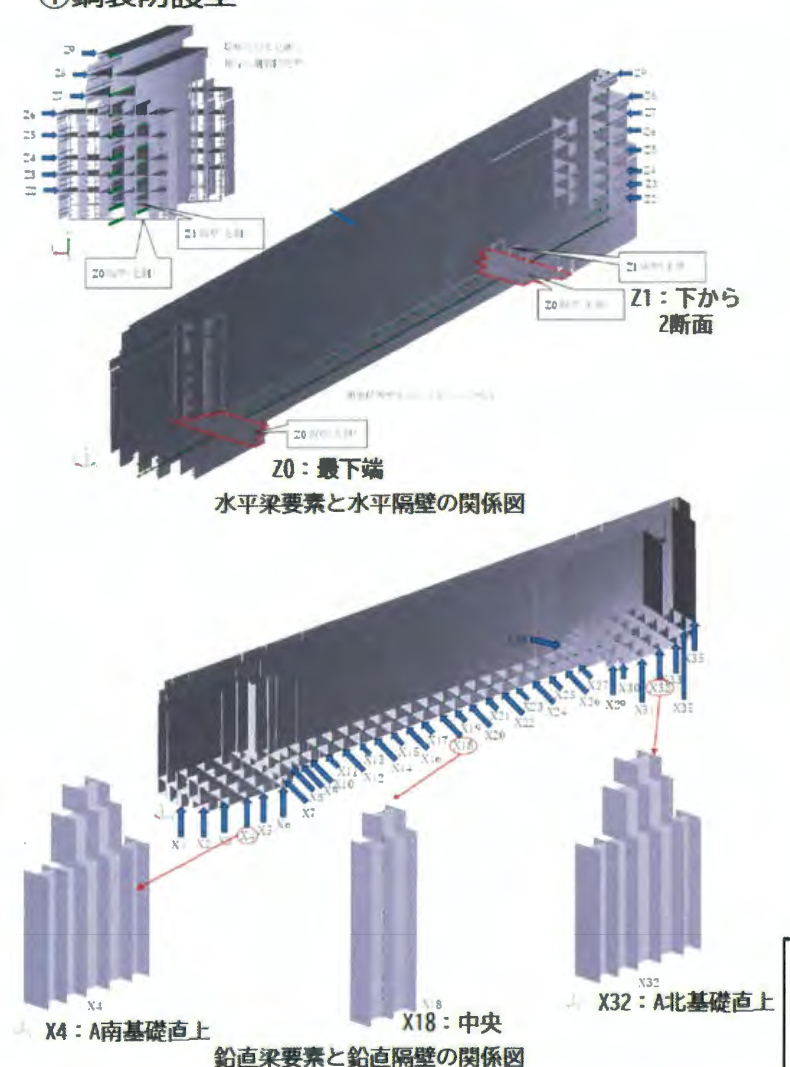
頂版鉄筋コンクリート断面図

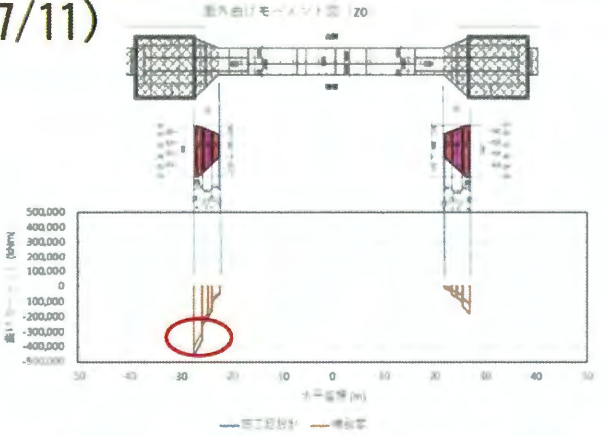




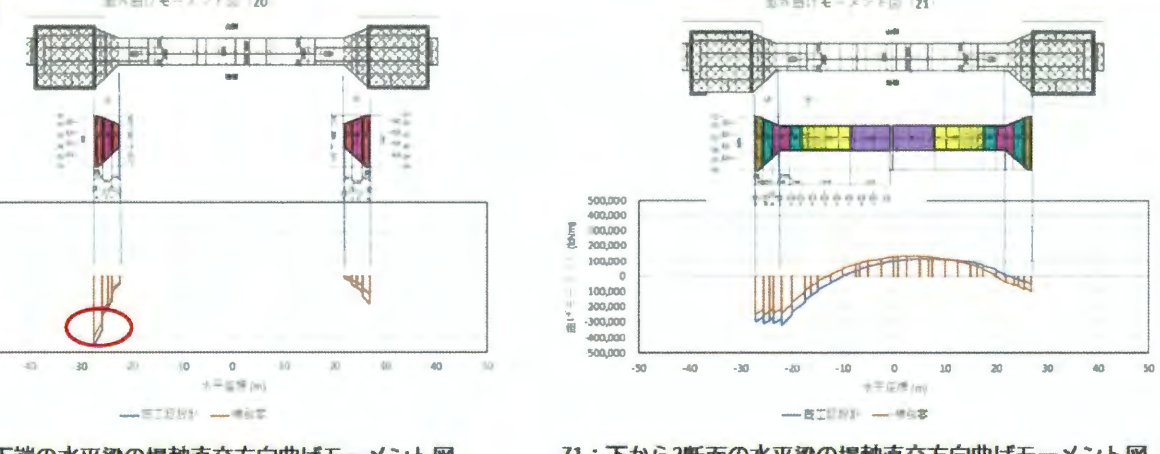
(1) 耐津波設計結果に係る補足説明(7/11)

- b. 工認設計モデルによる照査結果
- 2) 上部丁の照査結果(地盤バネ5)
- ①細製防護壁

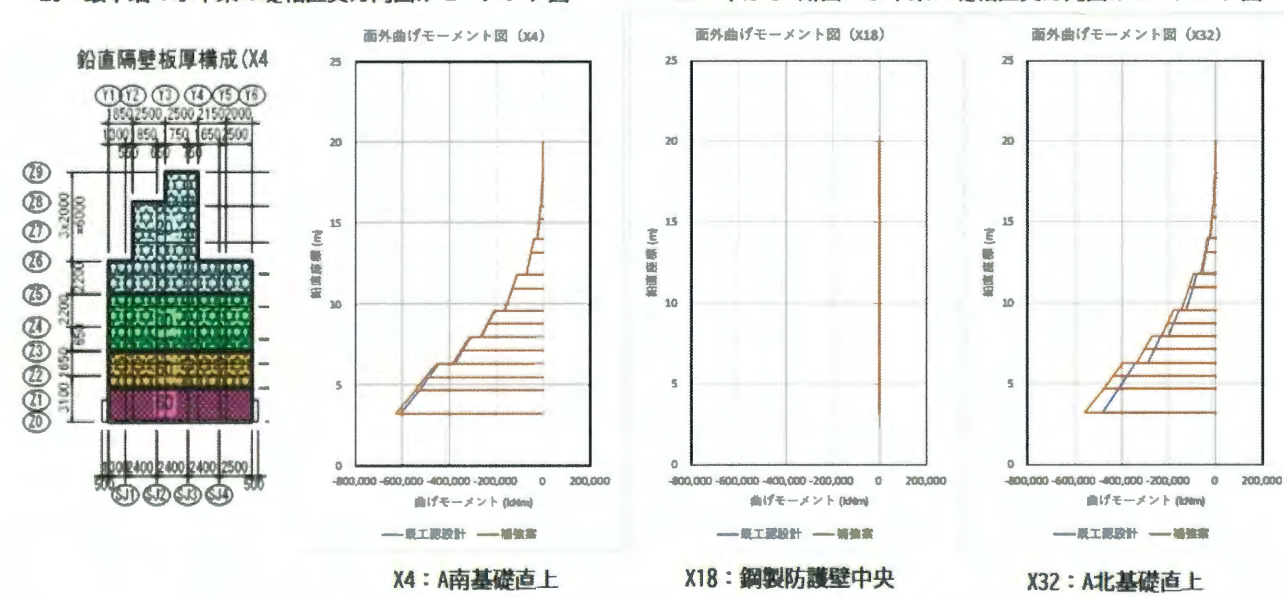




70: 最下端の水平梁の堤軸直交方向曲げモーメント図



71:下から2断面の水平梁の堤軸直交方向曲げモーメント図



A基礎直上及び中央の鉛直梁の堤軸直交方向曲げモーメント図

- 上部工は、南北基礎上端部のいずれか大きい方の断面力を用いて鋼製防護壁の部材 の仕様を決定している。(左右対称形の材料構成となる。)
- 上部工において材料仕様が最も厳しい部位はZO隔壁(水平梁)であり、最大板厚75mm 及び最高材質SBHS700である。評価結果により、当該部位において既工認の断面力を 下回ることを確認したため、構造成立性を有すると判断した。



(1) 耐津波設計結果に係る補足説明(8/11)

- b. 工認設計モデルによる照査結果
- 2) 上部工の照査結果
- ②中詰鉄筋コンクリート

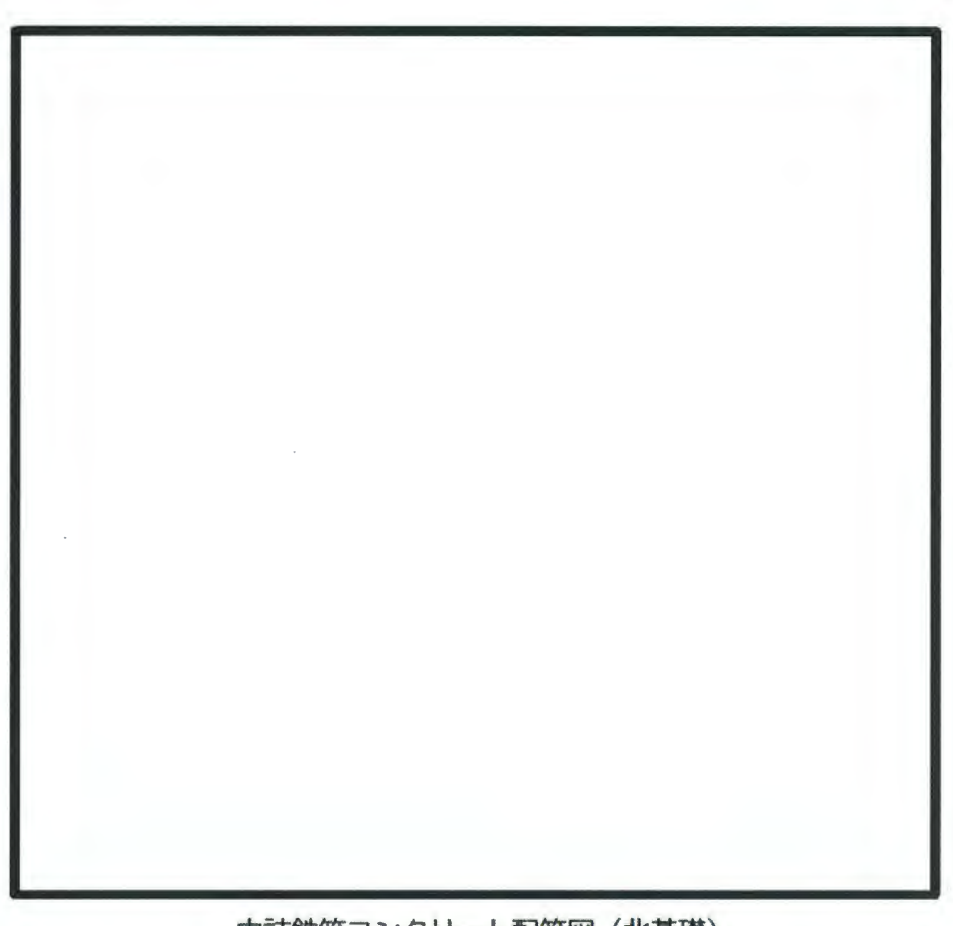
せん断照査

照査値は最大値を記載している。

	作用方向	発生 せん断力 (kN)	許容限界 (kN)	照査値	地盤のばらっき
JL-tel-788	堤軸方向	36007	252547	0.15	地盤パネ5
北基礎	堤軸直交方向	198989	252547	0.79	地盤パネ3
	堤軸方向	63102	252547	0. 25	地盤バネ5
南基礎	堤軸直交方向	224237	252547	0.89	地盤パネ5

水平回転モーメント照査

	作用方向	応力度 (N/mm²)	許容限界 (N/mm²)	照査値	地盤のばらつき
北基礎	水平鉄筋	230. 1	478.5	0.49	地盤バネ1
	鉛直鉄筋	132. 4	478. 5	0. 28	地盤バネ1
南基礎	水平鉄筋	331.4	478.5	0. 70	地盤バネ5
	鉛直鉄筋	190.6	478. 5	0. 40	地盤バネ5



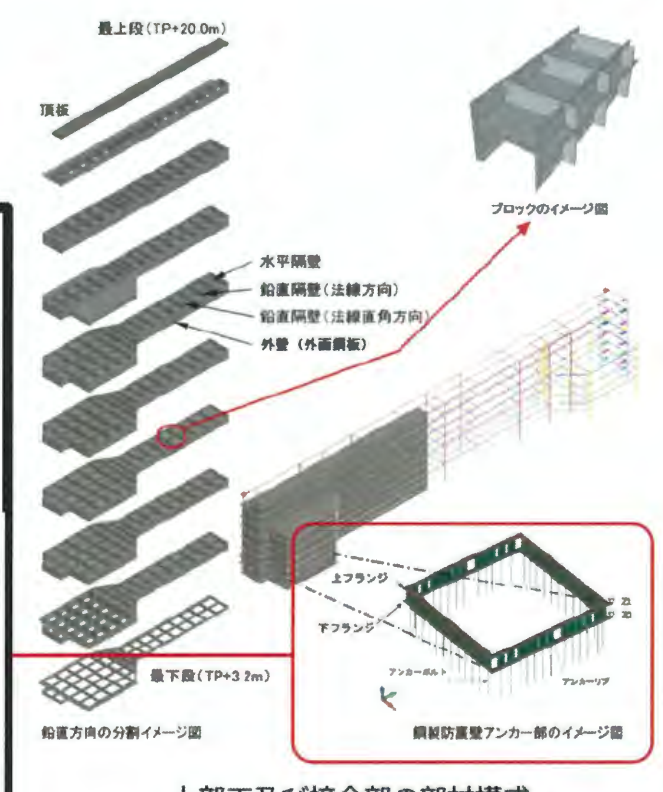
中詰鉄筋コンクリート配筋図(北基礎)

- (1) 耐津波設計結果に係る補足説明(9/11)
- b. 工認設計モデルによる照査結果
- 3)接合部の照査結果
- ①アンカーボルト

引張応力度照査

照査値は最大値を記載している。

יייייייייייייייייייייייייייייייייייייי	作用方向	応力度 (N/mm²)	許容限界 (N/mm²)	照査値	地盤のばらつき
北基礎	堤軸方向	103.0	355.0	0.30	地盤バネ5
	堤軸直交方向	188.3	355.0	0. 54	地盤バネ3
南基礎	堤軸方向	59.7	355. 0	0.17	地盤バネ5
	堤軸直交方向	216. 2	355.0	0.61	地盤バネ5



上部工及び接合部の部材構成

アンカーボルトの仕様

アンカーボルトの配置



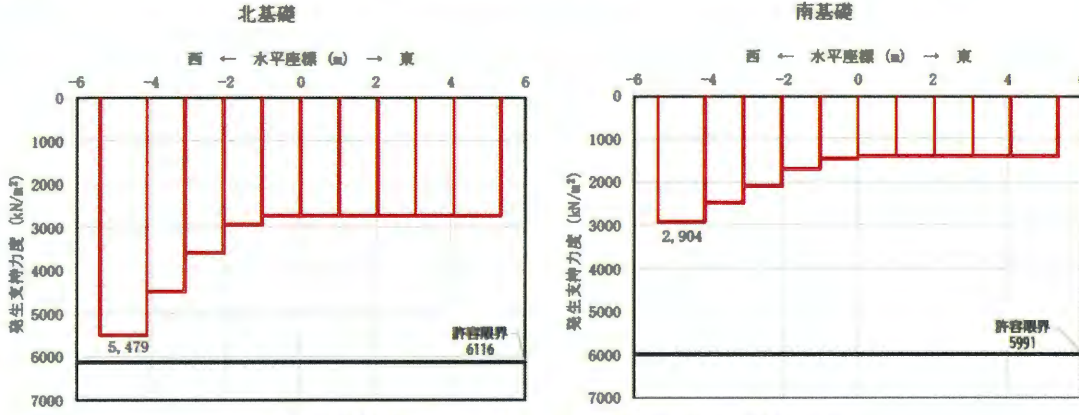
(1) 耐津波設計結果に係る補足説明(10/11)

- b. 工認設計モデルによる照査結果
- 4) 基礎地盤の支持力照査結果
- ①中実鉄筋コンクリート部

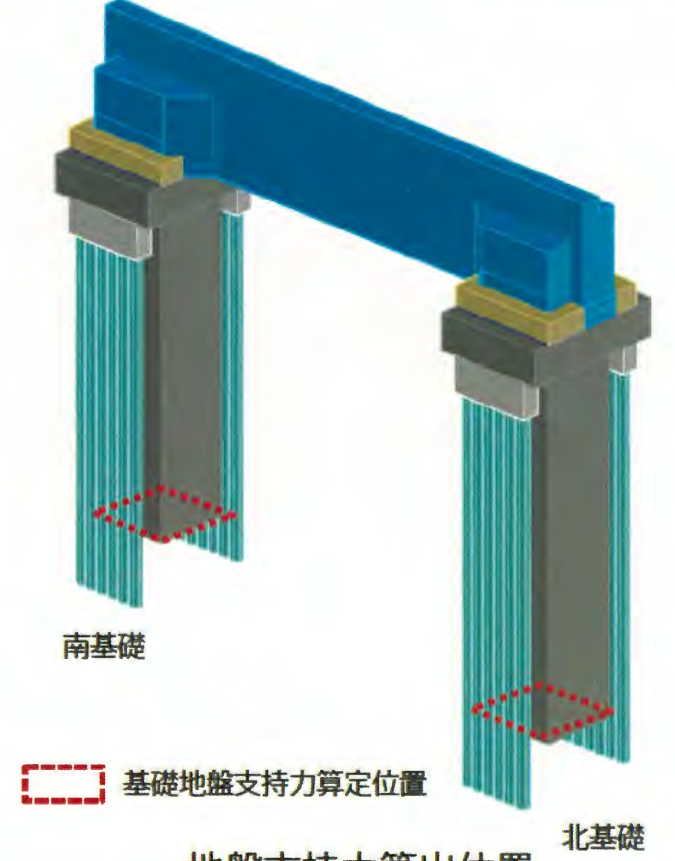
支持力照查

照査値は最大値を記載している。

	発生支持力度 (kN/m²)	許容限界 (kN/m²)	照査値	地盤の ぱらつき
北基礎	5479	6116	0.90	地盤バネ5
南基礎	2904	5991	0.49	地盤パネ5





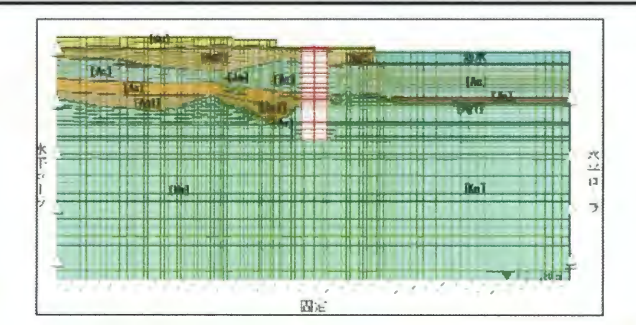


地盤支持力算出位置

【耐津波設計における支持力照査(既工認)について】

既工認の耐津波設計においては、基礎の周辺地盤をより 精緻にモデル化することを目的として、右図に示すとおり 2次元静的FEMによる支持力照査を実施している。

上述の支持力照査は、3次元フレームモデルのバネ反力 に基づく評価であり暫定的なものと位置付けているが、今 後は既工認と同様、2次元静的FEMによる精緻な評価を実施 し、強度計算書に掲載する予定である。



既工認の支持力照査モデル(2次元静的FEM)



(1) 耐津波設計結果に係る補足説明(11/11)

- b. 工認設計モデルによる照査結果
- 4) 基礎地盤の支持力照査結果

②細管杭(細管杭単体での支持力照査)

支持力照查

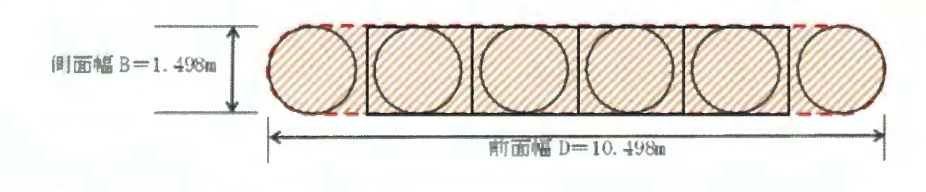
照査値は最大値を記載している。

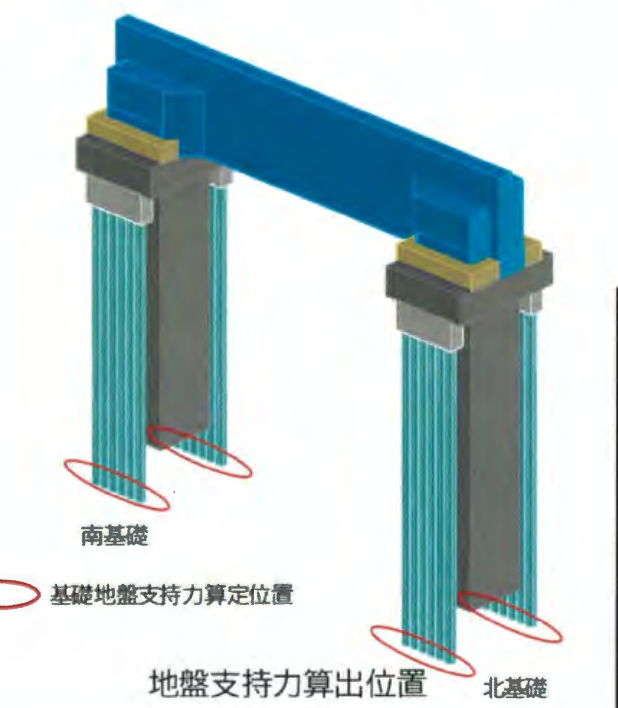
杭先端の地盤反力度 (kN/m²)		許容限界 (kN/m²)	照査値	地盤の ばらつき
北基礎	5449	6273	0.87	地盤パネ2
南基礎	1602	6148	0.27	地盤バネ2

③鋼管杭(鋼管杭の群杭効果を考慮し仮想ケーソン断面としたケース) 支持力照査

	杭先端の地盤反力度 (kN/m²)	許容限界 (kN/m²)	照査値	地盤の ばらつき
北基礎	4193	5092	0.83	地盤バネ2
南基礎	1129	5039	0.23	地盤パネ2

- ※周面摩擦力を考慮せず、鋼管杭先端の支持力に対する照査を実施
- ※道路橋示方書に基づき群杭効果を考慮した仮想ケーソン断面の許容限界値を設定

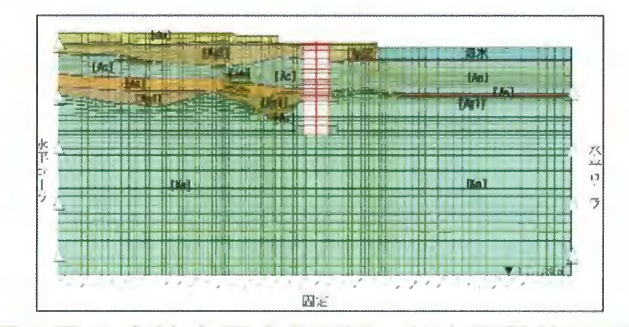




【耐津波設計における支持力照査(既工認)について】

既工認の耐津波設計においては、基礎の周辺地盤をより精緻にモデル化することを目的として、右図に示すとおり2次元静的FEMによる支持力照査を実施している。

上述の支持力照査は、3次元フレームモデルのバネ反力に基づく評価であり暫定的なものと位置付けているが、今後は既工認と同様、2次元静的FEMによる精緻な評価を実施し、強度計算書に掲載する予定である。



既工認の支持力照査モデル(2次元静的FEM)



(2) 耐震設計結果に係る補足説明(1/8)

- a. 工認設計モデルによる照査結果
- 1)下部工の照査結果
- ①中実鉄筋コンクリート

曲げ照査

照査値は最大値を記載している。

	応力度の種類	発生応力度 (N/mm²)	許容限界 (N/mm²)	照査値	地盤の ばらつき
北基礎	Con曲げ圧縮応力度	5.7	24. 0	0. 24	解析ケース③
小型硬	鉄筋引張応力度	141.8	435.0	0.33	解析ケース③
南基礎	Con曲げ圧縮応力度	6.2	24. 0	0. 26	解析ケース③
州 全 促	鉄筋引張応力度	117.1	435. 0	0. 27	解析ケース③

せん断照査

	せん断力の方向	発生せん断 カ (kN)	許容限界 (kN)	照査値	地盤の ばらつき
北基礎	堤軸方向	89000	195847	0.46	解析ケース③
10至70	堤軸直交方向	99318	195847	0.51	解析ケース③
古其琳	堤軸方向	164626	228260	0.73	解析ケース③
南基礎	堤軸直交方向	136709	221969	0.62	解析ケース③



(南基礎の配筋図)

(2) 耐震設計結果に係る補足説明(2/8)

- a. 工認設計モデルによる照査結果
- 1) 下部工の照査結果
- ②鋼管杭

曲げ照査

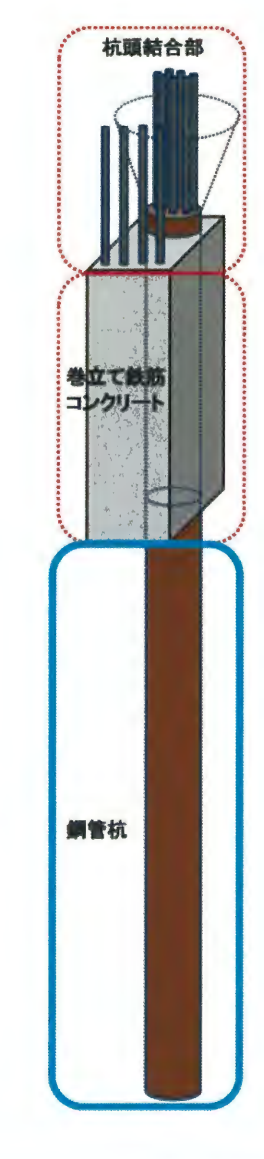
照査値は最大値を記載している。

	応力度の種類	発生応力度 (N/mm²)	許容限界 (N/mm²)	照査値	地盤の ばらつき
北世7林	圧縮応力度	225. 8	442.5	0.52	解析ケース③
北基礎	引張応力度	145. 5	442.5	0 . 33	解析ケース③
南基礎	圧縮応力度	53. 2	442.5	0.13	解析ケース③
	引張応力度	68. 0	442.5	0.16	解析ケース③

せん断照査

	作用方向	発生応力度 (N/mm²)	許容限界 (N/mm²)	照査値	地盤の ばらつき
JL-tet-7##	堤軸方向	3.6	255. 0	0.02	解析ケース③
北基礎	堤軸直交方向	10.5	255.0	0.05	解析ケース③
-1-14-74	堤軸方向	3.7	255. 0	0.02	解析ケース③
南基礎	堤軸直交方向	9. 2	255. 0	0.04	解析ケース③





(2) 耐震設計結果に係る補足説明(3/8)

- a. 工認設計モデルによる照査結果
- 1)下部工の照査結果
- ③巻立て鉄筋コンクリート

照査値は最大値を記載している。

曲げ照査(巻立て鉄筋コンクリート)

	応力度の種類	発生応力度 (N/mm²)	許容限界 (N/mm²)	照査値	地盤の ばらつき
U. tet The	鉄筋引張応力度	73. 3	600.0	0. 13	解析ケース③
北基礎	Con圧縮応力度	3. 3	24. 0	0. 14	解析ケース③
	鉄筋引張応力度	63. 2	600.0	0.11	解析ケース③
南基礎	Con圧縮応力度	2.8	24. 0	0. 12	解析ケース③

曲げ照査(鋼管杭)

	応力度の種類	発生応力度 (N/mm²)	許容限界 (N/mm²)	照査値	地盤の ばらつき
JI, tet Tex	圧縮応力度	43.5	442.5	0.10	解析ケース③
北基礎	引張応力度	63.4	442.5	0.15	解析ケース③
	圧縮応力度	36.9	442.5	0.09	解析ケース③
南基礎	引張応力度	52. 1	442.5	0.12	解析ケース③

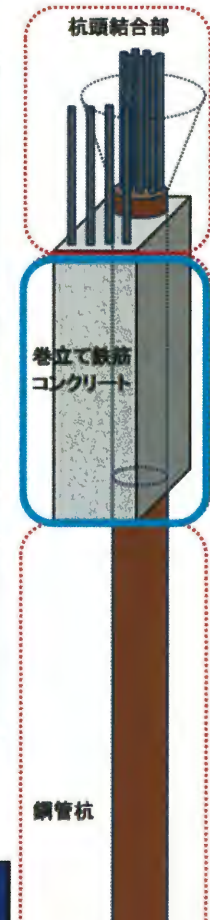
せん断照査(巻立て鉄筋コンクリート)

	作用方向	発生せん断力 (kN)	許容限界 (kN)	照査値	地盤の ばらつき
II de Tab	堤軸方向	535. 9	5303.9	0.11	解析ケース③
北基礎	堤軸直交方向	830. 7	3124.9	0. 27	解析ケース③
	堤軸方向	594. 7	5303.9	0.12	解析ケース③
南基礎	堤軸直交方向	615. 4	3026. 2	0. 21	解析ケース③



せん断照査 (鋼管杭)

	作用方向	発生応力度 (N/mm ²)	許容限界 (N/mm²)	照査値	地盤の ばらつき
JL 40-744	堤軸方向	1.4	255. 0	0.01	解析ケース③
北基礎	堤軸直交方向	7.0	255. 0	0.03	解析ケース③
-1-1274	堤軸方向	1.7	255. 0	0.01	解析ケース③
南基礎	堤軸直交方向	2.7	255. 0	0. 02	解析ケース③



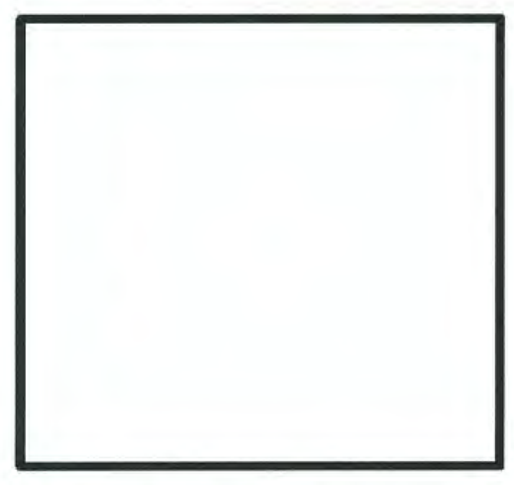
(2) 耐震設計結果に係る補足説明(4/8)

- a. 工認設計モデルによる照査結果
- 1)下部工の照査結果
- 4.杭頭接合部

曲げ照査

照査値は最大値を記載している。

	照査断面	応力度の種類	発生応力度 (N/mm²)	許容限界 (N/mm²)	照査値	地盤の ばらつき
	鋼管杭頭部	鉄筋引張応力度	109.6	600.0	0.19	解析ケース③
北甘林	(図-1)	Con圧縮応力度	1.1	24. 0	0.05	解析ケース③
儿垄烻	北基礎 巻立てR C部 (図-2)	鉄筋引張応力度	111.4	600.0	0.19	解析ケース③
		Con圧縮応力度	3.4	24. 0	0.15	解析ケース③
	鋼管杭頭部	鉄筋引張応力度	100.9	600.0	0.17	解析ケース③
± ₩ 7#	(図-1)	Con圧縮応力度	0.9	24.0	0.04	解析ケース③
南基礎	巻立てRC部	鉄筋引張応力度	92. 1	600. 0	0.16	解析ケース③
	(図-2)	Con圧縮応力度	3.0	24.0	0.13	解析ケース③





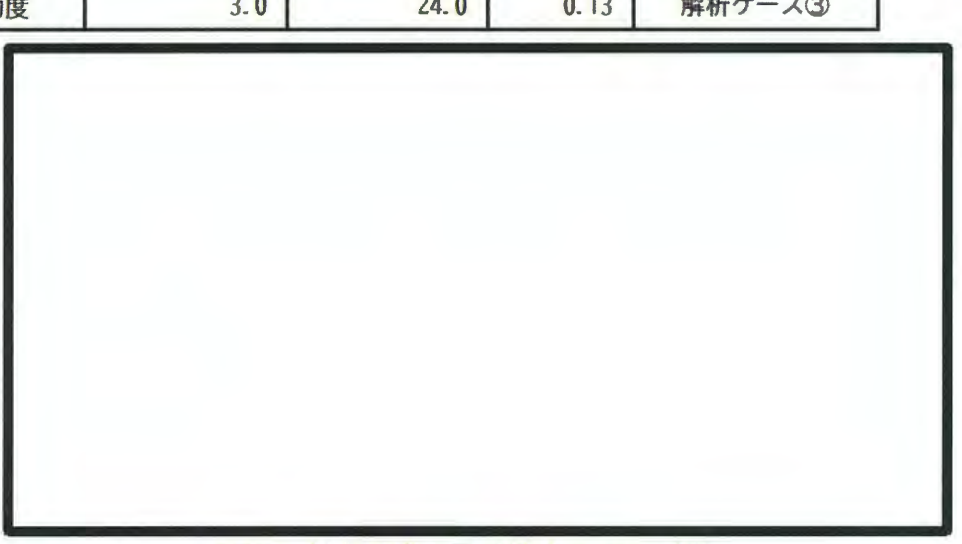


図-2 仮想RC断面(巻立てRC部)



巻立て鉄筋コレクリート

鋼管杭

(2) 耐震設計結果に係る補足説明(5/8)

- a. 工認設計モデルによる照査結果
- 1)下部工の照査結果
- ⑤頂版鉄筋コンクリート

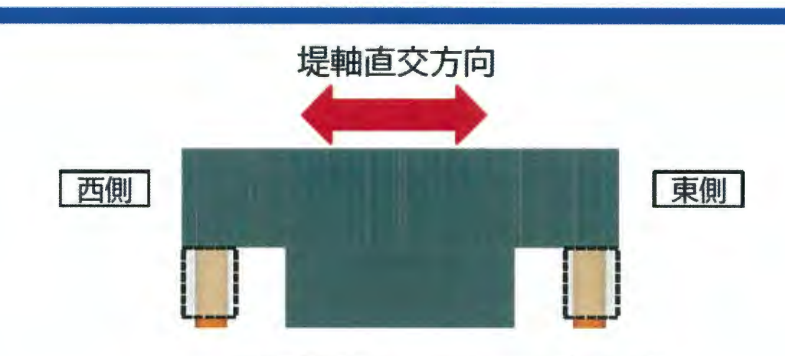
曲げ照査

照査値は最大値を記載している。

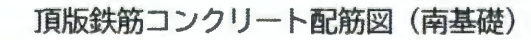
	作用方向	応力度の種類	発生応力度 (N/mm²)	許容限界 (N/mm²)	照査値	地盤の ばらつき
堤軸方	祖恭士六	鉄筋引張応力度	31.3	435. 0	0. 08	解析ケース③
	堤 뽺万円	Con圧縮応力度	0.9	24. 0	0.04	解析ケース③
北基礎	堤軸直交方向	鉄筋引張応力度	353. 2	435. 0	0.82	解析ケース③
		Con圧縮応力度	6.3	24. 0	0.27	解析ケース③
		鉄筋引張応力度	23.9	435. 0	0.06	解析ケース③
南基礎	堤軸方向	Con圧縮応力度	0.6	24. 0	0. 03	解析ケース③
113	担禁主办士户	鉄筋引張応力度	305.3	435. 0	0. 71	解析ケース③
	堤軸直交方向	Con圧縮応力度	6. 0	24. 0	0. 25	解析ケース③

せん断照査

	せん断力の方向	発生せん断力 (kN)	許容限界 (kN)	照査値	地盤の ばらつき
	堤軸方向	5507	34370	0.17	解析ケース③
北基礎	堤軸直交方向-西側	100732	419676	0. 25	解析ケース③
	堤軸直交方向-東側	116157	442914	0. 27	解析ケース③
	堤軸方向	6277	34370	0.19	解析ケース③
南基礎	堤軸直交方向-西側	71186	419676	0.17	解析ケース③
	堤軸直交方向-東側	101572	442914	0. 23	解析ケース③



頂版鉄筋コンクリート断面図





(2) 耐震設計結果に係る補足説明(6/8)

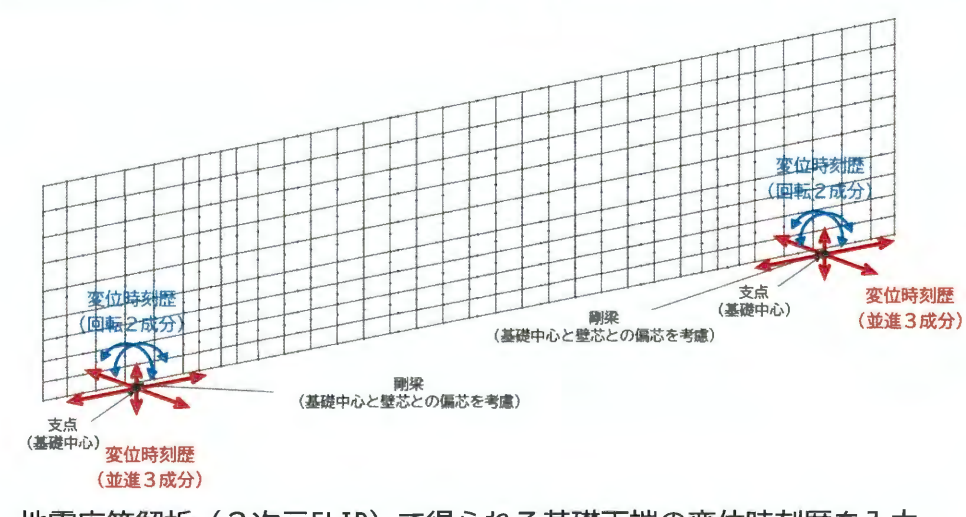
- a. 工認設計モデルによる照査結果
- 2) 上部工の照査結果

鋼製防護壁・中詰め鉄筋コンクリート・アンカーボルトの照査結果

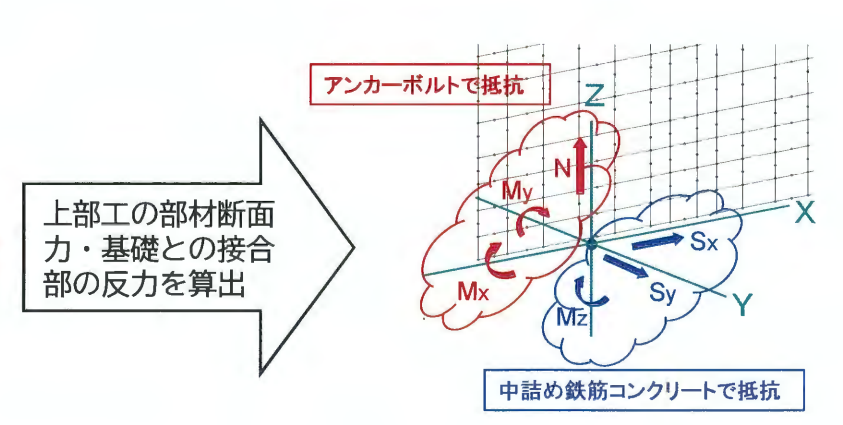
南北基礎相対変位

断面方向	変位成分	既工認	工認設計 モデル
堤軸方向	水平相対変位(mm)	4. 6	4.3
	鉛直相対変位(mm)	29. 2	17.3
堤軸直交方向	水平相対変位(mm)	356.4	221.6
	鉛直相対変位(mm)	12.0	19.7

- 耐震設計における上部工の発生応力や接合部の発生断面力は、 地震応答解析(2次元FLIP)で得られる南北基礎天端の変位時 刻歴を入力として実施する上部工の動的解析によって算出する ため、その大きさは南北基礎の接合部における相対変位に依存 することになる。
- 南北基礎の相対変位量は、既工認の値をほとんどの成分で大きく下回っていることから、構造成立性に問題は無いと判断した。
- ・ 堤軸直交方向の鉛直変位が若干既工認を上回っているものの, 南北基礎の支点間距離が65.1mであること考慮すると,その比 率は7.7mm/65100mm≒0.012%程度と極微小であり,上部工の構 造成立性に影響を及ぼすとは考えにくい。



地震応答解析(2次元FLIP)で得られる基礎天端の変位時刻歴を入力として上部工の動的解析を実施



上部工の動的解析で得られる部材断面力ならびに 基礎との接合部の反力に対して部材照査を実施



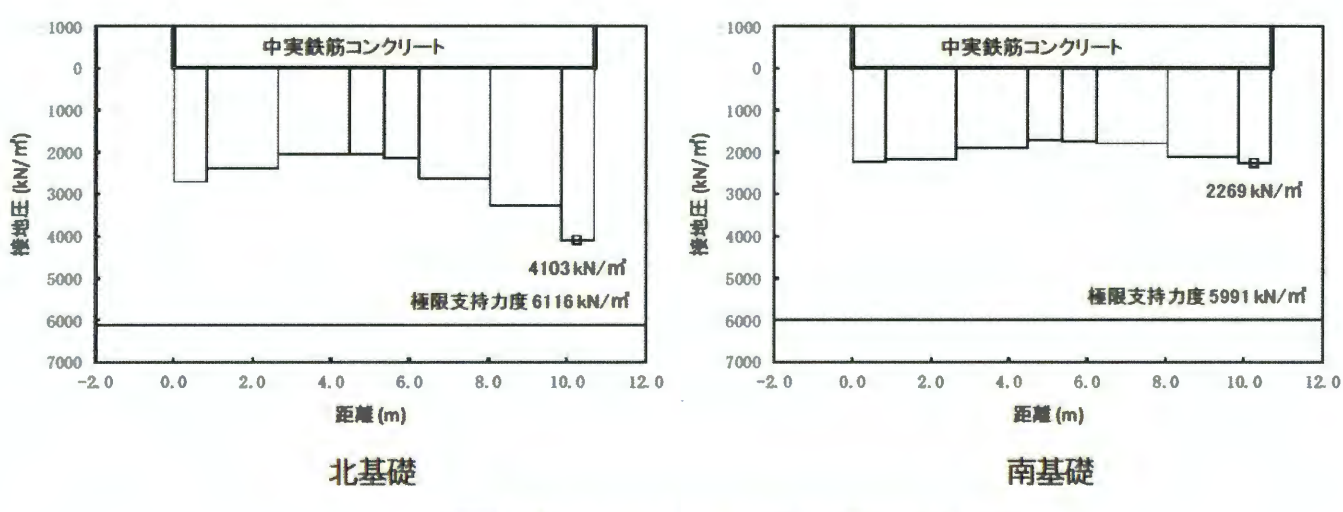
(2) 耐震設計結果に係る補足説明(7/8)

- 工認設計モデルによる照査結果
- 3) 基礎地盤の支持力照査結果
- ①中実鉄筋コンクリート部

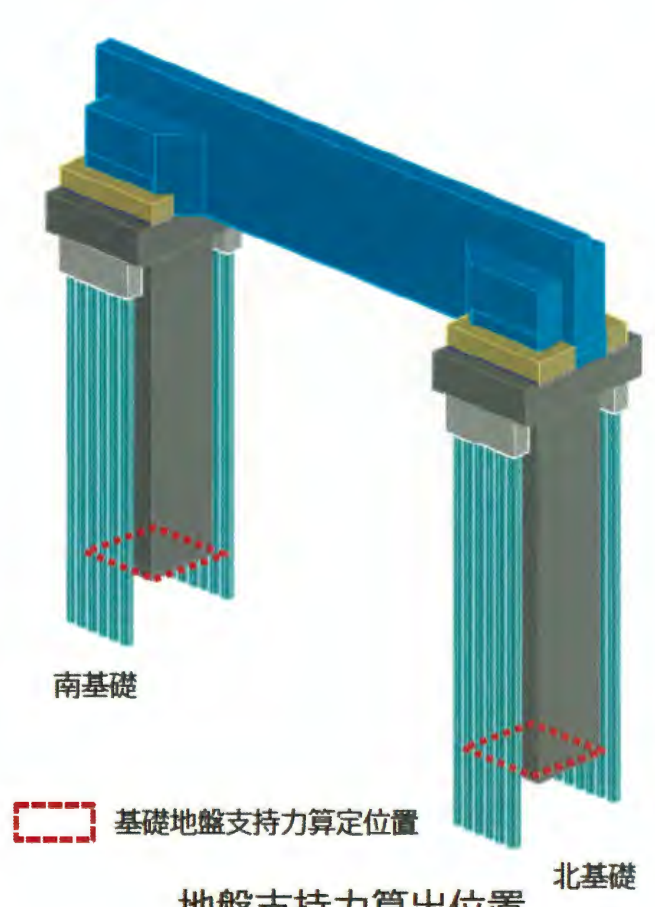
支持力照查

照査値は最大値を記載している。

	発生支持力度 (kN/m²)	許容限界 (kN/m²)	照査値	地盤の ばらつき
北基礎	4103	6116	0. 68	解析ケース③
南基礎	2269	5991	0.38	解析ケース③



中実鉄筋コンクリート部の支持力分布図



地盤支持力算出位置



(2) 耐震設計結果に係る補足説明(8/8)

- a. 工認設計モデルによる照査結果
- 3) 基礎地盤の支持力照査結果
- ②鋼管杭(鋼管杭単体での支持力照査)

支持力照查

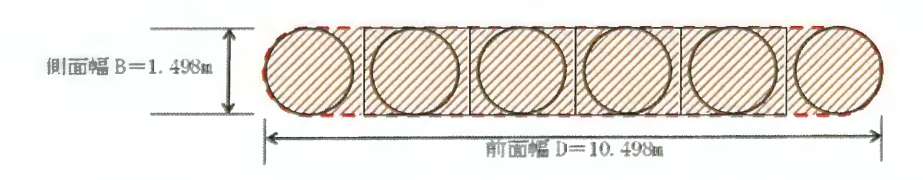
照査値は最大値を記載している。

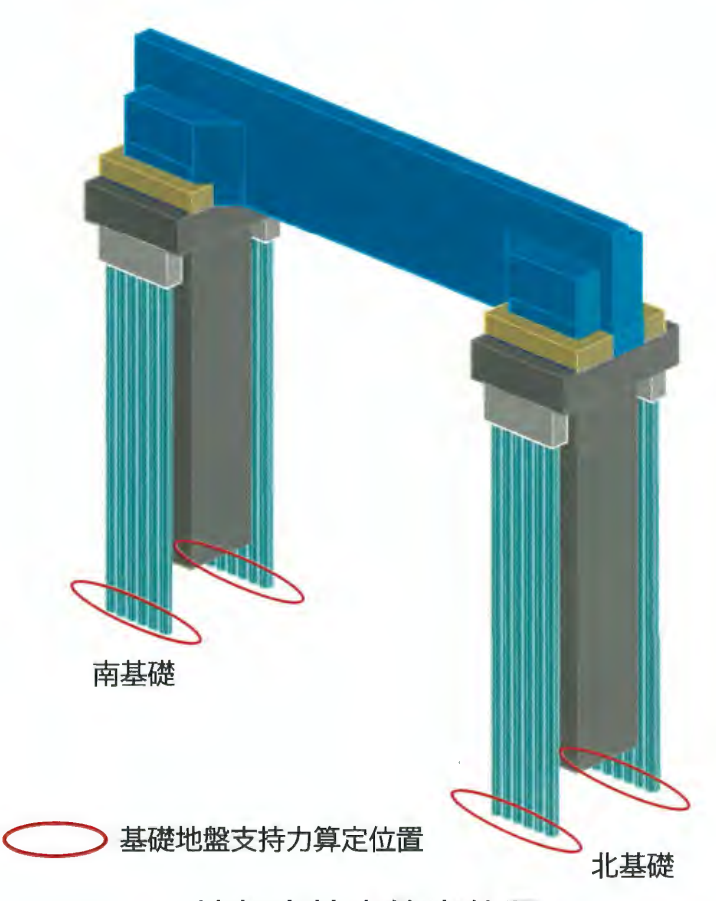
	杭先端の地盤反力度 (kN/m²)	許容限界 (kN/m²)	照査値	地盤の ばらつき
北基礎	4224	6273	0.68	解析ケース③
南基礎	3935	6148	0.65	解析ケース③

③鋼管杭(鋼管杭の群杭効果を考慮し仮想ケーソン断面としたケース) 支持力照査

	杭先端の地盤反力度 (kN/m²)	許容限界 (kN/m²)	照査値	地盤の ばらつき
北基礎	4224	5092	0.83	解析ケース③
南基礎	3935	5039	0.79	解析ケース③

- ※周面摩擦力を考慮せず、鋼管杭先端の支持力に対する照査を実施
- ※道路橋示方書に基づき群杭効果を考慮した仮想ケーソン断面の許容限界値を設定





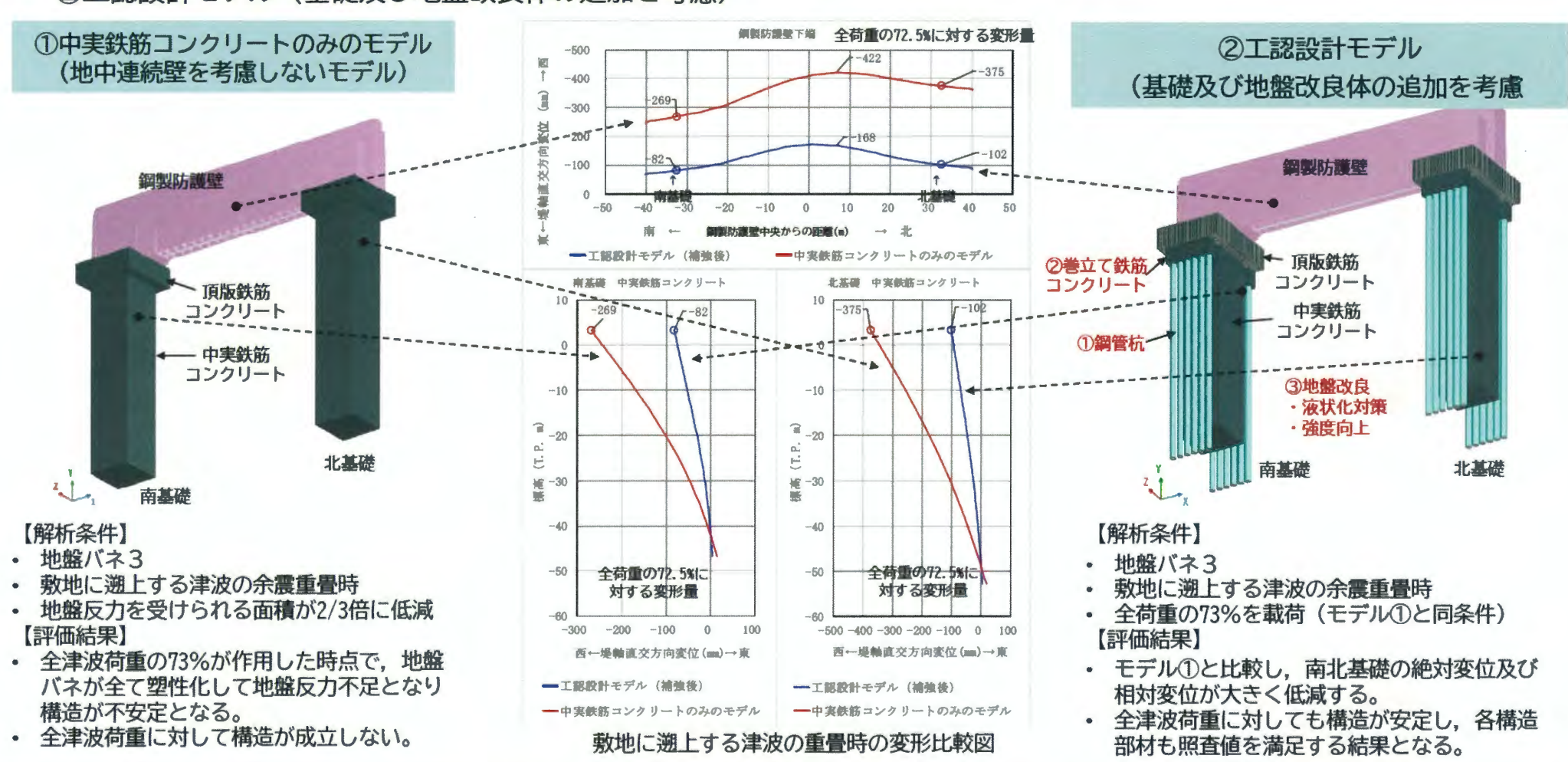
地盤支持力算出位置



(3) 構造変更による裕度向上効果について

耐津波設計における裕度向上効果を確認するため、以下2つの解析モデルによる南北基礎の変形状況を確認した。

- ①中実鉄筋コンクリートのみのモデル (地中連続壁を考慮しないモデル)
- ②工認設計モデル(基礎及び地盤改良体の追加を考慮)



上記2つの解析モデルによる比較結果より,構造変更(基礎及び地盤改良体の追加)が防潮堤(鋼製防護壁)の裕度向上に大きく寄与している ことを確認した。



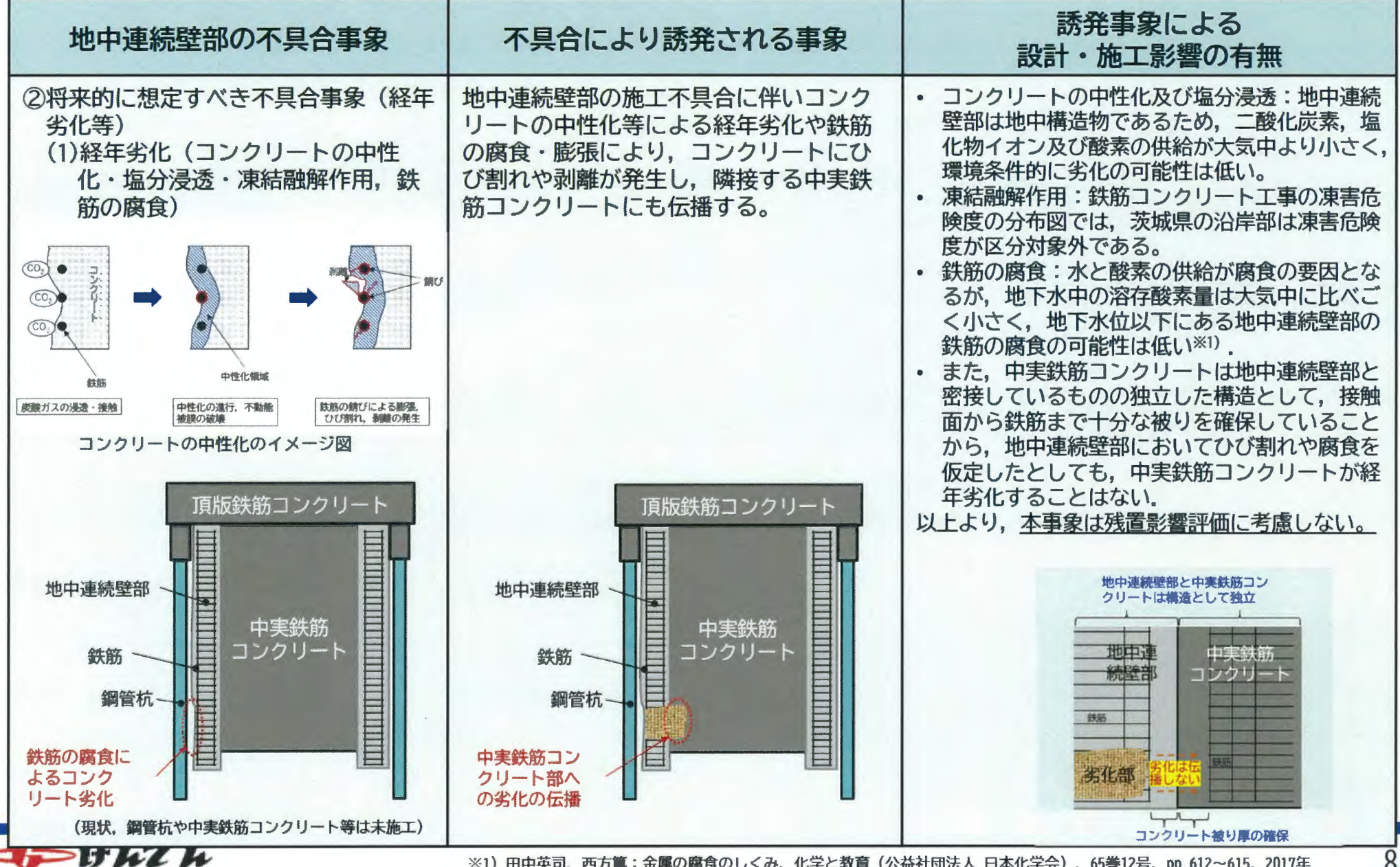


(1) 地中連続壁部の不具合事象に係る補足

誘発事象による 地中連続壁部の不具合事象 不具合により誘発される事象 設計・施工影響の有無 ①現状確認済の不具合事象(施工不具 地中連続壁部が地震・津波荷重で破 以下の理由から、地中連続壁部が単独で大変形し、 隣接する鋼管抗等に接触して想定外の荷重が発生するこ 壊・大変形し、隣接する鋼管杭等に 合) とはない(残置影響評価に考慮しない) 接触して想定外の荷重が発生する。 (1)コンクリートの未充填 1)地中連続壁部は口の字で連結された構造体であること。 (2)鉄筋の変形等 2)地中連続壁部と頂版鉄筋コンクリートは縁切りされた 地中連続壁部のコンクリート未充填及 構造に変更したことにより、上部工から作用する津 び鉄筋の変形等による剛性の不均一及 波荷重や地震時の慣性力等の応力伝達が消失するこ び強度低下 とから、地中連続壁部に荷重が集中することはなく、 大変形は生じないこと。 3)地中連続壁部が部分的に破壊したとしても、地中連続 壁部の内側に設置される中実鉄筋コンクリートが地 中連続壁部の荷重も負担する設計(弾性範囲内)と しており、十分な強度を有すること。 4)地中連続壁部の周辺地盤は地盤改良を行うため、側方 流動は生じず、変形に寄与する空間が形成されない **頂版鉄筋コンクリート 頂版鉄筋コンクリート** ことの 5)地中連続壁部の内側(中実鉄筋コンクリート側)を補 修するため、地中連続壁部と中実鉄筋コンクリート 地中連続壁部 地中連続壁部 の接触面は平滑化することから、両者の局所的な接 触による応力集中は発生せず、大変形も生じない。 中実鉄筋 鉄筋 コンクリー 细管杭-鋼管杭 コンクリート未充填 地中連続壁部の破壊・大変形により 鉄筋の変形等 細管杭への接触 (現状、鋼管杭や中実鉄筋コンクリート等は未施工)

地中連続壁部の残置影響評価方針に係る補足説明

(1) 地中連続壁部の不具合事象に係る補足



(1) 地中連続壁部の不具合事象に係る補足

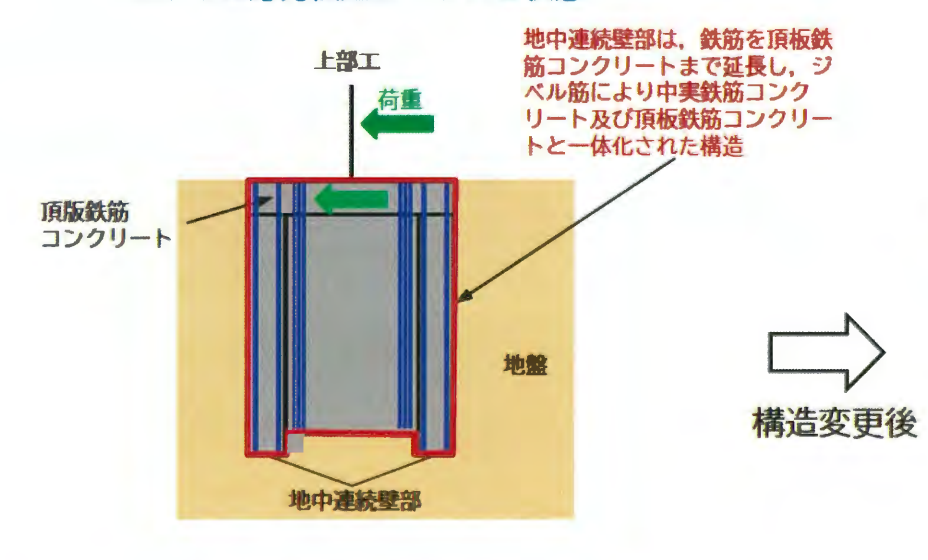
地中連続壁部の不具合事象	不具合により誘発される事象	誘発事象による 設計・施工影響の有無
②将来的に想定すべき不具合事象 (経年劣化等) (2)工事への干渉(鋼管杭設置や地盤改良施工時における変形鉄筋との干渉) 地中連続壁部の地山側に鉄筋が露出	地山側に露出した鉄筋が、新たに計画している鋼管杭や地盤改良施工と干渉する。	新設する鋼管杭と地中連続壁部との間に,応力集中の原因となる局所的な接触が予め発生しないように配慮した以下の設計・施工を行う。 1)新設する鋼管杭と地中連続壁部との間は,30cm程度の離隔を確保する。 2)鋼管杭打設前に均質置換土にて打設位置の置換を実施するため,鉄筋が変形・脱落していても,この置換のための掘削にて撤去する。 3)地盤改良(セメント系)は改良範囲を掘削・置換することから,鉄筋が改良範囲にて発見されても撤去する。
地中連続壁部 鉄筋の変形等 下部工の現状のイメージ図	脚中連続壁部 鉄筋 鉄筋 機管抗設置 との干渉 でお工の施工時のイメージ図	4) 地盤改良 (薬液注入) は、改良範囲に鉄筋が分布していても、地盤に薬液を浸透させることから、改良の品質に支障を与えない。 以上より、本事象は残置影響評価に考慮しない。 は以上より、本事象は残置影響評価に考慮しない。 は対して、 は、
(地中連続壁部施工状況)	(鋼管杭打設)	1), 2)

(2) 残置される地中連続壁部についての補足

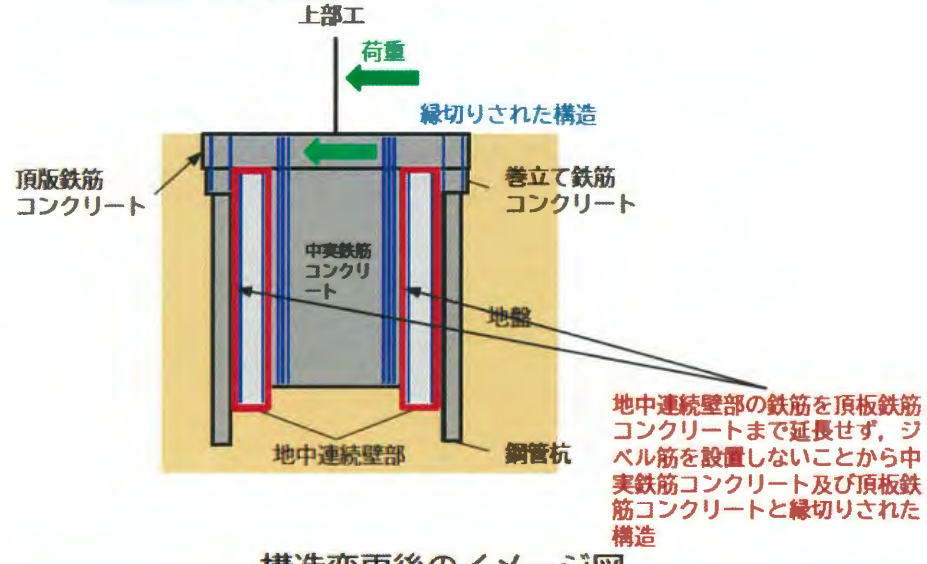
残置される地中連続壁部については、施工上の配慮として頂版鉄筋コンクリートと構造的に縁を切り離す計画である。本構造変更により、地中連続壁部に上部工から作用する津波荷重や地震時の慣性力等の応力伝達は消失し、作用するのは周辺地盤からの動土圧や動水圧など面的な荷重が主体となる。このような荷重条件下においては、残置される地中連続壁部に局所的な荷重が集中することなどは考えにくく、本資料のP84に示すような脆性的な破壊が起こる可能性は極めて低いと考えている。

また,構造変更後における地中連続壁部の残置影響評価においては,中実鉄筋コンクリート部を保守的な設計にて補強し,十分な安全性を確保する設計としており,これは地中連続壁の残置影響を十分に考慮した保守的な設計であると考えている。

既工認では,頂版鉄筋コンクリートと 地中連続壁部は一体化しており,上部 工からの応力伝達がなされる状態



既工認の構造イメージ図 (頂版鉄筋コンクリートと地中連続壁部が一体化した構造) 構造変更後,頂版鉄筋コンクリートと 地中連続壁部は縁切りされた構造とな り,上部工から地中連続壁部への応力 伝達がない状態



構造変更後のイメージ図

(頂版鉄筋コンクリートと地中連続壁部は縁切りされた構造)





- (1) 残置影響評価結果に係る補足説明(1/16)
- a. 耐津波設計における照査結果
- 1)下部工の照査結果
- ①中実鉄筋コンクリート

曲げ照査

照査値は最大値を記載している。

	応力度の種類	発生応力度 (N/mm²)	許容限界 (N/mm²)	照査値	地盤の ばらつき
北基礎	Con曲げ圧縮応力度	19.3	32. 0	0.61	地盤バネ4
	鉄筋引張応力度	344.0	478.5	0.72	地盤パネ4
古甘琳	Con曲げ圧縮応力度	26.4	32. 0	0.8 3	地盤バネ4
南基礎	鉄筋引張応力度	430.1	478. 5	0.90	地盤パネ4

せん断照査

	せん断力の方向	発生せん断力 (kN)	許容限界 (kN)	照査値	地盤のばらつき
北基礎	堤軸方向	159 0 16	229529	0. 70	地盤バネ5
心垒陡	堤軸直交方向	197607	229529	0. 87	地盤バネ3
売甘琳	堤軸方向	1999 0 3	234985	0.86	地盤バネ5
南基礎	堤軸直交方向	214281	222885	0. 97	地盤バネ4



中実鉄筋コンクリート (南基礎の配筋図)

- (1) 残置影響評価結果に係る補足説明(2/16)
- a. 耐津波設計における照査結果
- 1)下部工の照査結果
- ②鋼管杭

曲げ照査

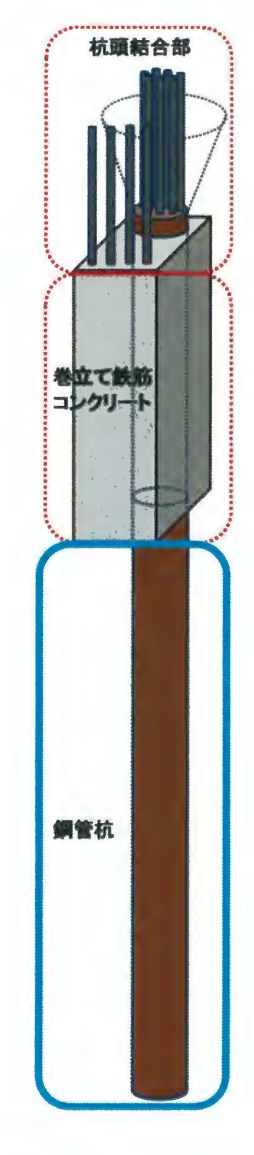
照査値は最大値を記載している。

	応力度の種類	発生応力度 (N/mm²)	許容限界 (N/mm²)	照査値	地盤の ばらつき
-JU-101-788	圧縮応力度	275.3	500.0	0.56	地盤バネ5
北基礎	引張応力度	327. 6	500.0	0.66	地盤バネ5
南基礎	圧縮応力度	220.0	500.0	0.44	地盤パネ5
	引張応力度	257.5	500.0	0. 52	地盤バネ5

せん断照査

	作用方向	発生応力度 (N/mm²)	許容限界 (N/mm²)	照査値	地盤の ばらつき
II. bet tee	堤軸方向	37.4	285. 0	0. 14	地盤バネ5
北基礎	堤軸直交方向	29.5	285. 0	0.11	地盤バネ4
南基礎	堤軸方向	35.3	285. 0	0.13	地盤バネ5
	堤軸直交方向	40.2	285.0	0.15	地盤バネ4





(1) 残置影響評価結果に係る補足説明(3/16)

- a. 耐津波設計における照査結果
- 1)下部工の照査結果

③巻立て鉄筋コンクリート

照査値は最大値を記載している。

曲げ照査(巻立て鉄筋コンクリート)

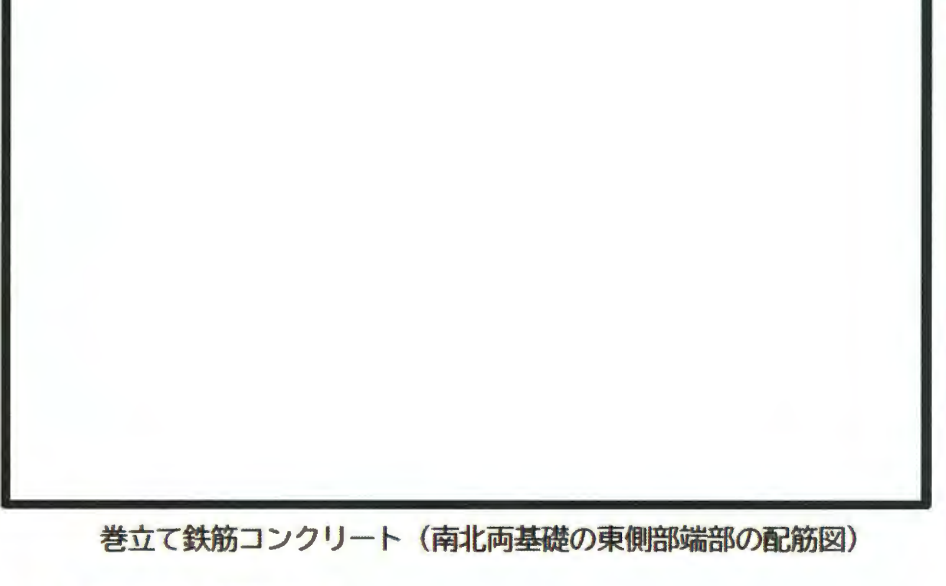
	応力度の種類	発生応力度 (M/mm²)	許容限界 (N/mm²)	照查值	地盤のばらつき
11.44744	鉄筋引張応力度	333.4	660. 0	0.51	地盤パネ5
北基礎	Con圧縮応力度	18.1	32. 0	0. 57	地盤バネ5
南基礎	鉄筋引張応力度	283.9	660.0	0.44	地盤バネ5
	Con圧縮応力度	14.7	32.0	0.46	地盤パネ5

曲げ照査 (鋼管杭)

	応力度の種類	発生応力度 (N/mm²)	許容限界 (N/mm²)	照查值	地盤の ばらつき
JL tot Tee	圧縮応力度	155.5	500.0	0.32	地盤パネ5
北基礎	引張応力度	242.8	500.0	0.49	地盤パネ5
== 1d-744	圧縮応力度	127.7	500.0	0. 26	地盤パネ5
南基礎	引張応力度	199.7	500.0	0.40	地盤パネ5

せん断照査(巻立て鉄筋コンクリート)

	作用方向	発生せん断力 (kN)	許容限界 (kN)	照查值	地盤の ばらつき
	堤軸方向	5794	11220	0.52	地盤パネ5
北基礎	堤軸直交方向	10611	18916	0.57	地盤パネ1
南基礎	堤軸方向	4481	11220	0.40	地盤パネ5
	堤軸直交方向	856 3	18319	0.47	地盤パネ1



せん断照査(細管杭)

	作用方向	発生応力度 (N/mm²)	許容限界 (N/mm²)	照査値	地盤のばらつき
11.4474	堤軸方向	83.4	285.0	0.30	地盤パネ5
北基礎	堤軸直交方向	140.6	285. 0	0.50	地盤パネ1
	堤軸方向	66.4	285. 0	0. 24	地盤バネ5
南基礎	堤軸直交方向	132.8	285. 0	0.47	地盤パネ1



抗肠結合剂



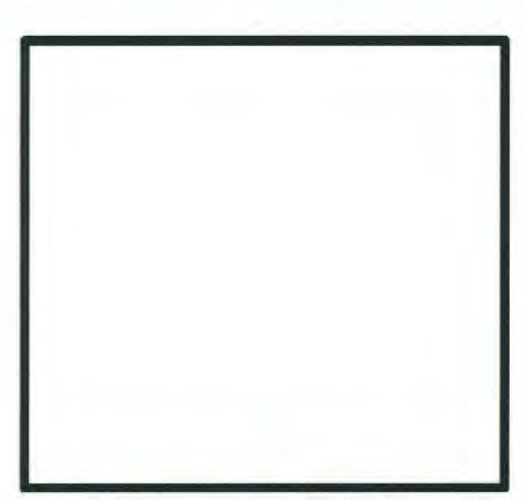
(1) 残置影響評価結果に係る補足説明(4/16)

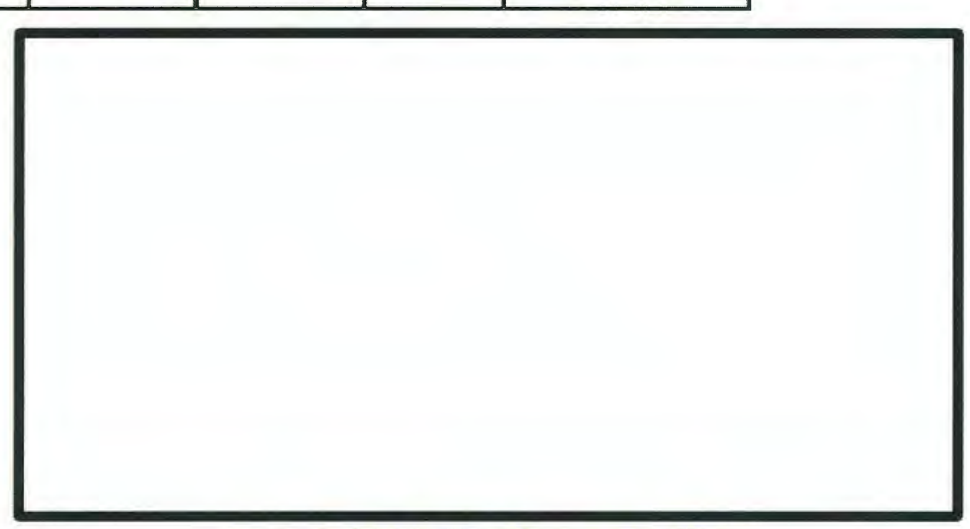
- a. 耐津波設計における照査結果
- 1)下部工の照査結果
- 4)杭頭接合部

曲げ照香

照査値は最大値を記載している。

	照査断面	応力度の種類	発生応力度 (N/mm²)	許容限界 (N/mm²)	照査値	地盤の ばらつき
	鋼管杭頭部	鉄筋引張応力度	426.7	660.0	0.65	地盤バネ5
	(図-1)	Con圧縮応力度	10.4	32.0	0.33	地盤パネ5
北基礎	巻立てR C部 (図-2)	鉄筋引張応力度	509.9	660.0	0.78	地盤バネ5
		Con圧縮応力度	22.2	32.0	0.70	地盤パネ5
	鋼管杭頭部	鉄筋引張応力度	294. 2	660.0	0.45	地盤パネ5
	(図-1)	Con圧縮応力度	8.4	32.0	0.27	地盤バネ5
南基礎	巻立てRC部	鉄筋引張応力度	430.4	660.0	0.66	地盤バネ5
	(図-2)	Con圧縮応力度	18.0	32.0	0.57	地盤バネ5





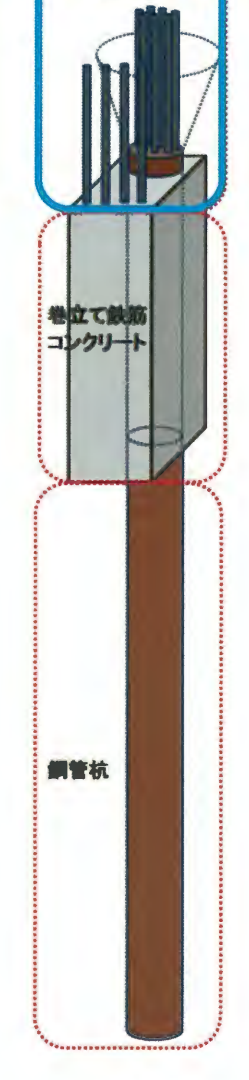


図-1 仮想RC断面(鋼管杭頭部)

図-2 仮想RC断面 (巻立てRC部)



(1) 残置影響評価結果に係る補足説明(5/16)

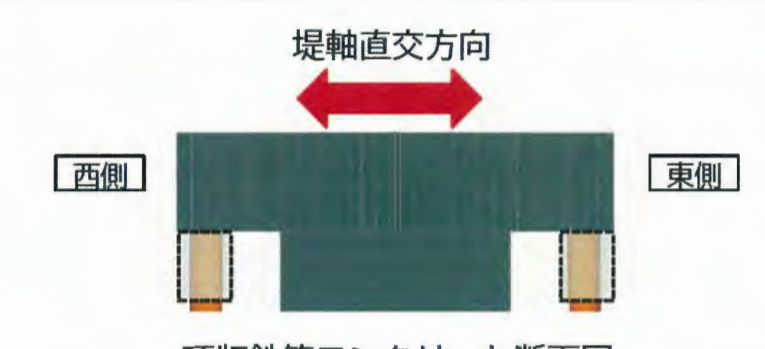
- a. 耐津波設計における照査結果
- 1)下部工の照査結果 ⑤頂版鉄筋コンクリート 曲げ照査

照査値は最大値を記載している。

	作用方向	応力度の種 類	発生応力度 (N/mm²)	許容限界 (N/mm²)	照査値	地盤の ばらつき
	10 **	鉄筋引張応力度	301.1	478. 5	0.63	地盤バネ5
II. deliver	堤軸方向	Con圧縮応力度	5. 0	32.0	0.16	地盤バネ5
北基礎		鉄筋引張応力度	273.3	478. 5	0. 58	地盤バネ5
	堤軸直交方向	Con圧縮応力度	13.8	32.0	0. 44	地盤バネ5
	10+4-4	鉄筋引張応力度	273.5	478.5	0. 58	地盤バネ5
	堤軸方向	Con圧縮応力度	4.8	32.0	0.15	地盤バネ5
南基礎		鉄筋引張応力度	191.7	478. 5	0. 41	地盤バネ5
	堤軸直交方向	Con圧縮応力度	9.7	32. 0	0. 31	地盤バネ4

せん断照査

	せん断力の方向	発生せん断力 (kN)	許容限界 (kN)	照査値	地盤の ばらつき
II. debrie	堤軸及び堤軸直交方向 合成-西側	17477	31712	0 . 56	地盤バネ5
北基礎	堤軸及び堤軸直交方向 合成-東側	18247	31785	0.58	地盤バネ5
南基礎	堤軸及び堤軸直交方向 合成-西側	17158	31712	0. 55	地盤バネ5
	堤軸及び堤軸直交方向 合成-東側	16224	31785	0. 52	地盤バネ5



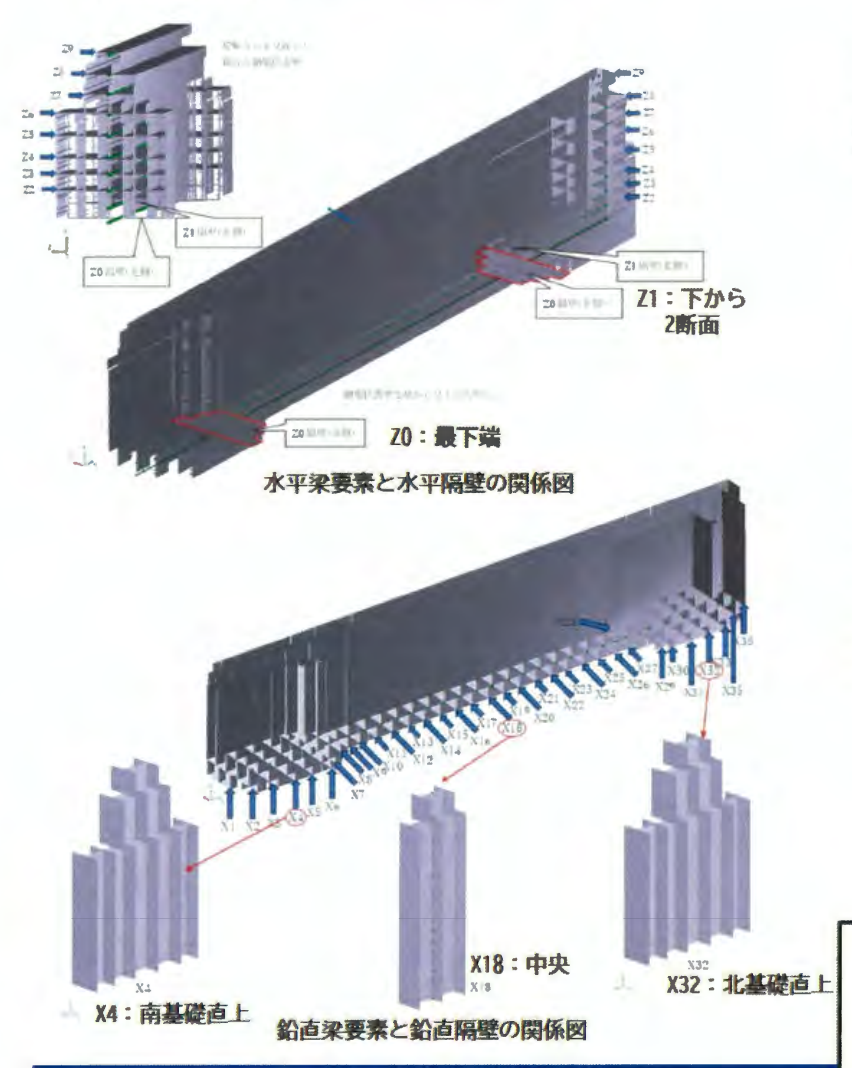
頂版鉄筋コンクリート断面図

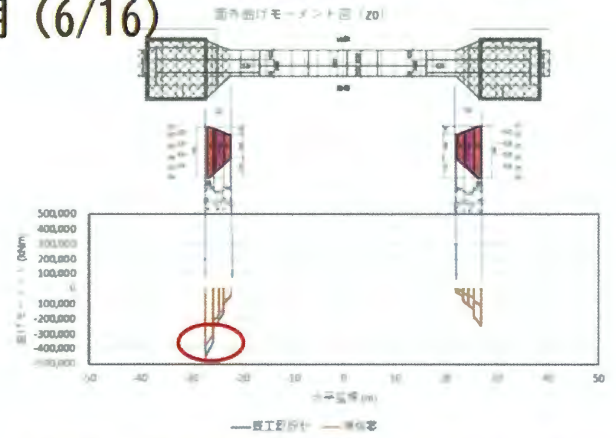
頂版鉄筋コンクリート配筋図(南基礎)

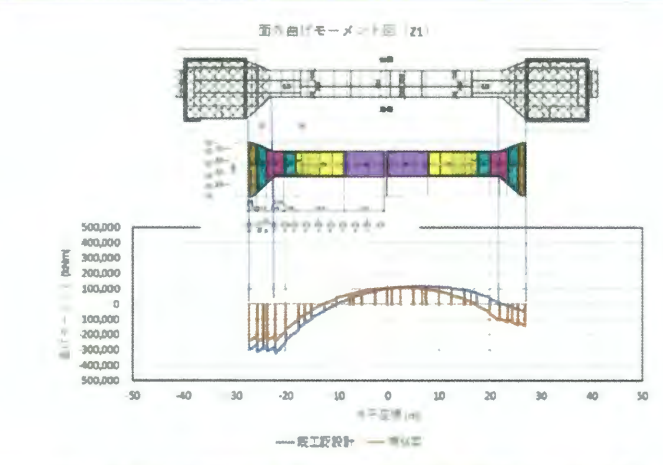


(1) 残置影響評価結果に係る補足説明(6/16)

- a. 耐津波設計における照査結果
- 2) 上部工の照査結果(地盤バネ5)
- ①鋼製防護壁

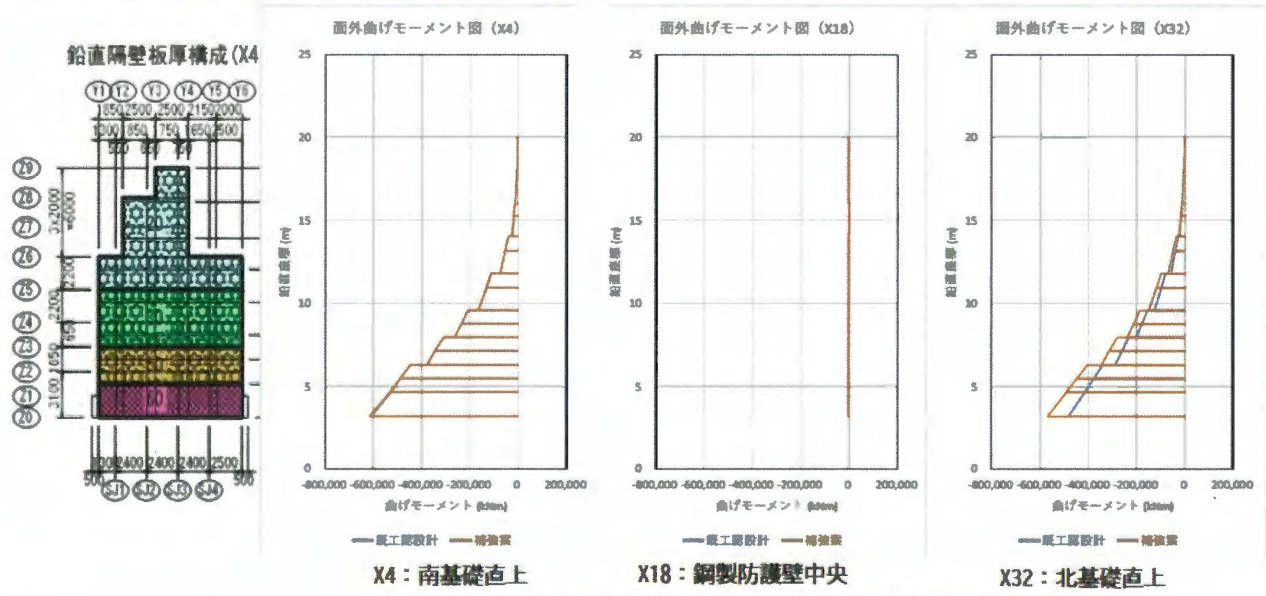






20: 最下端の水平梁の堤軸直交方向曲げモーメント図





上部工は、南北基礎上端部のいずれか大きい方の断面力を用いて鋼製防護壁の部材 の仕様を決定している。(左右対称形の材料構成となる。)

基礎直上及び中央の鉛直梁の提軸直交方向曲げモーメント図

• 上部工において材料仕様が最も厳しい部位はZO隔壁(水平梁) であり、最大板厚75mm 及び最高材質SBHS700である。評価結果により、当該部位において既工認の断面力を 下回ることを確認したため、構造成立性を有すると判断した。



(1) 残置影響評価結果に係る補足説明(7/16)

- a. 耐津波設計における照査結果
- 2) 上部工の照査結果
- ②中詰鉄筋コンクリート

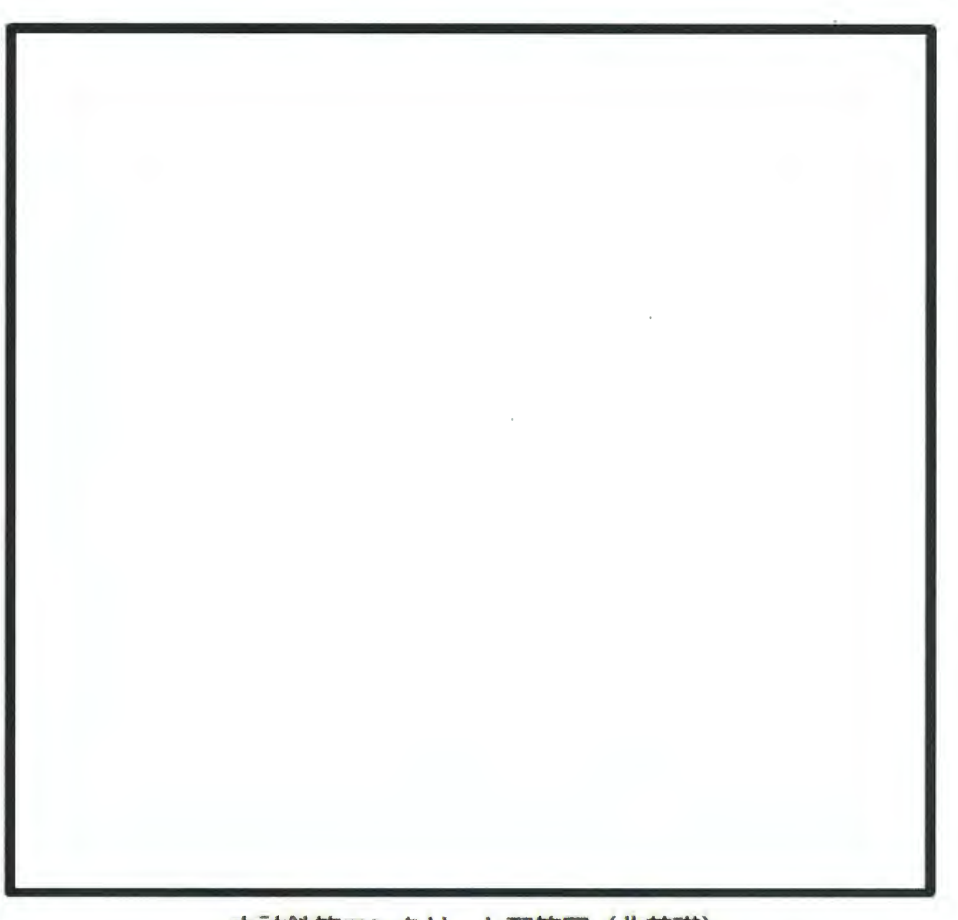
せん断照査

照査値は最大値を記載している。

	作用方向	発生 せん断力 (kN)	許容限界 (kN)	照査値	地盤の ばらつき
JL 101 788	堤軸方向	53763	252547	0. 22	地盤バネ4
北基礎	堤軸直交方向	20 5261	252547	0. 82	地盤バネ3
	堤軸方向	808 59	252547	0. 33	地盤バネ4
南基礎	堤軸直交方向	218542	252547	0.87	地盤バネ5

水平回転モーメント

	作用方向	応力度 (N/mm²)	許容限界 (N/mm²)	照査値	地盤のばらつき
JI. W 711	水平鉄筋	25 0 . 1	478.5	0.53	地盤パネ3
北基礎	鉛直鉄筋	143. 9	478. 5	0.31	地盤パネ3
南基礎	水平鉄筋	322. 7	478. 5	0. 68	地盤パネ5
	鉛直鉄筋	<mark>185. 6</mark>	478 . 5	0.39	地盤バネ5

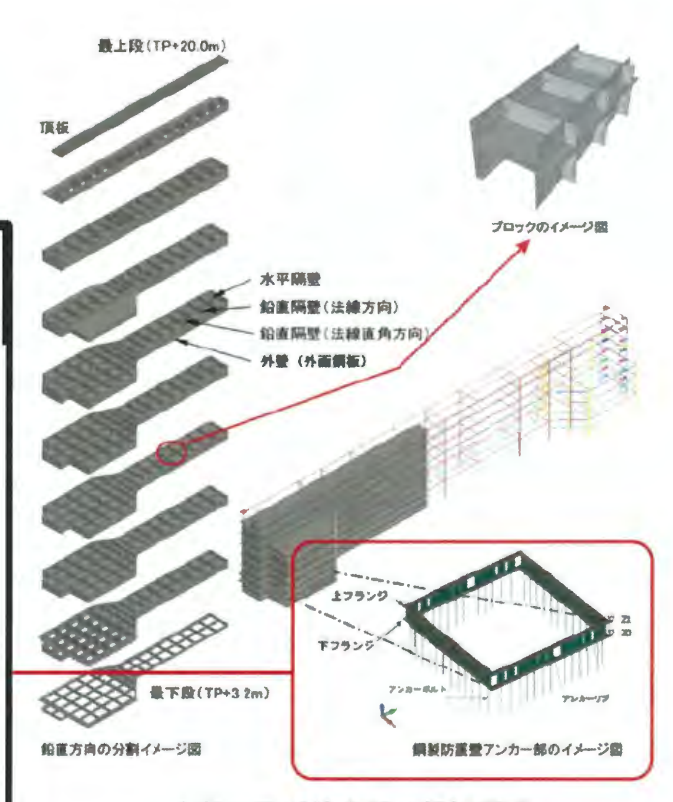


中詰鉄筋コンクリート配筋図(北基礎)

- (1) 残置影響評価結果に係る補足説明(8/16)
- a. 耐津波設計における照査結果
- 3)接合部の照査結果
- ①アンカーボルト 引張応力度照查

照査値は最大値を記載している。

	作用方向	応力度 (N/mm²)	許容限界 (N/mm²)	照査値	地盤の ばらつき
11 44-44	堤軸方向	15.3	355.0	0.05	地盤バネ5
北基礎	堤軸直交方向	194.4	355.0	0.55	地盤バネ3
南基礎	堤軸方向	100.6	355.0	0. 29	地盤パネ5
	堤軸直交方向	209.4	355.0	0. 59	地盤パネ5



上部工及び接合部の部材構成

アンカーボルトの仕様

アンカーボルトの配置



(1) 残置影響評価結果に係る補足説明(9/16)

- a. 耐津波設計における照査結果
- 4) 局所的な応力集中を仮定した照査(中実鉄筋コンクリート)

曲げ照査

照査値は最大値を記載している。

	応力度の種類	発生応力度 (N/mm²)	許容限界 (N/mm²)	照査値	地盤の ばらつき	
北基礎	Con曲げ圧縮応力度	16.8	32.0	0.53	地盤バネ4 欠損ケース2	
	鉄筋引張応力度	292.8	478.5	0.62	地盤バネ4 欠損ケース2	
南基礎	Con曲げ圧縮応力度	20.7	32.0	0.65	地盤バネ4 欠損ケース2	
円基礎	鉄筋引張応力度	329.9	478. 5	0.69	地盤バネ4 欠損ケース2	

せん断照査

	せん断力の方向	発生せん断力 (kN)	許容限界 (kN)	照査値	地盤の ばらつき
コレ 世 7株	堤軸方向	143201	229529	0.63	地盤バネ4 欠損ケース1
北基礎	堤軸直交方向	185490	229529	0.81	地盤バネ4 欠損ケース1
売甘 琳	堤軸方向	. 165471	234985	0.71	地盤バネ4 欠損ケース1
南基礎	堤軸直交方向	212691	234985	0.91	地盤バネ4 欠損ケース1

地中連続壁部の部分欠損を考慮したモデルによる中実鉄筋コンクリートの照査 の結果,いずれの照査値も,地中連続壁部が健全であるモデルによる照査結果 (P89)を下回り,中実鉄筋コンクリートへの影響はないことを確認した。



部分欠損ケース1



部分欠損ケース2



- (1) 残置影響評価結果に係る補足説明(10/16)
- b. 耐震設計における照査結果
- 1)下部工の照査結果
- ①中実鉄筋コンクリート

曲げ照査

照査値は最大値を記載している。

	応力度の種類	発生応力度 (N/mm²)	許容限界 (N/mm²)	照査値	地盤の ばらつき
北基礎	Con曲げ圧縮応力度	9.3	24.0	0.39	解析ケース③
10至100	鉄筋引張応力度	167.1	435.0	0.39	解析ケース③
古甘琳	Con曲げ圧縮応力度	9.0	24.0	0.38	解析ケース③
南基礎	鉄筋引張応力度	119.8	435.0	0.28	解析ケース③

せん断照査

	せん断力の方向	発生せん断力 (kN)	許容限界 (kN)	照査値	地盤の ばらつき
-IL-tet-Titk	堤軸方向	132531	195847	0.68	解析ケース③
北基礎	堤軸直交方向	123787	195847	0.64	解析ケース③
南基礎	堤軸方向	202321	221969	0.92	解析ケース③
	堤軸直交方向	158871	217138	0.74	解析ケース③

中実鉄筋コンクリート(南基礎の配筋図)



- (1) 残置影響評価結果に係る補足説明(11/16)
- b. 耐震設計における照査結果
- 1) 下部工の照査結果
- ②鋼管杭

曲げ照査

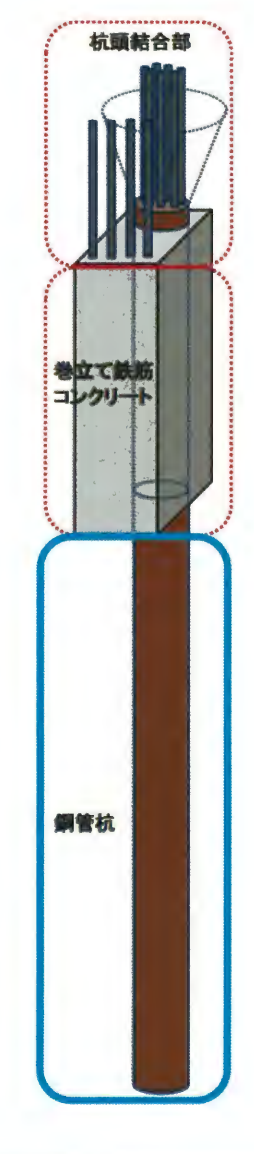
照査値は最大値を記載している。

	応力度の種類	発生応力度 (N/mm²)	許容限界 (N/mm²)	照査値	地盤の ばらつき
JI-tet THE	圧縮応力度	193.7	442.5	0.44	解析ケース③
北基礎	引張応力度	91.1	442.5	0.21	解析ケース③
-1-1-1-744	圧縮応力度	102.0	442.5	0.24	解析ケース③
南基礎	引張応力度	66.7	442.5	0.16	解析ケース③

せん断照査

	作用方向	発生応力度 (N/mm²)	許容限界 (N/mm²)	照査値	地盤の ばらつき
JL-101788	堤軸方向	2.0	255.0	0.01	解析ケース③
北基礎	堤軸直交方向	14.6	255.0	0.06	解析ケース③
-1-14711	堤軸方向	2.4	255.0	0.01	解析ケース③
南基礎	堤軸直交方向	9.0	255.0	0.04	解析ケース③





(1) 残置影響評価結果に係る補足説明(12/16)

- b. 耐震設計における照査結果
- 1)下部工の照査結果
- ③巻立て鉄筋コンクリート

照査値は最大値を記載している。

曲げ照査(巻立て鉄筋コンクリート)

	応力度の種類	発生応力度 (N/mm ²)	許容限界 (N/mm ²)	照査値	地盤の ばらつき
JI. 10710	鉄筋引張応力度	33.5	600.0	0.06	解析ケース③
北基礎	Con圧縮応力度	2.8	24.0	0.12	解析ケース③
	鉄筋引張応力度	84.6	600.0	0.15	解析ケース③
南基礎	Con圧縮応力度	2.4	24.0	0. 10	解析ケース③

曲げ照査(鋼管杭)

	応力度の種類	発生応力度 (N/mm²)	許容限界 (N/mm²)	照査値	地盤の ばらつき
JL 10 TH	圧縮応力度	32.4	442.5	0.08	解析ケース③
北基礎	引張応力度	26.6	442.5	0.07	解析ケース③
	圧縮応力度	28.0	442.5	0.07	解析ケース③
南基礎	引張応力度	66.0	442.5	0.15	解析ケース③

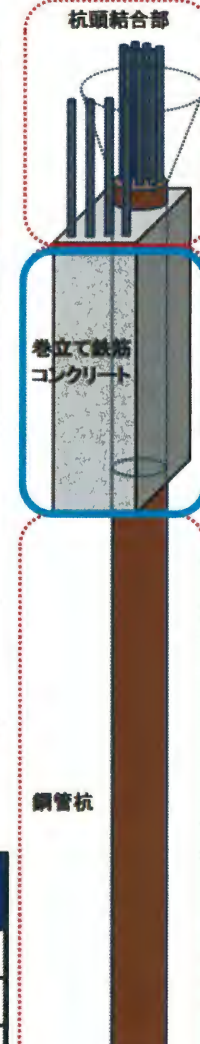
せん断照査(巻立て鉄筋コンクリート)

	作用方向	発生せん断力 (kN)	許容限界 (kN)	照査値	地盤の ばらつき
.0. 44 794	堤軸方向	135	5304	0.03	解析ケース③
北基礎	堤軸直交方向	1108	3125	0.36	解析ケース③
-1-34704	堤軸方向	115	5304	0.03	解析ケース③
南基礎	堤軸直交方向	1048	3026	0.35	解析ケース③



せん断照査(鋼管杭)

	作用方向	発生応力度 (N/mm²)	許容限界 (N/mm²)	照査値	地盤の ばらつき
JL 10700	堤軸方向	0.4	255.0	0.01	解析ケース③
北基礎	堤軸直交方向	3.1	255.0	0.02	解析ケース③
-1-1-7-14	堤軸方向	0.4	255.0	0.01	解析ケース③
南基礎	堤軸直交方向	4.5	255.0	0.02	解析ケース③

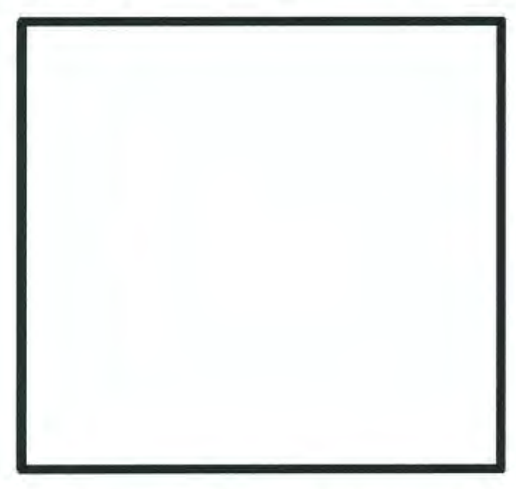


- (1) 残置影響評価結果に係る補足説明(13/16)
- b. 耐震設計における照査結果
- 1)下部工の照査結果
- 4.杭頭接合部

曲げ照査

照査値は最大値を記載している。

	照査断面	応力度の種類	発生応力度 (N/mm²)	許容限界 (N/mm²)	照査値	地盤の ばらつき
	鋼管杭頭部	鉄筋引張応力度	56.5	600.0	0.10	解析ケース③
II. dab 744	(図-1)	Con圧縮応力度	0.9	24.0	0.04	解析ケース③
北基礎	巻立てRC部	鉄筋引張応力度	49.3	600.0	0.09	解析ケース③
	(図-2)	Con圧縮応力度	3.0	24.0	0.13	解析ケース③
	鋼管杭頭部	鉄筋引張応力度	147. 2	600.0	0.25	解析ケース③
	(図-1)	Con圧縮応力度	0.8	24.0	0.04	解析ケース③
南基礎	巻立てRC部	鉄筋引張応力度	158.3	600.0	0.27	解析ケース③
	(図-2)	Con圧縮応力度	2.9	24.0	0.13	解析ケース③





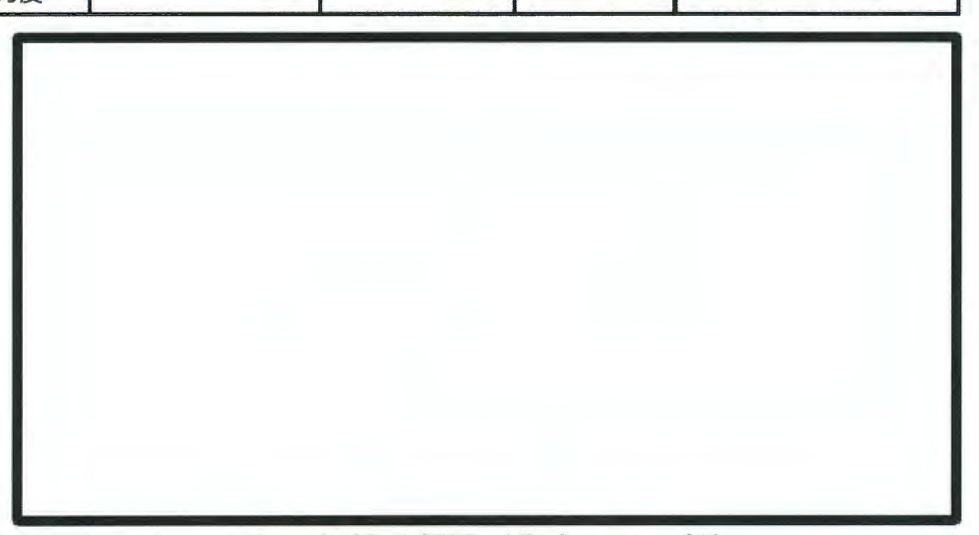


図-2 仮想RC断面(巻立てRC部)



巻立て鉄筋コンクリート

侧管杭

(1) 残置影響評価結果に係る補足説明(14/16)

- b. 耐震設計における照査結果
- 1)下部工の照査結果
- ⑤頂版鉄筋コンクリート

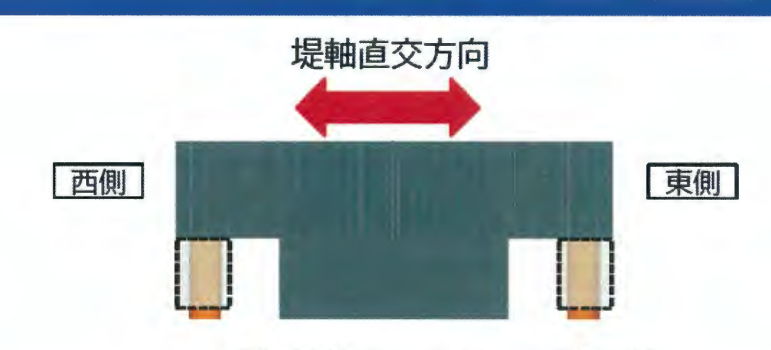
曲げ照査

照査値は最大値を記載している。

	作用方向	応力度の種類	発生応力度 (N/mm²)	許容限界 (N/mm²)	照査値	地盤の ばらつき
	相執士力	鉄筋引張応力度	28. 2	435.0	0.07	解析ケース③
北	堤軸方向	Con圧縮応力度	1.0	24. 0	0.05	解析ケース③
基礎		鉄筋引張応力度	137.0	435.0	0.32	解析ケース③
	堤軸直交方向	Con圧縮応力度	3.3	24. 0	0.14	解析ケース③
		鉄筋引張応力度	33.7	435.0	0.08	解析ケース③
南	堤軸方向	Con圧縮応力度	0.6	24. 0	0.03	解析ケース③
基礎	鉄筋	鉄筋引張応力度	221.0	435.0	0.51	解析ケース③
	堤軸直交方向	Con圧縮応力度	4. 2	24.0	0.18	解析ケース③

せん断照査

	せん断力の方向	発生せん断力 (kN)	許容限界 (kN)	照査値	地盤の ばらつき
	堤軸方向	4426	34370	0.14	解析ケース③
北基礎	堤軸直交方向-西側	40870	419676	0.10	解析ケース③
	堤軸直交方向-東側	67355	442914	0.16	解析ケース③
	堤軸方向	3911	34370	0.12	解析ケース③
南基礎	堤軸直交方向-西側	71522	419676	0.18	解析ケース③
	堤軸直交方向-東側	76480	442914	0.18	解析ケース③



頂版鉄筋コンクリート断面図





(1) 残置影響評価結果に係る補足説明(15/16)

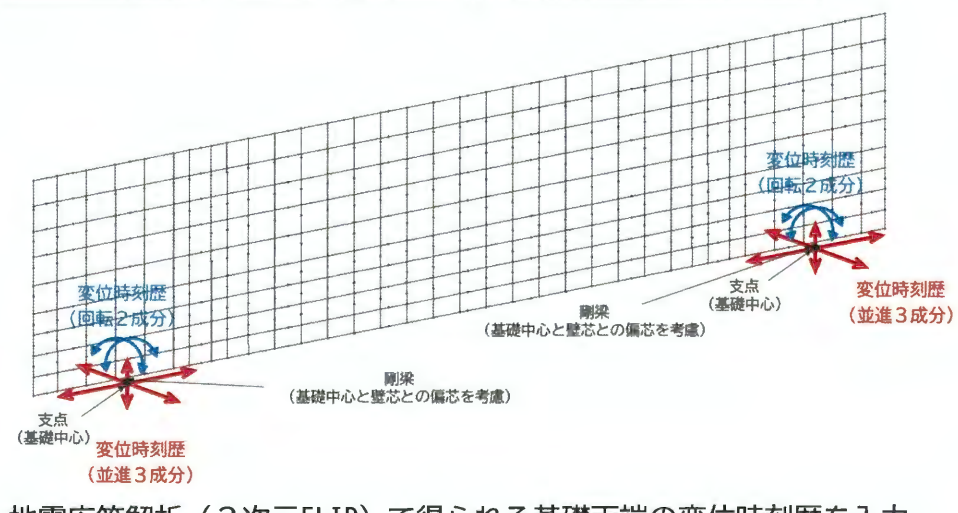
- b. 耐震設計における照査結果
- 2) 上部工の照査結果

鋼製防護壁・中詰め鉄筋コンクリート・アンカーボルトの照査結果

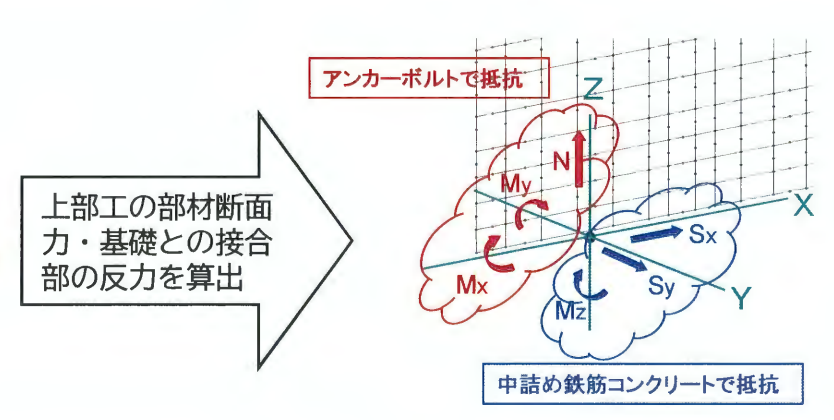
南北基礎相対変位

断面方向	相対変位成分	既工認	残置影響 モデル
堤軸方向	水平相対変位(mm)	4. 6	4.3
灰 料	鉛直相対変位(mm)	29. 2	16.0
18 +	水平相対変位(mm)	356.4	210.5
堤軸直交方向	鉛直相対変位(mm)	12.0	21.5

- 耐震設計における上部工の発生応力や接合部の発生断面力は、 地震応答解析(2次元FLIP)で得られる南北基礎天端の変位時 刻歴を入力として実施する上部工の動的解析によって算出する ため、その大きさは南北基礎の接合部における相対変位に依存 することになる。
- 南北基礎の相対変位量は、既工認の値をほとんどの成分で大きく下回っていることから、構造成立性に問題は無いと判断した。
- ・ 堤軸直交方向の鉛直変位が若干既工認を上回っているものの, 南北基礎の支点間距離が65.1mであること考慮すると, その比 率は9.5mm/65100mm≒0.015%程度と極微小であり, 上部工の構 造成立性に影響を及ぼすとは考えにくい。



地震応答解析(2次元FLIP)で得られる基礎天端の変位時刻歴を入力として上部工の動的解析を実施



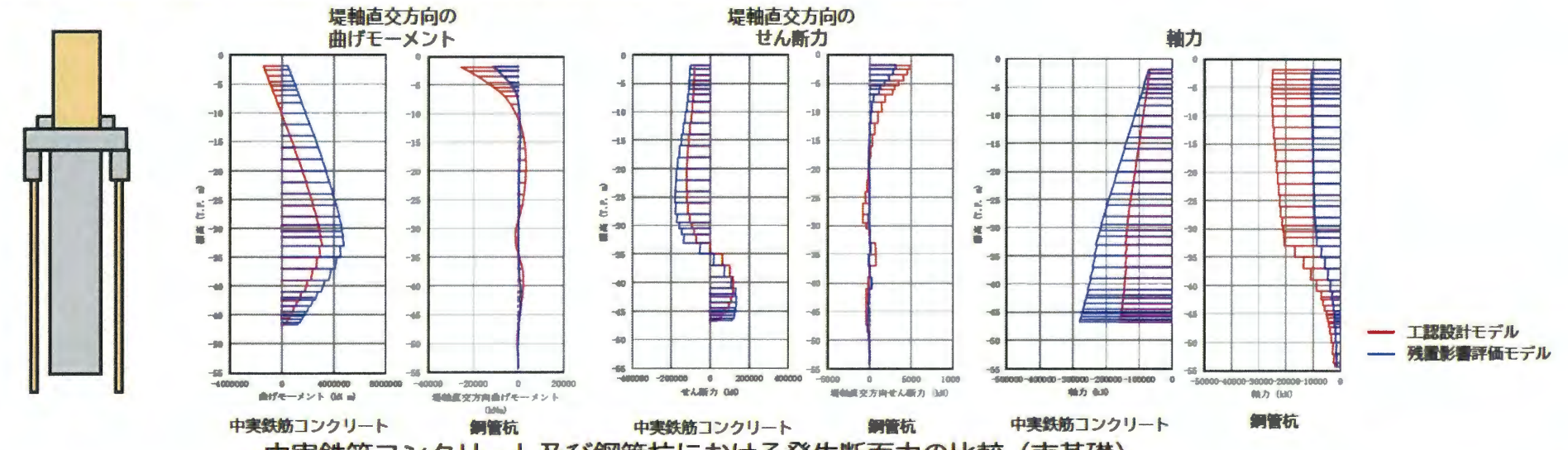
上部工の動的解析で得られる部材断面力ならびに 基礎との接合部の反力に対して部材照査を実施



(1) 残置影響評価結果に係る補足説明(16/16)

c. 残置影響評価の保守性について

耐津波設計における残置影響評価の保守性を確認するため、工認設計モデルと残置影響評価モデルにおける発生断面力の 比較を実施した。比較対象は各モデルにおける最大照査値ケースである。



中実鉄筋コンクリート及び鋼管杭における発生断面力の比較(南基礎)

【工認設計モデル】

ケース	応力度の 種類	発生応力度 (N/mm²)	許容限界 (N/mm²)	照查值
地盤 バネ4	鉄筋引張 応力度	265. 8	478.5	0. 56



【残置影響評価モデル】

ケース	応力度の 種類	発生応力度 (N/m²)	許容限界 (N/mm²)	照查值
地盤 パネ4	鉄筋引張 応力度	430. 1	478.5	0. 90





必要 鉛直鉄筋 SD490 D510150-17.5段

- 中実鉄筋コンクリートについては、工認設計モデルに対し、残置影響評価モデルの発生断面力が顕著に大きくなり、必要鉄筋量が大きく増加する結果となった。
- 一方で、鋼管杭については工認設計モデルが保守 的に大きな断面力となることを確認した。

←設計鉄筋量

